

Digital Library (repository) of Tomsk State University http://vital.lib.tsu.ru Томский ордена Октябрьской Революции и ордена Трудового Красного Знамени госудерственный университет им. В.В. Куйсишева

В.Г.Багров, А.С.Вшивцев, С.В.Кетов

ДОПОЛНИТЕЛЬНЫЕ ГЛАВЫ МАТЕМАТИЧЕСКОЙ ФИЗЫКЫ (КАЛИБРОВОЧНЫЕ ПОЛН)

Учебное поссоие

Издательство Томского университета
Томск - I990



УДК 517.+530.1

Багров В.Г., Вимвцев А.С., Кетов С.В. Дополнительные главы математической физики (калибровочные поля): Учебное пособие.— Томск: Изд-во Том. ун-та,1990.—142с.— 20к.,1000 экв. 1604010000.

Учебное пособие в основном посьящено изложению специальних метематических вопросов классической теории калибровочных полей. Физические аспекты теории обсуждаются лишь в объёме, необходимом для понимения и осмысленного применения математического аппарата. Решения конкретных задач приводится как иллюстрация общих математических приёмов.

Для студентов физических фокультетов университетов, специализирующихся в соласти теоретической и математической физики.

> Рецензент - доктор физикс-математических ваук В.Ч. Жуковский

8,30482

E 1604010000 48 - 90

JSBN 5-7511-0054-9

Введение

Новейшее развитие квантовой теории поля - теоретической основы для описания фундаментальных взаимолействий элементарных частиц - характеризуется развитием и углублением значения принципов симметрии. Например, модель Вайнберга-Салама (теория электрослабых взаимодействий), квантовая хромодинамика (теория сильных взаимодействий), различные способы дальнейшей унификации этих теорий (модели Большого объединения) - все основано на систематическом использовании принципа локальной калибровочной инвариантности. Успехи калибровочных теорий общедзвестны: многочисленные экспериментальные подтверждения квантовой электродинамики и модели Вайноерга-Салама, впечатляющие теоретические результаты, связанню с открытием явления асимптотической свободы в неабелевых калибровочных теориях. Хотя в настоящее время наука не располагает примыми доказательствами в пользу квантовой хромодинамики, зе замечательные теоретические свойства и гибкость в приложениях пают основания надаятьсяна её справедливость при описании сильных взаимопействий.

Более того, современная теория фундаментальных взаимодействий не сводится к калибровочным теориям Янга-Миллса, а ставит
и решает другур, не менее фундаментальную и гораздо более трудную задачу построения квантовой теории гравитации. Современный
подход к этой последней проблеме заключается в том, что ее нельзя решать в отриве от общей задачи унификации всех фундаментальных взаимодействий. Такие унифицирующие модели уже созданы и характеризуются новыми, еще более фундаментальными симметриями, которме дежат в их основе. К последним относятся теории супергравитания и суперструн, которые требуют систематического развития
принципов локальной суперсимметрии, репараметризационной инвари-

антности и т.д. Такие фундаментальное теории являются чрезнычайно сложными и имеют в качестве характерных масштабов расстояния порядка планковских (10^{-33} см., ср.диаметр протона — всего оксло 10^{-13} см).

Поэтому существенным является систематическое изучение самых съмметрий, их структуры в взаимосвязей. В частность, сами локальные калифровочные симметрие теорий Янга-Имллса еще недостаточно изучены. Сдним из можных инструментов изучения квантовой теории является ВКБ-метсд, квазиклассическое прибликение. Отсюда важность изучения классической динамики калифровочных теорий и гравитации.

Современню унифицирующие модели обычно формулируются в выслих размерностых пространства-времени (d>4), что приводит к проблеме компактификации. С этим разделом овязаны многочисленные исследованил решений классических уравнений движения калибровочных теорий, гравитации и супергравитации, которые, с одной стороны, обеспечивают унификацию фундаментальных взаимодействий наиболее естественным образом и, с другой стороны, могут в принцыпе объяснить многие свойства (дзической картини мира, например размерность пространства-времени.

Здесь мы изложим основные черты классической динамики теорий Янга-Мыллса и гравитации.

§ I. Лагранжиан классической теории Янга-Миллса Уравнение движения поля

В 1965 году де Виттом предложено описание калиброгочних полей на основе использования идеи Калуцы-Клейна [1,2]. Начнем с примера, позволяющего довольно просто и наглядно ввести электромагнитное поле. В пятимерном пространстве-времени определим действие

где $R = g^{AB}$ R_{AB} — скалер кривизни; g^{AB} — патимерная метрике; G_s — апалог ньютоновской постоянной, размерность (L). Топология пятимерного пространства — прямсе произведение пространства Минковского на окружность S^4 радиуса z , состветствующее выражение для метрики имеет вид

$$g_{AB} = \frac{1}{\phi^{1/3}} \begin{pmatrix} g_{\mu\nu} + A_{\mu}A_{\nu} & A_{\mu} & A_{\mu} & A_{\mu} \\ A_{\nu} & \phi & \phi \end{pmatrix}. \quad (1.2)$$

Каждая компочента метрики может быть разложена по патой координате в ряд Фурье:

$$g_{AB} = \sum_{N=-\infty}^{+\infty} g_{AB}^{(N)}(x^{N})e$$
 (I.3)

Если предположить, что частная производная $3/3x^5$ - вектор Киллинга, т.е. метрика не зависит от пятой координеты, то по-лучим стандартную размерную редукцию. Это равноценно тому, что при подстансвке разложения (I.3) в выражение для действия (I.1) ч интегрировании ис x^5 удерживается ликь нулевая мода. В результате получается следующее действие:

$$S = -\frac{1}{16\pi G} \int d^{4}x \sqrt{|\det g_{\mu\nu}|} \left\{ R^{4} + \frac{1}{4} \Phi_{\mu\nu}^{F} F^{\mu\nu} + \frac{1}{6} \frac{\partial_{\mu} \Phi \partial^{\mu} \Phi}{\Phi^{2}} \right\}. \quad (I.4)$$

Если выбрать вакуумное значение Φ_c скаларного поля Φ равним единице, то параметр τ совпедет с радмусом пятого измерения. Член, пропорциональный $F_{\mu\nu} = \partial_{\mu} A_{\nu} - \partial_{\nu} A_{\mu}$, как можно заметить, соответствует U(1) — калибровочной симметрии, т.е. максевелловской электродинамике. Если мы выберем преобразование системы координат пятимерного пространства следующим образом:

$$x'^{5} = x^{5} + \varepsilon(x'^{4}),$$

$$x'^{4} = x^{4},$$

то соответственно получим калибровочное преобразование

$$A_{\mu} \longrightarrow A_{\mu} + \partial_{\mu} \epsilon(x)$$

В рассмотренном примере многообразие S^4 имело довельно простур структуру. Изучим теперь фоновое многообразие, которое представимо в виде прямого произведения $M_4 \times B_6$, где $B_6 \times B_6$ компактное риманово многообразие. В этом случае процедура, реализованная в предыдущем примере, может быть проведена для определения неабелева калибровочного поля в M_4 . Будем следовать работе [3] и выберем метрический тензор в базисе локального прямого произведения $M_4 \times B_6$ в виде

$$y_{al} = \begin{pmatrix} g_{\mu\nu} + \gamma_{i\kappa} A_{\mu}^{i} A_{\nu}^{\kappa} & A_{\mu}^{i} \gamma_{i\kappa} \\ A_{\nu}^{\kappa} \gamma_{i\kappa} & \gamma_{i\kappa} \end{pmatrix}.$$
 (1.5)

Эдесь $q_{\mu\nu}$ - метрический тензор в M_4 , а $q_{i\kappa} = f_{i\kappa}^m f_{m\kappa}$ -

метрика на группе В . Для определенности выберем группу SU(2) , тогда f_{ac} — отруктурные константи группи; A_{μ} — вектор потенциал-калибровочного поля. Соответственно для χ^{ac} имеем

$$y^{ab} = \begin{pmatrix} g^{\mu\nu} & -g^{\mu\nu} A^{\kappa} \\ -g^{\mu\nu} A^{i} & \chi^{i\kappa} + g^{\mu\nu} A^{i} A^{\kappa} \end{pmatrix} . \tag{I.6}$$

Потребуем выполнения следующих условий: $g^{\mu\nu}g_{\nu\rho} = \delta_{\rho}^{\mu\nu}$; $\chi^{\nu\nu}\eta_{jk} = \delta_{\kappa}^{\nu}$; $\chi^{\nu\nu}\eta_{jk} = \delta_{\kappa}^{\nu}$; $\chi^{\nu\nu}\eta_{jk} = \delta_{\kappa}^{\nu}$; Ми полягаем, что греческие индекси принимают значения $\overline{0.3}$, а летинские, кроме символов метрики χ^{ν} , изменяются от 4 до 6 (для выбранной группы SU(2)). Величини \mathcal{A}_{μ}^{ν} огределяют тензор напряженности калибровочного поля следующим образом:

$$\mathcal{F}_{\mu\nu}^{a} = \partial_{\mu} \mathcal{A}_{\nu}^{a} - \hat{\gamma}_{\nu} \mathcal{A}_{\mu}^{a} + \hat{\beta}_{ec} \mathcal{A}_{r} \mathcal{A}_{\nu}^{c} . \qquad (1.7)$$

Поскольку метрика $\chi_{a\ell}$ невырождена ($\det \chi_{a\ell} \neq 0$), то из курса дифференциальной геометрии известно, что существует и единственная связность, симметричная и согласованная с этой метрикой. Эта связность и некоординатном базиов \hat{e}_a (a=1,2,3,4,5,6) с метрикой $\chi_{a\ell}$ задается формулами

гда $C_{g_c}^{\alpha}$ - коэфициенти коммутеционных соотношений для некоординатного базиса

д - производная по :аправлению д . В базисе локального прямого произведения комутеционание формурации принямого сле-

дующие значения:
$$C_{ij}^{\kappa} = \int_{ij}^{\kappa} ;$$

$$C_{ij}^{m} = C_{iv}^{\kappa} = C_{iv}^{m} = 0 ;$$

$$C_{pv}^{\kappa} = C_{pv}^{d} = 0 .$$
(I.9)

Учитывая соотношения (1.8) и (1.9), для символов Кристоффеля находим явные выражения (где Г-связность в В х М4):

$$\Gamma_{i\kappa}^{a} = 0; \quad \Gamma_{j\kappa}^{i} = \Gamma_{j\kappa}^{i} = \frac{1}{2}f_{j\kappa}^{i};$$

$$\Gamma_{\kappa\mu}^{a} = \Gamma_{\kappa\mu}^{i} = \frac{1}{2}(f_{j\kappa}^{i} f_{\mu}^{i} + \eta_{\kappa\ell} g^{d\beta} A_{\alpha}^{i} \mathcal{F}_{\beta\mu}^{\ell});$$

$$\Gamma_{\mu\kappa}^{a} = \Gamma_{k\mu}^{a} = \frac{1}{2}\eta_{\kappa\ell} g^{\beta} \mathcal{F}_{\mu\beta}^{\ell};$$

$$\Gamma_{\mu\nu}^{a} = \Gamma_{\mu\nu}^{a} + \frac{1}{2}\eta_{i\kappa} g^{\beta} (A_{\mu}^{i} \mathcal{F}_{\nu\beta}^{\kappa} + A_{\nu}^{i} \mathcal{F}_{\mu\beta}^{\kappa});$$

$$\Gamma_{\mu\nu}^{i} = \frac{1}{2}(\partial_{\mu} f_{\nu}^{i} + \partial_{\nu} f_{\mu}^{i}) +$$

$$+ \frac{1}{2}\eta_{i\kappa} g^{\beta} f_{\alpha}^{i} (\mathcal{F}_{\beta\mu}^{i} A_{\nu}^{\kappa} + \mathcal{F}_{\beta\nu}^{i} A_{\nu}^{\kappa}) - \Gamma_{\mu\nu}^{a} f_{\alpha}^{i}.$$
(I.10)

Здесь Г. и Гиу - симесли Кристоффеля соответственно пространств В и М4 с метриками 7 к и дму . Тензор Римана в некоординатном базисе имеет вид

Ссответствение для тензора Риччи, являющегося следом тензора

где тензоры Риччи $R_{i_k} = \frac{1}{4} \gamma_{i_k}$ и R_{p_k} -для пространств В и M_4 соответственно, а ∇_a - ковариантная произгодная, определяемая условием:

$$\nabla_{x} \mathcal{F}_{\mu\nu}^{\kappa} = \partial_{x} \mathcal{F}_{\mu\nu}^{\kappa} - \Gamma_{\mu}^{\rho} \mathcal{F}_{\nu}^{\kappa} - \Gamma_{\nu}^{\rho} \mathcal{F}_{\mu\rho}^{\kappa} + f_{ij}^{\kappa} \mathcal{A}_{i}^{k} \mathcal{F}_{\mu\nu}^{j} . \quad (1.13)$$

Из выражений (І.І2) и (І.І3) найдем скалярную кривизну:

$$\bar{R} = -\frac{1}{4} \eta_{ik} g^{md} g^{\nu \beta} \bar{F}_{\mu\nu}^{i} \bar{F}_{\alpha\beta}^{\mu} + g^{m} R_{i\mu\nu} + \eta^{i\kappa} R_{i\kappa} =
= -\frac{1}{4} \bar{F}^{2} + R_{M_{4}} + R_{8} .$$
(1.14)

это представление интересно тем, что оно является суммой лагранживна поля Янга-Пиллса $\mathcal{L}_{_{\rm SM}}=-\frac{1}{4}\,\mathcal{F}^{\,\,2}$, кривизны четырехмерного пространства-времени $\mathcal{R}_{_{\rm N_4}}$ и величини $\mathcal{R}_{_{\rm IS}}$ - кривизны групгового пространства, которая может быть связана с космологическим членом. Таким образом, действие в пространстве $\mathcal{M}_{_4} \times \mathcal{B}_{_5}$:

может быть проинтегрировано по групповым степеням свободы, в результате чего мы придем к действию в четырехмерном пространстве:

$$S = V_B \sqrt{-2}_{M_4} \left(-\frac{1}{4} \mathcal{F}^2 + R_{M_4} + R_B \right) J^4 x$$
 (1.15)

Исследуем свойства симметрии Лаграндиана поля Янга-Ииллса отно-

сительно калибровочных пресбразований:

$$\mathcal{A}_{\mu}(x) \longrightarrow g(x)\mathcal{A}_{\mu}(x)g'(x) - ig(x)\frac{\partial}{\partial x^{\mu}}g'(x) . \qquad (I.16)$$

Вектор-потенциял определяются соотношением $\mathcal{A}_{r} = \mathcal{A}_{r}^{\alpha} T_{\alpha}$, где T_{α} - генераторы группы SU(2), удоблетворяющие коммутационным соотношениям;

Если функция $g(x)=1-i\theta^2 T_a$ (т.е. мы рассматриваем инфицитезимальные преобразования), то, подставляя явний вид g(x) в линейном приолижения по Θ , получим

Теким образом, мы можем связать линейные изменения поля $\mathcal{S}_{pm}^{\alpha}$ с линейными измекениями пераметров в группе

$$\begin{split} \mathcal{A}_{m}^{a} &= \mathcal{A}_{m}^{a} + \mathcal{S}\mathcal{A}_{m}^{a} = \mathcal{A}_{m}^{a} - \left[\mathcal{S}_{ac}\mathcal{D}_{m} + \mathcal{E}_{abc}\mathcal{A}_{m}^{b}\right]\theta^{c} = \\ &= \mathcal{A}_{m}^{a} - \mathcal{V}_{m}\theta^{a} \; ; \; \text{ T.e. } \mathcal{S}\mathcal{A}_{m}^{a} = -\mathcal{V}_{m}\theta^{a} \; . \end{split}$$

Здесь ¬ = ¬ · і А п — ковариантная производная. Используя явное выражение тензора калибровочного поля (1.7), видим, что при калибровочных преобразованиях (1.16) он преобразуется по закону

$$\mathcal{F}_{\mu\nu}^{\alpha} = g(z) \mathcal{F}_{\mu\nu} g^{\alpha}(x) .$$

Отокда следует, что и лагранжики поля Янга-Миллса, определяемий

$$\mathcal{L}_{gm} = -\frac{1}{4} \mathcal{F}_{\mu\nu}^{a} \mathcal{F}_{a}^{\mu\nu}, \qquad (1.17)$$

при калибровочных преобразованиях (І.Іб) преобразуется следу-

$$\mathcal{L}_{gm} = -\frac{1}{4} g(\alpha) \mathcal{F}_{\mu\nu}^{\alpha} g'(\alpha) g(\alpha) \mathcal{F}_{\alpha}^{\mu\nu} g'(\alpha) =$$

$$= -\frac{1}{4} g(\alpha) \mathcal{F}_{\mu\nu}^{\alpha} \mathcal{F}_{\alpha}^{\mu\nu} g'(\alpha) ,$$

т.е. является инвариантом относительно поворотов в групповом пространстве. Аналогично можно проверить инвариантность лагранживна поля Янга-Миллов (I.18) относительно лоренцовых певоротов в пространстве Минковскоге.

Используя лагранжиан (I.I7), несложно нейти уравнения движения поля Янга-Мимлса:

$$\left[\frac{\partial}{\partial A_{\mu}} - \frac{\partial}{\partial x'} \frac{\partial}{\partial \left(\frac{\partial}{\partial x'}\right)}\right] \mathcal{L}_{AM} = 0 \qquad (I.18)$$

Уравнения (1.18) удобно записать следующим образом:

Здесь тох, отсящий в правой части выражения (1.19), обусловлен взаимодайствием с заряженням полем. При исследовании решений уравнений Янга-Миллса может оказаться полезным представление уравнений чераз потонциоль поля и их производные (мь будем использовать калибровочное условие $\mathcal{F} \mathcal{A} = 0$):

$$-(\vec{\partial} \partial_{\nu})^{2}A_{\mu}^{a} + 2g\epsilon^{alm}A_{\nu}^{m}(\vec{\partial} A_{\mu}^{l}) - g\epsilon^{alc}A_{e}(\partial_{\mu}A_{\nu}^{c}) - g^{alc}A_{\mu}^{a}(\partial_{\mu}A_{\nu}^{c}) - g^{alc}A_{\mu}^{a}A_{\nu}^{c}A_{\nu}^{c} - A_{\nu}^{a}A_{\nu}^{c}A_{\mu}^{l}) = -J_{\mu}^{a}. \quad (1.20)$$

явное внражение уравнений Янга-Миллса (1.20) через потенциали поля До показывает, что эти уравнения нелинейные и в общем случае чрезвычайно сложны. Нелинейность, присутствующая в уравнениях, приводит к существенно новым типам решений полевых уравнений, отсутствующих для уравнений Максвелла. К этим эффектам нужно отнести существование топологически нетривиальных решений (1.20), самодействие полей Янга-Миллса, а также возможную сто-хастичность.

§ 2. Тензор энергии импульса и инварианты поля Янга-Миллоа

Решения уравнений Янга-Миллса и их общие свойства можно иоследовать из энергетических соображений (на основе характеристик плотности энергии и плотности выктора Умова-Пойтинга, которые выражеются через тензор энергии-импульса):

$$T = \frac{\partial A_{\lambda}^{a}}{\partial x^{\mu}} \frac{\partial \mathcal{L}_{AM}}{\partial \left(\frac{\partial A_{\lambda}^{a}}{\partial x}\right)} - \delta_{\mu\nu} \mathcal{L}_{AM} = -\frac{\partial}{\partial \mu} \mathcal{A}_{\lambda a}^{a} + \frac{\partial \mu \nu}{\partial x} \mathcal{F}_{a}^{a} \mathcal{F}_{a}^{\lambda g} . \quad (2.1)$$

Как видно из (2.1), мы получили канонический тензор энергии—импульов, который из—за наличия спина у поля Янга-Миллев оксавлея
несимметричным. Для построения симметричного тензора энергии—
импульов можно госпользоваться метедом Белинфанте или метолом

Гильберта.

В курсе лекций по теории относительности А.А.Логунова показана эквивалентность тензоров энергии-импульса Белинфанте и Гальберта [4] для лагранживнов, содержащих производные от полених функций вплоть до третьего псрядка. Ми будем использовать метод Гильберта для построения симметричного тензора энергии-импульса. Переходя к криволиьейным координатам и виделяя явно метрический тензор 9 дря получим лагранживн

$$\mathcal{L} = -\frac{1}{4} g^{\mu \nu} g^{\nu \nu'} \mathcal{F}_{\mu \nu}^{a} \mathcal{F}_{\mu \nu' a}^{a} \qquad (2.2)$$

Тогда симметричный тензор определяется соотношением

$$\frac{1}{4}\sqrt{3}\int_{-\infty}^{\infty} \frac{\partial \delta_{\mu,\lambda}}{\partial \delta_{\mu,\lambda}} - \frac{\partial \delta_{\mu,\lambda}}{\partial \delta_{\mu,\lambda}} - \frac{\partial \delta_{\mu,\lambda}}{\partial \delta_{\mu,\lambda}} \right). \tag{5.3}$$

После учета соотношения $\sqrt{-g}/\sqrt{g} = -\frac{1}{2}\sqrt{-g}$ для симметричного тензора энергин-импульса имеем

$$T_{\mu\nu} = -F_{\mu\rho}^{a} F_{\nu\alpha}^{g} + g_{\mu\nu} + F_{\nu\alpha}^{a} F_{\alpha}^{a} . \qquad (2.4)$$

При изучении КХД в ряде случаев сывает удобно проводить аналогию с хорошо изученной КЭД. Мы также воспользуемся такой аналогией и введем векторы цветового электрического и магнитного полей:

$$\mathcal{F}_{a}^{PV} = \begin{pmatrix}
0 & -E_{a}^{2} & -E_{a}^{2} & -E_{a}^{3} \\
E_{a}^{1} & 0 & -B_{a}^{3} & B_{a}^{2} \\
E_{a}^{2} & B_{a}^{3} & 0 & -B_{a}^{4}
\end{pmatrix} (2.5)$$

$$E_{a}^{k} = -F_{a}^{ok};$$

$$B_{a}^{k} = -\frac{1}{2} \epsilon^{kij} F_{a}^{ij}; \quad F_{a}^{ij} = -\epsilon^{ijk} B_{a}^{k}. \quad (2.6)$$

В терминах вектор-потенциалов для напряженностей хромоэлектрического и хромомагнитного полей получим

$$\vec{E}_{\alpha} = -\vec{\nabla} \vec{A}_{\alpha} - \vec{\partial}_{e} \vec{A}_{\alpha} - g \epsilon_{abc} \vec{A}_{e} \vec{A}_{c} ;$$

$$\vec{B}_{\alpha} = \vec{\nabla} \times \vec{A}_{\alpha} + \frac{1}{2} g \epsilon_{abc} \vec{A}_{e} \times \vec{A}_{c} .$$
(2.7)

Из соотношений (2.7) для хромомагнитного поля можно увидеть, что

$$(\vec{\nabla} \cdot \vec{B}_{\alpha}) = \frac{1}{2} g \, \epsilon_{alc} \left(\vec{\nabla} \cdot \left(\vec{\mathcal{A}}_{c} \times \vec{\mathcal{A}}_{c} \right) \right) .$$

Последнее соотношение указывает на возможность существования отличной от нуля плотности магнитного заряда. Как будет показано ниже, у уравнений Янга-Миллса (в отличие от уравнений Максвелла) существует новый тип специальных решений (монопольные и дионные решения), для которых магнитные заряды отличны от нуля.

В электродинамике инварианти электромагнитного поля (относительно лоренцовых преобразований) определяются как коэффициенти характеристического уравнения

$$p(\lambda) = \det \left(\mathcal{F}_{\mu\nu} - \lambda g_{\mu\nu} \right) = 0 \qquad (2.8)$$

Соответствующий характеристический многочлен при этом имеет вид

$$p(\lambda) = -\lambda^4 + (\vec{E}^2 - \vec{B}^2)\lambda + (\vec{E}, \vec{B}),$$

тогда коэффициенты можно записать через овертки:

$$\frac{1}{2} \mathcal{F}_{\mu\nu} \mathcal{F}^{\mu\nu} = -(\vec{E}^2 - \vec{B}^2) ;$$

$$\frac{1}{2} \varepsilon^{\mu\nu\nu\lambda\beta} \mathcal{F}_{\mu\nu} \mathcal{F}_{\mu} = (\vec{E}, \vec{B}) .$$
(2.9)

В геометрии комбинацию $\frac{1}{2} \varepsilon^{\mu\nu} \mathcal{F}_{\rho}$ называют дуальным тензрром $\mathcal{F}^{\mu\nu}$. Второй инвариант может бить записан через дуальный тензор следующим образом:

$$\frac{1}{4} \widehat{\mathcal{F}}^{\mu\nu} \mathcal{F}_{\mu\nu} = -(\vec{E}, \vec{B}) . \qquad (2.10)$$

введение цветовых степеней свободи, очевидно, сохранит гриведенные инварианти (относительно лоренц-преобразований). Чтоби получить соответствующие инварианти в КХД, надо добавить цветные отепени свободи, что, очевидно, реализуется заменой $\vec{E} \to \vec{E}_{\alpha}$; $\vec{B} \to \vec{B}_{\alpha}$; $\vec{F}_{\alpha} \to \vec{F}_{\alpha}$. Вместе с тем за счет появления невых степеней свободы мы, в отличие от КЭД, можем определить новые инварианты, через которые должны выражаться все наблюдаемые величины, зависящие от полевых переменных. В общем случае для группы SU(z) таких инвариантое будет девять, которые выражаются через величины;

$$L_{al} = \frac{1}{2} \mathcal{F}_{\mu\nu} \mathcal{F}^{a'\mu} = \tilde{E}^{a} \tilde{E}^{l} - \tilde{B}^{a} \tilde{B}^{l};$$

$$J_{al} = \frac{1}{2} \mathcal{F}_{\mu\nu} \mathcal{F}^{a'\mu} = \tilde{E}^{a} \tilde{B}^{l} + \tilde{E}^{l} \tilde{B}^{a};$$

$$t = -\frac{1}{6} \mathcal{E}_{alc} (\mathcal{F}_{\mu}^{a\nu} \mathcal{F}_{\nu}^{b\rho} \mathcal{F}_{\rho}^{c\mu});$$

$$t' = \frac{1}{6} \mathcal{E}_{alc} (\mathcal{F}_{\mu}^{a\nu} \mathcal{F}_{\nu}^{b\rho} \mathcal{F}_{\rho}^{c\mu}).$$
(2.II)

Выпишем эти инварианты:

 t_{r} означает въятие следа в матрице по цветовым видексам. Заметим, что $t_{r}J$ — поевдоскаляр, а $t_{r}L$ — скаляр. Можно также показать, что дуальный тензор $\widetilde{\mathcal{F}}_{r}^{\infty}$, построенний из неабелевых полей с учетом тождеств Якоби для коммутаторов:

$$\left[\left[T_{a}, T_{\ell}\right], T_{c}\right] + \left[\left[T_{\ell}, T_{c}\right], T_{a}\right] + \left[\left[T_{e}, T_{a}\right], T_{\ell}\right] = 0$$

или структурных констант группы:

удовлетворяет уравнению движения (1.19):

В заниси через ковариантную производную в присоединенном представлении получим $\mathfrak{D}_{\zeta}\widetilde{\mathcal{F}}^{\mu\nu}=0$. Используя дуальный тензор поля $\widetilde{\mathcal{F}}_{\mu\nu}^{\alpha}$ и инварианти (2.12), тензор энергии-импульов поля Янга-Миллов (2.4) преобразуем следующим образом:

$$T_{\mu\nu} = -\frac{1}{2} \left(\mathcal{F}_{p}^{\mu\alpha} + i \, \widetilde{\mathcal{F}}_{p}^{\mu\alpha} \right) \left(\mathcal{F}_{a}^{\nu\gamma} - i \, \widetilde{\mathcal{F}}_{a}^{\nu\rho} \right) . \tag{2.13}$$

Это представление имеет красивую силметричную структуру и может бить использовано при изучении некоторых специальных релени. Гравцений движения поля Янга-Миллаа.

В XCД бирает удобно при исследовании свойств электромагнитного поли записивать компоненти тензора энергии-импульса через векторы наприженности. Для компенент тензора энергии-поли Лига-Миллов получим

$$\sum T_{ii} = T_{io} = \mathcal{E} = \frac{1}{\ell} (\vec{E}_{a}^{2} + \vec{B}_{a}^{2}) ;$$

$$T_{ij} = -\vec{E}_{i}^{a} \vec{E}_{j}^{a} - \vec{B}_{i}^{a} \vec{B}_{j}^{a} + \delta_{ij} T_{oo} .$$

Как указывалось выше, в электродинамике важной характеристикой поля является вектор Умова-Пойнтинга - плотность выпульса поля. В нашем случае

§ 3. Топологическая классификация полей. Число Понтрягина-Чженя-Саймонса

Наряду с обычными величинами, карактеризующими поле, такими как заряд, энергия, плотность импульов, важной является карактеристика, учитивающая граничне условия. Этот факт окажется весьма существенным при рассмотрении топологически нетривиальных пространств. Как показано внше, лагранжиан поля Янга-Миллов может быть получен из соответствующей геометро-динамической конструкции, что указывает на возможное существование ненулевых топологических характеристик поля. К таким характеристикам калибровочных полей относится понятие плотности топологического зарядя, причем последнее может быть выражено в терминах классов Гонтрягина-Чженя-Саймонса [5]. Соответствующие характеристические класси можно определить посредством равенства

$$\det\left(1+\frac{\lambda}{2\pi}\mathcal{F}\right)=\overline{\sum}\,\,\hat{\lambda}^{c}c_{n}\,\,,\qquad(3.1)$$

гда 🗲 - матричнозначнал 2-торма,

соответствующая овязность — І-форма $\mathcal{A} = \mathcal{H}_{\mu} \, dx^{\mu}$, а связь между этами формами определяется обичным образом (для поля Янга-Миллоа):

Тогда карактеристические класси определяются так :

$$c_i = tr(\mathcal{F}\Lambda\mathcal{F}\Lambda...\Lambda\mathcal{F}) = tr\mathcal{F}',$$
 $i \ge 1.$
(3.2)

Из овойств калибровочных преобразований тензора \mathcal{F}_{μ} , а также 2-формы \mathcal{F} следует, что

таким образом,

$$t_i \mathcal{F}^i = c_i \rightarrow c_i$$

Можно показать, что величина $\int_{A_{2n}}^{C_n}$ всегда является цельм числом в том случае, когда $M_{2n}^{C_n}$ - компактное 2n -мерное подмногообразие без границы (т.е. 2n - цикл) в M_4 из $M_4 \times B$. Это целое число будем называть числом Понтрягина-Чженя-Саймонов. Нараду с формой (3.2) C_i для группы SO(2n) можно ввести также X_n степени 2n на базе M;

$$\beta(n) \chi(n) = \sum_{i_1 \leq i_2} \chi \left[\mathcal{F}(\tau_{i_1}, \tau_{i_2}), \dots, \mathcal{F}(\tau_{i_{2n-1}}, \tau_{i_{2n}}) \right], \quad (3.3)$$

β(n) - числовой коэффициент, выбираемый из условия нормировки; $\chi[L^{(n)}]$ — полилинейная форма от и коссомметрических матриц $L^{(n)}=(\ell_{ij}^{(n)}),\ldots, L^{(n)}=(\ell_{ij}^{(n)}),\ldots$ которая будет определена няже. Пусть $\ell^{(n)}=\ell_{ij}^{(n)}\,dy^i$ — 2-формы в R^{2n} с координатами y_i,\ldots,y_{2n} , тогда

Для примера можно рассмотреть группу 50(4), пои этом у нас будут характеристические класси $c_1 = t_2 \mathcal{F}^2$ и χ_2 . Гри условии, что связность симметрична и согласована с метрикой для четырекмерного риманова мьогообразия с 9:

$$c_2 = -R_{\lambda \varphi}^{ij} R_{ijg \infty} dx^{\lambda} \Lambda dx^{\varphi} \Lambda dx^{\varphi} \Lambda dx^{\varphi} \Lambda dx^{\varphi} \qquad (3.5)$$

$$\chi_{2} = \frac{1}{24} \epsilon^{abed} R_{abem} R_{cdnp} dx^{ab} Adx^{m} Adx^{m} Adx^{b}$$
. (3.6)

Аналогично вводятся характеристические классы группы $S_P(n)$. а также других групп. Что насается групп SO(n) и U(n), то для них никаких другах характеристических классов, не эквивалентных приведенным выше С; и Х; , построить нельзя.

Разберем еще один поучительный пример. Пусть $\mathcal{F}=$: = Fodx Adx - напряженность магнитного поля в области $P \in \mathbb{R}^3$, $P = \mathbb{R}^3 \setminus \infty$ (где ∞ для огредоменности 0). а в точке $x_0=0$ имеется особенность. Виберем сферу $S_1^2=P$ которая может быть определена как $\chi^2 = \sum_{i=1}^{3} (x^i - x^i)^2 > 0$. В этом случае

 $\int_{a}^{b} \mathcal{F}_{a} dx^{a} dx^{b} = k, \quad (a, b = 1, 2, 3),$

где 🕽 - целое число. Из этого результата следует, что поток

магнитного поля через оферу S^2 не обязательно должен быть равен нулю. При этом, как мы уже знаем, можно с тензором $\mathcal{F}_{\alpha,\rho}$ хорректно связать вектор потенциала поля. Таким образом, теоретически предстазывается (впервые это было оделано в 1931 году Дираком) существование магнитного монополя в КЭД[6]. Очевидно, что аналогичные рассуждения, основанные на изучении топологической структуры пространства, в целом правомерны и цля более сложных, рассматриваемых в настоящее время, теорий калибровочных полой. Например, выберем над сферой S^4 расслоение с группой SU(2) или SO(4). Поскольку $S^4 \sim \mathbb{R}^4$, используя вектор-потенциалы $\mathcal{A}_{\rho_{\alpha}}$ (связности) над \mathbb{R}^4 , можно задать расслоение над S^4 . Будем очитать, что расслоение тривиально ($\mathcal{F}_{\rho_{\alpha}} = 0$) и выполнены граничные условия

$$A_{\mu}(x) \xrightarrow{|x| \to \infty} g(x) \frac{\partial g'(x)}{\partial x^{\mu}}. \tag{3.7}$$

Здесь функция g(x) осуществляет отображение сферы S^3 лучей $\frac{x}{|x|}$ в B(SU(2)) или SO(4):

Соответствующий топологический инвариант ресслоения - элемент $\mathcal{T}_{a}(B)$ - гомотопический класс отображения.

В результате для SO(4) можно определить два характеристических класса, в то время как для SU(2) (или SO(3), с которой она локально изомогуна) такой класс один:

$$c_{s} = \int_{\mathbb{R}^{4}} \operatorname{tr}(\mathcal{F}_{p} \mathcal{F}_{\chi E}) dx^{2} \wedge dx^{2} \wedge dx^{3} \wedge dx^{4} ,$$

$$\chi_{s} = \int_{\mathbb{R}^{4}} \operatorname{tr}(\mathcal{F}_{p} \mathcal{F}_{\chi E}) dx^{2} \wedge dx^{3} \wedge dx^{4} \wedge dx^{5} ,$$

$$r_{R} = \int_{\mathbb{R}^{4}} \operatorname{tr}(\mathcal{F}_{p} \mathcal{F}_{\chi E}) dx^{4} \wedge dx^{4} \wedge dx^{5} \wedge dx^{5} ,$$

$$r_{R} = \int_{\mathbb{R}^{4}} \operatorname{tr}(\mathcal{F}_{p} \mathcal{F}_{\chi E}) dx^{4} \wedge dx^{5} \wedge dx^{5} \wedge dx^{5} .$$

$$(3.8)$$

§ 4. Калебровсчные условия. Необходимость выбора калибровки

При выводе уравнений движения поля Янга-Миллоа (1.20) мы потребовали выполнения дополнительного (калибровочного) условия на компоненти вектор-потенциала 2 4 = 0 . Цель, которую ми преследовали, налагало это условие - снятие функционального произвола пси решении уравнений движения. Строго гозоря, после вивона уравне ний деижения поля (1.19) можно было поступить одним из леух способов. Первый способ состост в нахождении множества всех решений уравнений движении поля, а затем в устранении функциональной неоднозначности решений путем наложения на множество решений таких условий, которые не противоречат уравнениям движения. При этом, вообще говоря, сднозначности может и не быть, поскольку такие условия (мы их будем называть калибровочными) могут сужать класс решений уравнения движения поля. Второй путь состоит в том, чтобы сыять требование согласованности условий с уравнениями движения. Формального запрета на вибор калибровки или указания на ее леный вид нет. Поэтому как в КЭД, так и в КХД при вичислении различных физических величии используют разные калибровки. Однако следует отметить, что получаемые при вычислениях наблюдармые физические величины не должны зависеть от выбора калибровочных условий. Заметим, что выбор той или иной калибровки определяется лишь удобством решения соответствующей физической задачи. Перечислим некоторые из калибровочных условий. часто используемых при рассмотрении различных вопросов: при получении уравнений Янга-Миллса ми допользовали лоренцеву кальоровку д А = 0 : гамальтонова или временная калиброька-A = 0 : акональная калибровка - A = 0 : фоновая калибровка - Д А = О , кулоновская калиоровка - ♥ 3 = О

Использование калибровочных условий важно для устранения нефизических степеней свободы при проведении процедуры канонического квантования и при переходе от функционального интеграла в гамальтоновой форме к фейнмановской ковариантной форме.

§ 5. Решение уравнений движения классического поля Янга-Миллса

Уравнения движения полей Янга-Миллса имеют вид

$$\mathfrak{D}_{r} \mathcal{F}_{e}^{\prime r} = J^{\prime a} , \qquad (5.1)$$

где Д = 2 6 + 3 2 6 Д - ковариантная производная; З' - тензор цветового поля; Ј - ток, природа которого не фиксируетоя (в общем случае это может быть сумма токов и
полей материи). Изучение классических свойств теории Янга-Миллса
проводилось различными авторами. Первая работа 1962 года Икеды
и Миячи [7] быле посвящена рассмотрению уравнений Янга-Миллса
пля группи SU(2) , нескольке позже Лус (1965 г.) [8] обобщил их результати на более широкий класс калибровочных симуетрий.
Общим выводом этих работ явилось указание на возможность существования кулоноподобных решений. Такие решения имеют довольно
простую структуру и с момента их нахождения к ним почти не обращались.

5.1. Сферически-симметричные решения

Рассмотрим сферически-симметричные решения (5.1) в группе SU(L). Аналогично тому как это делали Икеда и Миячи, положим ток в правой части (5.1) равним нулю, $J^{\circ \alpha} = 0$, а для потенциалов поля выберем сферически-симметричную, не зависящую от времени

подстановку

$$A^{\alpha} = \ell^{\alpha}(r), A_{i} = n^{i} f^{\alpha}(r), n^{i} = x^{i}/2$$
 (5.2)

Тогда для компонент ℓ^{α} и $\int_{-\infty}^{\infty}$ в сферической системе координат уравнения Инга-Миллса примут вид

$$\Delta \ell^{\alpha} - 2g \epsilon^{\alpha} f^{\beta} \ell^{\prime e} + g^{\alpha} \epsilon^{\beta} f^{\beta} \left[\vec{f} \times \vec{\ell} \right]^{e} = 0 , \qquad (5.4)$$

соответственно для условия калибровки (кулоновской) получаем

$$\frac{\partial f^{a}}{\partial z} + \frac{2}{\tau} f^{a} = 0$$
 non $f^{a} = m^{a}/r^{2}$, (5.5)

где м - постоянняй вектор в цветовом пространстве. Используя (5.5) из (5.3) и (5.4), найдем

$$\varepsilon^{abc} \ell^{b} \left[\ell^{\prime c} + \frac{\vartheta^{2}}{\gamma^{2}} \left[\vec{m} \times \vec{\ell} \right]^{c} \right] = 0$$
 (5.6)

N

$$\frac{d}{dz} \left(\frac{z^2 \ell'^2}{2} \right) = \varepsilon^{a \ell c} m^{\ell} \left[2g \ell'^c + \frac{g^2}{z^2} \left[\vec{m} \times \vec{\ell} \right]^c \right]. \quad (5.7)$$

Легко видеть, что из (5.6) следует соотношение

$$\ell'' + \frac{g^2}{7^2} \left[\vec{m} \cdot \vec{\ell} \right]^c = \varphi(2) \ell''$$
 (5.8)

Уравнение (5.8) можно переписать в матричном виде

где явний вид матрици А следующий:

$$A = \begin{pmatrix} \varphi(\tau) & m_3 \left(\frac{\vartheta}{\tau}\right)^2 & -m_1 \left(\frac{\vartheta}{\tau}\right)^2 \\ -m_3 \left(\frac{\vartheta}{\tau}\right)^2 & \varphi(\tau) & m_1 \left(\frac{\vartheta}{\tau}\right)^2 \\ m_2 \left(\frac{\vartheta}{\tau}\right)^2 & -m_1 \left(\frac{\vartheta}{\tau}\right)^2 & \varphi(\tau) \end{pmatrix}$$

Собственные значения матрицы λ_{i} определяются из условия

$$(\varphi - \lambda)^3 + (\varphi - \lambda) \left(\frac{9}{2}\right)^4 \overline{m}^2 + 2m_1 m_2 m_3 \left(\frac{9}{2}\right)^6 = 0 ,$$

т.е. они однозначно определяются функцией $\phi(\tau)$ и вектором пестового пространства \widetilde{m} . Волее точно через тры величини: $\psi_i\left(\frac{3}{2}\right)^4\widetilde{m}^2$ и $2\left(\frac{3}{2}\right)^6m_i^4m_i^4m_j$ решение ℓ^c выражается однозначно. В общем случае это будет система векторов, поверкутих друг относительно друга при различных значениях t. Если рессмотреть частний олучай $f^a = 0$ и $\mathcal{A}_{\ell}^a = [(A/\tau) + B]\delta_{e_3}$, то получим $\mathcal{F}_{\ell_i}^a = 0$, $\mathcal{F}_{e_3}^a = -\delta_{a_3}\partial_i\left(A/\tau + B\right)$.

Т.е. рассматриваемые решения уравнений Янга-Илилса кулоноподобны. Этот результат можно обобщить на любую размерность группы, т.е. на больших расстояниях необходимо учитывать соответствуюшее тензорное поведение потенциала в цестовом пространстве.

Несколько иние решения уравнений Янга-Пиллоз можно найти, используя следующий вид потенциалов поля:

$$A_o^a = \frac{\ln_a \ell(x)}{g^2} ; A_i^a = \epsilon_{ain} n_n \frac{1 - f(x)}{g^2} . \qquad (5.9)$$

Подстановка (5.5) впервые была использована при $\mathcal{A}_o = 0$ (временная калябровка) Ву и Янгом [9]. Несколько позне Джулия и Зи [13]. а также Меком и Хсу [11] — при $\mathcal{A}_o \neq 0$. При подстановке в уравнения (5.9) несложно получить уравнения

$$\frac{2}{2} \int_{0}^{\pi} -2 \int_{0}^{\pi} f(x) dx = 0;$$

$$\frac{2}{2} \int_{0}^{\pi} -f(f^{2}-1+f^{2}) = 0.$$
(5.10)

Используя замену переменных (переходя к новому масштабу $t=e^{\frac{k}{2}}$), получим уравнение

$$\ell'' - \ell' - 2f^{2}\ell = 0;$$

$$f'' - f' - (f^{2} + \ell^{2} - 1)f = 0.$$
(5.II)

Здесь $\ell = \ell(\xi)$, $f = f(\xi)$, а птрих означает производную по ξ . Очевилно, что система (5.11) имеет постояные решения, удовлетверяющие соотношению: а) $\ell = 0$ и $f^2 = 1$; б) f = 0 и $\ell = c_1 + c_2$. Гешение типа а) такуумное при f = 1 и "чистая" кадиоровка при f = -1.

Рассмотрим решение линеаризованных уравнений (5.II). Они оказнаются следующими:

$$\ell = c_1 + c_2 e^{\frac{3}{2}};$$

$$f = \exp\left[\frac{1}{2}\exp\left[\frac{1}{2}\exp\left[\frac{1}{2}\exp\left(\frac{\sqrt{3}}{2}e^{\frac{3}{2}} + c_4\cos\frac{\sqrt{3}}{2}e^{\frac{3}{2}}\right)\right]\right]$$
 (5.12)

Приведенные решения (5.12) указывает на быотрый рост и осидлянии компонент f(3) в зависимости от параметра f(4) соли вернуться и исходным переменным, то это означает и увеличение осимляний с возрастанием расстояния f(4). Если вновь обратиться и уравненвим (5.11), то можно заметить, что возможны "резонансные" решения, приводущие и росту f(4). Такая ситуация для стационаризу уравнений резис усложняется при учете временной зависимости в вектор-потенциалах (5.3). Отмеченный рост решений f(5) может привести и отсутствию устойчивих нестационарных решений или возникновенню стохастичности. Последнее наблюдалось, например, в работе

Б.2. Плосковолновые решения уравнений Янга-Мелиса

В 1977 году Коулменом было показано [13], что плосковолновые решения уравьений ЯМ (5.1) существуют (даже при нулевом токе), и они могут быть представлены следующим образом:

$$\mathcal{A}_{\mu}^{a} = k_{\mu} \left[(n^{4}x) \right]^{a}(\varphi) + (n^{4}x) g^{a}(\varphi) + k_{\mu}^{a}(\varphi) \right]$$
. (5.13)
Здесь $\varphi = k_{\mu} x^{a}$ — фаза волны; $n_{\mu}^{i, t}$ — проотранственно-полобные 4—векторы, характеризующие поляризацию волны; k_{μ} —изотропный волновей 4—вектор; $(n^{t} n^{t}) = (k n^{t}) = (k n^{t}) = 0$, $f^{a}(\varphi)$, $g^{a}(\varphi)$, $k^{a}(\varphi)$ — произвольные ограниченные функции φ .

Функции $h^{\alpha}(\phi)$ в выражения для $\mathcal{A}_{\mu}^{\alpha}$ можно устранить калибровочным преобразованием, зависляцим только от ϕ . Это является следотвием того, что после валожения калибровки Лоренца

мы неполностью устраняем возможний произвол. Заметим при этом, что при ограниченной плотности энергии полей $\Re M$ и постоянном направлении вектора Умова-Пойнтинга решение $\Re f$ вида (5.13) пеляется единственным по модулю $\mathop{h}^{\alpha}(\varphi)$. Напряженность полей $\Re M$, определяемая $\mathop{\mathcal{H}}^{\alpha}$, имеет вид

$$\mathcal{F}_{\mu\nu}^{a} = f^{a}(\varphi) \left(n_{\mu}^{i} k_{\nu} - n_{\nu}^{i} k_{\mu} \right) + g^{a}(\varphi) \left(n_{\mu}^{2} k_{\nu} - n_{\nu}^{2} k_{\mu} \right). \quad (5.14)$$

Несколько новже в ряде работ [14-46] ясследовались волновне решений уравнений ЯМ в подотановках:

мы рассмотрим анэац, предложенный в расстах [27,29]:

$$A_{i}^{a} = 0, A_{i}^{a} = \varepsilon^{a i n} \hat{f}_{n}(t) \text{ HTM } A_{i}^{a} = \delta_{i}^{a} \hat{f}_{a}(t). \quad (5.15)$$

Соответствующие уравнения для функций f(t) ымеют вид

$$\dot{f}_{n} + g^{2} (f_{1}^{2} + f_{2}^{2} + f_{3}^{2}) f_{n} = 0$$
 (5.16)

для первой подстановки, и

$$f_n + g^2 (f_1^2 + f_2^2 + f_3^2 - f_n^2) f_n = 0$$
 (5.17)

$$f + g_{*}^{2} f^{2} = 0$$
 (5.18)

Здесь 9 гравно 9 для первой подотановки и 29 -для вгорой. Из последнего уравнения легко получить

$$\dot{f} = \pm \sqrt{2(8 - \frac{1}{4}g_*^2 f_*^4)}$$

Откуда следует, что $f(g_*^2/4E)^{4/4} \in [-1, 1]$, величина E — энергия, переносимая волной. Если обозначить частоту $\omega_{\overline{s}}(g_*^2E/4)^2$ то получим решение уравнении, виражаемое через функции Якоби:

$$f(t) = \frac{2\omega_o}{g_*} cn(\omega_o(t+t_o); \frac{1}{\sqrt{2}}) . \qquad (5.19)$$

Строго говоря, мы не пэречислили воёх решений уравненин (5.16). Так, например, положим $f_1 = c \sin Bt$, $f_2 = f_3 = \frac{c}{\sqrt{2}} \cos Bt \implies \int_1^2 + \int_2^2 + \int_3^2 = C^2$, (5.20)

при этих условиях найдем, что

$$\int_{n}^{2} + (cg)^{2} f_{n} = 0, \quad n = 1, 2, 3;$$

$$k^{2} + (cg)^{2} = 0, \quad k_{1,2} = \pm cg;$$

$$f_{1} = A_{1} \exp cgt + A_{2} \operatorname{sincgt},$$
(5.21)

 $f_4 = C \sin C g t$; $f_t = f_3 = \frac{C}{\sqrt{2}} \cos^2 c g t$ — решение (5.16). Можно поступить и так. Положим, $f = f_4^2 + f_2^2 + f_3^2 = U(t)$, далее необходимо решать задзчу

$$f_n(t) + g^t U(t) f_n(t) = 0,$$
 (5.22)

скажем, методом обратной задачи рассеяния, например так, как это еделано в рассте [17].

При выводе уравнения для функции ∮ мы воопользовались одним из условий

$$g \in \mathcal{A}_{\rho}^{i} \partial_{\rho} \mathcal{A}_{i}^{c} = 0$$
, (5.23)

которое в обоих случаях приводит к тому, что

$$[\vec{f} \times \vec{f}] = 0, \qquad (5.24)$$

т.э. вектори $f \sim f$ - коллинеарни. Для напряженности хромоэлектрической и хромомагнитной компонент поля волны получим (ми рассмотрим первую подстановку)

$$E_{i}^{a} = -\varepsilon_{ain} f_{n}; B_{i}^{a} = \frac{1}{2} g \varepsilon_{a} \varepsilon_{c} \varepsilon f_{c} f_{c} = (5.25)$$

$$= \frac{1}{2} \varepsilon_{alc} \varepsilon_{ikl} \varepsilon_{kln} \varepsilon_{lcm} f_{n} f_{m} = g f_{a} f_{c}$$

Очевидно, что векторы \vec{E}_a и \vec{B}_a ортогональны в обычном и претовом пространствах, плотность энергии поля, переносимая волной, имеет вид

$$w = \frac{1}{2} \left(\vec{E}_a^2 + \vec{B}_a^2 \right) = \dot{f}^2 + \frac{\dot{q}^2}{2} \dot{f}^4$$

и удовлетворяет уравнению

MT.K. Ja=0 M div T = div[EaxBa] =0 . TO w= const. Несоходимо указать, что в аднабатическом пределе, который в нашем случае соответствует выполнению условия (4 8) // п. . где м - маоса кварка, или ограничению на напряженность третового (здесь $m^2/g = E_{KD}$ поля |E | « me/9 - критическое пвингеровское поле), для малых промежутков эремени по сравнению с периодом колебанчи поле вслин может быть аппроксимировано посвинежилония вонригольным положение можно использорать пои рассмотрении длинных волн с тем же ограничением на амплитуду волны. Следует отметить, что в КЭД интенсивно развивался метод описания процессов во внешнем поле, разработанный в работах В.И.Ритуса и А.И.Никишова [18 , 19] . Способ описания был основан на том, что практически добое не бистро меняющееся электроматнитное поле в системе оточета, связанней с редятивистской частицей, имеет вид окрещенного поля Е 1 Н | Е | Н | . Зависимость от поля в окончательные выражения входит через параметры:

$$\chi = \frac{e}{m^3} \sqrt{-(\mathcal{F}_{pv} p^{v})^2} ; f_1 = \frac{e}{m^2} \sqrt{|\mathcal{F}_{pv} \mathcal{F}^{pv}|} ;$$

$$f_2 = \frac{e}{m^2} \sqrt{|\mathcal{F}_{pv} \mathcal{F}^{pv}|} ,$$

е также f 3,4,5,6, определение которых дено в [19 , 20]. В упсмянутых работах показано, что данный метод применым для про-извольного постоянного поля f_{rv} , если параметры f_{t} , f_{t} мали по оравнению с \mathcal{X} :

В этом случае рлд процессов для широкого класса полей описнеается одним параметром $\mathcal X$. Учетнезя сказанное, приближение решений уравнений $^{\mathrm{SM}}$ посредством пестоянных полей может оказаться полезным в связи с возможностью получения на их основе эффектов, обусловленных основеным состоянием КХД.

Рассмотрение возможности существования плосковолновых решений уравнений ЯМ с нулевым током в группе SU(2) для несколько более общего вида потенциала было проведено в работе 0.И.Бацули и В.П.Гусинина [21], которые для вактора-потенциала использовали следующее выражание:

$$\mathcal{A}_{o}^{a} = \frac{p_{a}}{\sqrt{p^{2}}} J(px); \qquad (5.26)$$

$$\mathcal{A}_{i}^{a} = \varepsilon_{aik} \frac{p_{k}}{\sqrt{p^{2}}} J(px) + (\delta_{ai} - \frac{p_{a}p_{i}}{p^{2}})H(px) + \frac{p_{a}p_{i}}{p^{2}} \mathcal{F}(px).$$

Здось \mathcal{K} , H, F и J — окалярные функции; $\rho = \rho - P > 0$. Решения, определяемие вектор-потонциалом (5.26), инвариантны относительно одновременных пресбразований поворота в цветовом и координатном пространотвах. Випишем компоненты хромовлемтрического и хромомагнитного полей, соответствующие вектор-потенциалам (5.26):

$$\mathcal{F}_{ci}^{a} = E_{i}^{a} = \varepsilon_{aik} \frac{P_{k}}{\sqrt{p}^{2}} \left(P_{o} \mathcal{H}' - JH \right) + \left(\delta_{ai} - \frac{P_{a}P_{i}}{P^{2}} \right) \left(P_{o} H' + JR' \right) + \frac{1}{2} \left(P_{$$

$$\frac{+\frac{P_{\alpha}P_{i}}{\vec{p}^{2}}\left(p_{o}\mathcal{F}'-\sqrt{\vec{p}^{2}}\mathcal{J}'\right);}{\frac{1}{2}\epsilon_{ijk}\mathcal{F}_{jk}^{a}=B_{i}^{a}=\epsilon_{aik}\frac{p_{k}}{\sqrt{\vec{p}^{2}}}\left(\sqrt{\vec{p}^{2}}\mathcal{H}'+\mathcal{U}\mathcal{F}\right)+\frac{P_{\alpha}P_{i}}{\vec{p}^{2}}\left(\mathcal{X}^{2}-\mathcal{H}^{2}\right)+\left(\delta_{ai}-\frac{P_{\alpha}P_{i}}{\vec{p}^{2}}\right)\left(\mathcal{H}\mathcal{F}-\sqrt{\vec{p}^{2}}\mathcal{H}'\right).}$$

Ядная зависимость векторов E_i^* и B_i^* ст импульов позволяет установить, что в общем случае необелевы плосковолновые решения не являются поперечными, т.к.

$$E_i^a p_i = p_a(p_o \mathcal{F}' - \sqrt{p^2} J'); \quad B_i^a p_i = p_a(\mathcal{K}^2 - H^2).$$

Используя калибровку Лоренца $\mathcal{F}_i^a \mathcal{F}_i^a \mathcal{F$

$$\begin{split} & \left(p_{o}^{2} - \vec{p}^{2} \right) \frac{J''}{\mathcal{X}^{2}} + 2 p_{o} \left(\frac{H}{\mathcal{K}} \right)' + 2 \vec{J} \left[1 + \left(\frac{H}{\mathcal{K}} \right)^{2} \right] = 0 ; \\ \vec{p}^{2} \left(p_{o}^{2} - \vec{p}^{2} \right) \frac{\mathcal{K}''}{\mathcal{X}^{2}} + \left(p_{o}^{2} - \vec{p}^{2} \right) \frac{J}{\mathcal{X}}^{2} + \vec{p}^{2} \mathcal{K} \left[1 + \left(\frac{H}{\mathcal{K}} \right)^{2} \right] = 0 ; \\ \vec{p}^{2} \left(p_{o}^{2} - \vec{p}^{2} \right) \frac{H''}{\mathcal{X}^{2}} + \left(p_{o}^{2} - \vec{p}^{2} \right) \frac{J}{\mathcal{H}}^{2} + \vec{p}^{2} H \left[1 + \left(\frac{H}{\mathcal{K}} \right)^{2} \right] = 0 ; \\ p_{o} \left(p_{o}^{2} - \vec{p}^{2} \right) \frac{J''}{\mathcal{Y}^{2}} + 2 \vec{p}^{2} \left(\frac{H}{\mathcal{K}} \right)' + 2 p_{o} \vec{J} \left[1 + \left(\frac{H}{\mathcal{K}} \right)^{2} \right] = 0 . \end{split}$$

Отсюда видно, что эта система существенно упрощается, если ноложить $p_s^2 - \overline{p}^2 = 0$ или $H = \omega \mathcal{K}$, где $\omega - \omega \omega \omega t$. Такие условия, очевидно, следуют из четвертого и первого уравнений. Рассмотрим случай $H = \omega \mathcal{K}$, тогда получим следующую оистему уравнений:

$$(p_0^2 - \vec{p}^2)J'' + 2(1+\alpha^2)JK^2 = 0;$$

$$\vec{p}^2(p_0^2 - \vec{p}^2)K'' + (p_0^2 - \vec{p}^2)HJ^2 + \vec{p}^2(1+\alpha^2)K^3 = 0.$$

При ј = о вти уравнения имеют оледующие решения:

$$\mathcal{K}(px) = \sqrt{\frac{p^2}{1+d^2}} cn(p(x+x_0); \frac{\sqrt{2}}{2}), \text{ воли } p^2 > 0 ;$$

$$\mathcal{K}(px) = \sqrt{\frac{-p^2}{4+d^2}} nc(p(x+x_0); \frac{\sqrt{2}}{2}), \text{ воли } p^2 < 0 .$$

Отоюда следует, что амплитуда и волновое число связаны соотношением

 $\frac{p^2}{1+d^2} = p^2$

Такого вида соотношения характерни для нелинейных волновых уравнений, а сама связь напоминает дисперсионное соотношение для массивной частицы. Последний результат послужил основанием для названия такого вида решений нелинейными массивными волнами.

Вычислим теперь $T_{\mu\nu}$, для указанных решений: $T_{oo} = \frac{(1+\alpha^2)}{g^2} \left[\left(p_o^2 + \vec{p}^2 \right) \mathcal{H}^{\prime 2} + \frac{1}{2} (1+\alpha^2) \mathcal{H}^{\prime 4} \right];$ $T_{oi} = \frac{2 p_o p_i}{g^2} (1+\alpha^2) \mathcal{H}^{\prime 2};$ $T_{ij} = \frac{(1+\alpha^2)}{g^2} \left(\mathcal{S}_{ij} \frac{1+\alpha^2}{2} \mathcal{H}^{\prime 4} + \frac{p_i p_j}{\vec{p}^2} \left[(p_o^2 + \vec{p}^2) \mathcal{H}^{\prime 2} - (1+\alpha^2) \mathcal{H}^{\prime 4} \right].$ Для илотности лагранжиана можно найти следующее выражение:

$$\frac{(1+2^2)}{g^2} \left[p^2 \mathcal{U}'^2 - \frac{1}{2} (1+2^2) \mathcal{U}'' \right].$$

Заметим, что действие для найденных решений бесконечно, т.к.

$$S = \frac{3}{4g^2} (p^2)^{3/2} V \int dt \left[\psi'(t) - \frac{1}{2} \psi'(t) \right],$$

где $\psi(t)=cn(t;\frac{\sqrt{\lambda}}{2})$, и вклад этих решений, пропорциональний е , в фейнмановский интеграл мал. Однеко существуют решения при $\rho^2=o$, например $\mathcal{H}=H=o$, $J=J(\rho x)$ — произвольная функция, для которых S=o . Вектор-потенциал имеет

вид

$$\mathcal{A}_{o}^{a} = \frac{\rho_{a}}{\sqrt{p^{2}}} \mathbf{J} ; \quad \mathcal{A}_{i}^{a} = \frac{\rho_{a}\rho_{i}}{\vec{p}^{2}} \frac{\rho_{o}}{\sqrt{p^{2}}} \mathbf{J}(\rho \times) .$$

Вклад этих решений в фейнмановский интеграл сравним с тем, которий дают тривиальные решения $\mathcal{A}_{r} = 0$, учетиваемие по теории возмущений. Для найденных решений $T_{r} = 0$, следовательно, это нераспространяющиеся волны. Топологический заряд, им соответствующий:

что указывает на возможность интерпретации данных решений как "вакуумных". Заметим, что приведенные решения интересно сравнить с решениями (5.15) и (5.33), (5.34) и (5.43), поскольку асимптотики перечисленных решений уравнений Янга-Миллов, по-видимому, мо гут быть использовачи игт отклании различных моделей вакуума, а также при обоуждении свойств адронной материи при столкновении пучков вноокоэлектрических частиц.

В работе Ковача [22] проанализирована гозможность существования плосковолновых решений уравнений ЯМ без тока для группи SU(3). Следуя этой работе, рассмотрим евклидово пространство и зададим вектор-потенциал следующим образом:

$$A_{i} = i \mathcal{E}_{ijk} k_{j} L_{k} H(\varphi) + i \mathcal{E}_{ijk} \frac{k_{i} k_{p}}{k} Q_{kp} G(\varphi) + i L_{i} k_{\mu} D(\varphi) + i Q_{ij} \frac{k_{i} k_{u}}{k} E(\varphi) + i k_{i} k_{j} L_{j} A(\varphi) + i Q_{rs} \frac{k_{i} k_{s} k_{i}}{k} B(\varphi)$$
 (5.27)

M

$$\int_{4} = -i L_{a} k_{a} C(\varphi) - i G_{a} \ell \frac{k_{a} k_{\ell}}{\ell} F(\varphi) , \qquad (5.28)$$
The $\ell = |\vec{k}|, \varphi = k_{\mu} x^{\prime} = k_{\mu} x^{\prime} + k_{\mu} x^{2} + k_{\nu} x^{3} + k_{\mu} x^{4} , \qquad (33)$

$$\begin{split} & \left(L_{a}\right)_{ij}=i\,\mathcal{E}_{laj}\;;\left(Q_{al}\right)_{j}=\delta_{ai}\,\delta_{lj}+\delta_{aj}\,\delta_{li}-\frac{2}{3}\,\delta_{al}\,\delta_{ij}\;\;.\\ & L_{a}\,\mu\;Q_{al}\;;\text{довлетворяют коммутационным соотношениям}\;;\\ & \left[L_{a},L_{e}\right]=i\,\mathcal{E}_{abc}\,L_{c}\;;\left[L_{a},Q_{gc}\right]=i\left(\mathcal{E}_{cna}Q_{ln}+\mathcal{E}_{lna}Q_{cn}\right);\\ & \left[Q_{al},Q_{ad}\right]=i\left(\delta_{ad}\,\mathcal{E}_{cs}+\delta_{li}\,\mathcal{E}_{acs}+\delta_{le}\,\mathcal{E}_{ads}+\delta_{ai}\,\mathcal{E}_{lds}\right)L_{s}\;\;. \end{split}$$

Отметим, что вектор-потенциал и тензор поля имеют вид

где T° для группы SU(3) — матрицы 3 х 3.

Функции $\mathcal A$, $\mathcal B$, $\mathcal C$, $\mathcal D$, $\mathcal E$, $\mathcal F$, $\mathcal G$; $\mathcal H$ — неизвестные скалярные функции, зависящие только от $\mathcal V= \mathbb R^\infty$. Если положить $\mathcal A=\mathcal B=\mathcal D=\mathcal E=\mathcal F=\mathcal G=0$, то мы придем к более простому результату, который имеет мес. о для группы $SU(\mathfrak L)$. Калибровочное условие Лоренца приводит к уравнениям:

$$D' + \vec{k} A'/k_4 = C';$$

$$E' + \vec{k}^2 B'/k_4 = F'.$$
(5.29)

Здесь штрих означает производную по ϕ . Используч калибровочные условия и полагая, что $\mathfrak{D}=\begin{pmatrix}\mathsf{H}\\\mathsf{G}\end{pmatrix}$ и $\mathsf{E}=\begin{pmatrix}\mathsf{G}\\\mathsf{H}\end{pmatrix}$, придем к оледующей нелинейной системе дифференциальных уравнений на неизвестные скалярные функции:

$$C'' - (2CH^{2} + 2CG^{2} + 8HGF) = 0;$$

$$F'' - 6(CGH + FH^{2} + FG^{2}) = 0;$$

$$H'' - (H^{3} + 7H^{G} + HG^{2} + 4CFG + 4HF^{2}) = 0;$$

$$G'' - (G^{3} + 7H^{2}G + C^{2}G + 4CFH + 4F^{2}G) = 0.$$
(5.30)

В тривиальном олучае группи SU(L), G = F = 0, H = C. Легко видеть, что решать систему (5.30) аналитически весьма затруднительно, поэтому целесообразно развивать качественные и численые методы изучения нелинейных систем такого вида. Важным отправным пунктом исследования рассмотренных систем могут являться граничные условия.

5.3. Решения уравнений Янга-Миллоа с током

Если к лагранжиану, описнавищему систему калибровочных полей, добавить слагаемое $\mathcal{A}_{\mu}^{a}J_{a}^{\mu}$, обусловливающее взаимодействие, то в уравнениях ЯМ в правой части появится ток J_{μ}^{c} . В общем случае ни структура, ни природа этого тока неизвестны, но мы полагаем выполнеными требования лоренцевой ковариантности уравнений ЯМ и можем предположить следующую форму зависимости от \mathcal{A}_{μ}^{a} :

$$J_{\mu}^{a} = J_{\mu}^{a} [0] + 2 A_{\mu}^{a} + \beta_{1} A_{\mu}^{2} + \beta_{2} A_{\mu}^{a} + \beta_{2} A_{\mu}^{a} + \beta_{3} A_{\mu}^{b} + \cdots$$
 (5.31)

Чтобн ток \int_{r}^{a} не нарушал ковариантности уравнений ЯМ с нулевой правой частью, Рассмотрим, как он изменяется при калибровочных преобразованиях вида $\delta \mathcal{A}_{\mu}^{a} = \mathcal{E}_{abc} \; \omega_{e} \; \mathcal{A}_{e}^{c} \; (\; \omega_{e} \; - \; \text{параметр преобразования})$. Тогда получим $\delta J_{\mu}^{a} = [(z+\beta,\mathcal{A}^{2})g_{\mu\nu} + +\beta_{e}\mathcal{A}_{\mu}^{b}\mathcal{A}_{\nu}^{c}] \delta \mathcal{A}_{\nu}^{a}$. Если требовать наличия решений уравчений ЯЛІ без тока вида $\mathcal{A}_{\mu}^{a} = 0$, то величина тока $\mathcal{J}_{\mu}^{a}[0]$ должна быть равна нулю. Таким образом, ток в правой части может иметь вид

$$J_{\mu}^{a} = \mathcal{X} A_{\mu}^{a} + \beta_{1} A_{\mu}^{a} A^{2} + \beta_{2} A_{\mu}^{a} A_{\mu}^{b} + \dots \qquad (5.32)$$

Если ограничиться в данном представлении только первым слагаемым, то соответствующий лагранжиан и уравнения движения поля могут быть инентифицированы, например, с массивным калибровочным полем ЯМ. Что касается природы генерируемой массы поля, то различными авторами она овязнвается о непертурбативными эффектами КХЛ, такими как стохастичность. Таким образом, если параметр 200 . ТО ОН МОЖАТ СНТЬ СВЯЗАН С ЭСФАКТИВНОЙ МАССОЙ ГЛЮОННОГО поля. Заметим, что для КЭД имеется вналогия в физике твердого тела, когда у фотонов в сверхпроводнике появляется эффективная масса. При жосо аналогичная связь между выражением для тока и потенциалеми поля наблюдается при описании светхтекучести. Последнее приводит к отличному от нуля вакуумному состоянию. Наряду с описанной аналогией, указанием для определения неной зависимости тока от вектор-потенциала поля, по-видимому, может олужить наличие в вакууме глюонного конденсата, значение которого вичисляется на основе правил сумм и экспериментальных результатов [23-26].

Как и ранее, потенциалы зададим следующим образом:

$$\mathcal{A}_{o}^{a} = 0 \; ; \; \mathcal{A}_{i}^{a} = \mathcal{E}_{aij} \; s_{j} \; f(1)$$
 (5.33)

или

$$\mathcal{A}_{o}^{a} = o \quad ; \, \mathcal{A}_{i}^{a} = \mathcal{S}_{i}^{a} f(t) \quad , \tag{5.34}$$

где S_j — единичный вектор в цветовом пространстве $\overline{S}^2 = 3$. На вектор-потенциал наложим калибровочное условие

которое ввиду антисимметричности тензора $\mathcal{E}_{\alpha\ell_c}$ переходит в следующее; $\partial_{\mu}\mathcal{A}_{\alpha}^{\ell}=0$ или, в нашем случае, $\partial_{\nu}\mathcal{A}_{\alpha}^{i}=0$. Плотность энергии поля и зектор Умова-Пойнтинга имеют вид

$$\Pi_{j} = (\partial_{0} A_{i}^{a}) \mathcal{F}_{ji}^{a};$$

$$\mathcal{T}_{0.} = \partial_{0} A_{i}^{a} \partial_{0} A_{j}^{a} + \frac{1}{4} \mathcal{F}_{\mu\nu}^{a} \mathcal{F}_{a}^{\mu\nu} - \frac{1}{2} \mathscr{A}_{i}^{a} A_{i}^{a}.$$

Подстановка леного выражения вектор-потенциалов в уравнения Ям совместно с калибровочными условиями приводат к уравнению для функции f(t):

$$\hat{f} - \alpha \hat{f} + g_{*}^{2} \hat{f}^{3} = 0.$$
 (5.35)

Очевидно, что это уравнение имеет стационарные решения, определяемые из условия:

$$-\alpha f[1-g_*^2 f'/\alpha] = 0,$$
 (5.36)

т.е. f = 0 и $f_0^{\pm} = \pm \sqrt{\varkappa}/g_{\varkappa}$. Решения f_0^{\pm} в зависимости от знака \varkappa могут быть как действительными, так и мнимыми. Как известно [27], чисто мнимые потенциалы возможно использовать при описании глюонного поля, но с другим, нежели при действительном значении функции f_0^{\pm} , знаком хромомагнитного поля. Ранее мы указывали на соответствие уравнений f_0^{\pm} при постоянных неабелевых потенциалах и уравнений для конденсатной волновой функции Ψ в теории сверхтекучести Гинзбурга-Ландау [28]. В самом деле, при $\Psi = const$ найдем

$$\Psi(|\Psi|^2 - n) = 0.$$

Откуда следует, что при $f = f_0^{\pm}$ мы имеем соответствие, если положить n — число частиц в почти идеальном бозе-газе, равным \approx/g_{\star}^2 (\approx >0). Заметим, что уравнение для функции f(t) можно получать, формально используя вариационный принцип из лагранживна вида

$$\mathcal{L} = \frac{1}{2} \partial_{\mu} f \partial^{\mu} f - \frac{1}{4} g_{\mu}^{2} (f^{2} - 2e/g_{\mu}^{2})^{2}, \qquad (5.37)$$

или, учитывая зависимость функции f только от времени, получи

$$\mathcal{L} = \frac{1}{2} \dot{f}^2 - \frac{1}{4} g_*^2 (f^2 - \frac{2}{3} g_*^2)^2.$$

Соответствующая классическая механика для полей ЯМ при \approx = o была рассмотрена нами ранее. В этом случае явное вкражение для плотности энергии поля определяется виражением (здесь и далее использована вторая подстановка для вектор-потенциала поля \mathcal{A}_{n}^{α})

$$T_{00} = \mathcal{E} = \frac{3}{2} \left[\dot{f}^2 - \alpha \dot{f}^2 + \frac{1}{2} \dot{g}^2 \dot{f}^4 \right],$$

а вектор Умова-Пойнтинга Π_j равен нулю.

Решение уравнений (5.35) для функции f(t) при $\approx >0$ записывается следующим образом:

$$f(t) = \frac{\sqrt{2}}{3} \frac{k}{\sqrt{2R^2 - 1}} cn \left\{ \left(\frac{2}{x^2} + \frac{83^2}{3} \mathcal{E} \right)^{1/4} (t - t_0) / k \right\}. \quad (5.38)$$

Как и ранее, cn(a/k) — эллиптический косинус, $k = \frac{1}{2} [1 + 2/\sqrt{x^2 + 8g^2 \xi/3}] \in [\frac{1}{2}, 1]$, период найденного решения определяется через полный эллиптический интеграл первого рода $\mathcal{H}(k)$

$$T = \frac{4}{\sqrt[4]{\varpi^2 + 8g^2 \xi/3}} \Re\left(\frac{\sqrt{2}}{2} \sqrt{1 + \varpi/\sqrt{\varpi^2 + 8g^2 \xi/3}}\right).$$
 (5.39)

Если в полученных выражениях (5.38) и (5.39) перейти к пределу $e \to 0$, то мн придем к изученному ранее случаю "безмассового" поля. В другом предельном случае $e^2 \gg g E$, при $e \sim 1$ функция $e \sim 1$ ммеет вид "уединенной" волны:

$$f(t) \cong \frac{\sqrt{2}}{3} \operatorname{ch}^{-1} \left[\sqrt{2} \left(t - t_{o} \right) \right]. \tag{5.40}$$

Отрицательные значения № рассматриваются аналогично, при этом получим

$$f(t) = \frac{\sqrt{|x|}}{9} \frac{k}{\sqrt{1-2k}} cn \left\{ (x^2 + 8g^2 \xi/3) (t-t_0) / k \right\}, \quad (5.41)$$

PIE

$$k^2 = \frac{1}{2} \left[1 - |x| / \sqrt{x^2 + 8g^2 E/3} \right] \in (0; \frac{1}{2}].$$

Выбор второй подстановки (5.34) для вектор-потенциала приводит к тому, что уравнение для функции f(t) имеет вид

$$\hat{f} - \alpha \hat{f} + g^2 \hat{f}^3 = 0$$
, (5.42)

т.е. отличается заменой $g \to g/\sqrt{2}$ от рассмотренного више. Вектор $\Pi_j = 0$, как и прежде.

Далее проведем некоторое обобщение решений, выражающееся в том, что от f(t) мы перейдем к рассмотрению $f(\phi)$, где $\phi = k x$. Это можно осуществить посредством преобразований Лоренца для аргумента функции f и потенциалов. Так, если

последнее приведет к наличию отличной от нуля компоненти $\mathcal{A}_{\mu}^{\alpha}$. Это указывает на то, что потенциали $\mathcal{A}_{\mu}^{\alpha}(px)$, которые мы будем рассматривать ниже, не являются лоренц-преобразованием полученных ранее результатов, а представляют собой новые решения. Таким образом, имеем

$$\mathcal{A}_{o}^{a}=0$$
, $\mathcal{A}_{i}^{a}=\mathcal{E}_{aik}P_{R}f(px)$, (5.43)

Тогда для тензора поля (1.7) имеет место выражение

$$F_{ij}^{a} = \sum_{\alpha i n} p_{n} \omega f', \quad f' = df/d\varphi;$$

$$F_{ij}^{a} = (\sum_{\alpha j n} p_{i} - \sum_{\alpha i n} p_{j}) \sum_{\alpha} f' + g \sum_{i j n} p_{n} p_{\alpha} f'.$$
(5.44)

Уравнение (5.1) в данном случае приводится к виду

$$(\omega^2 - \vec{r}^2) f'' + g^2 \vec{p}^2 f^3 - \infty f = 0.$$
 (5.45)

Умножив (5.45) на р f , получим

$$(\omega^2 - \vec{p}^2) \vec{p}^2 (f')^2 - \varpi \vec{p}^2 f^2 + \frac{1}{2} g^2 \vec{p}^4 f^4 = \mu . \quad (5.46)$$

Уравнение (5.45) имеет структуру, аналогичную с (5.18), однако в (5.46) μ уже не имеет смисла плотности энергии. Действительно, из (5.46) получаем

Другими словами,

Вектор Пойнтинга для потенциалов (5.43) отличен от нуля:

Поиск решений уравнений Янга-Миллса с зависимостью потенциалов от p велся в работах [21, 27, 29]. В них получены решения (5.1) без тока, т.е. для случая $\approx = 0$. В (5.45) он является постоянной величиной.

Для вектора Умова-Пойнтинга найдем

$$\vec{\Pi} = (ga^2/m)^2 \sqrt{\vec{p}^2 + m^2} \vec{p} ,$$

где а - постоянная; $m^2 = \vec{p}^2 \neq 0$

Уравнение (5.46) решвется точно так же, как и (5.18). Действительно, пусть ω^2 — β^2 > 0 , \approx > 0 . Тогда (5.46) приво дится к виду

$$\mathcal{E}_{o} = (f')^{\ell} - x_{o} f^{2} + g_{o}^{2} f^{4};$$

$$g_{o}^{2} = g^{2} \vec{p}^{2} / [2(\omega^{\ell} - \vec{p}^{\ell})];$$

Воспользовавшись результатом [29], для ƒ(р∞) найдем

$$f(px) = \frac{\sqrt{2\pi}}{9|\vec{p}|} \frac{k}{\sqrt{2R^2-1}} cn \left((\omega^2 - \vec{p}^2) (\infty^2 + 2\mu g^2) p(x-\alpha_0) / k \right) (5.47)$$

Вдесь $\ell^2 = 0,5 [1+æ/\sqrt{æ^2+2mg^2}]$.

Не останавливаясь на случае $\omega^2 - \vec{p}^2 > 0$, $\ll < 0$, приведем результать, когда $\omega^2 - \vec{p}^2 < 0$, $\ll > 0$. Имеем

$$f(px) = \frac{\sqrt{2 \pi}}{2|\vec{p}|} \sqrt{\frac{1-k^2}{2k^2-1}} \operatorname{nc} \left\{ (\omega^2 - \vec{p}^2)^{1/2} (\partial e^2 + 2p g^2)^{1/4} p(x-x_0), k_3^2; \right\}$$
(5.48)

$$k^2 = \frac{1}{2} \left[1 + \frac{2}{\sqrt{x^2 + 2mg^2}} \right], \text{ nc}(x,k) = cn^2(x,k)$$

Таким образом, (5.48) является сингулярным решением уравнения Янга-Миллса, т.к. при $\operatorname{Cr}(x,k)=0$ оно расходится. Случай $\operatorname{Re}(x,k)=0$ оно расходится. Случай $\operatorname{Re}(x,k)=0$ оно расходится. Случай $\operatorname{Re}(x,k)=0$ исследуется методом, аналогичным рассмотренному. Для плотности энергии $\operatorname{Tr}(x,k)=0$ найдем выражение

$$T_{eo} = \mu + \frac{2\vec{p}^{2}(\varpi^{2} + 2rg^{2})}{g^{2}(\omega^{2} - \vec{p}^{2})} \left[1 + \frac{\varpi}{\sqrt{\varpi^{2} + 2rg^{2}}}\right] \left(\frac{\operatorname{sn}(u, k)}{\operatorname{dn}(u, k)}\right)^{2},$$

соотнетственно для вектора Умова-Пойнтинга получим

$$\vec{\Pi} = \vec{p} \frac{2\omega(\omega^2 + 2mg^2)}{g^2(\omega^2 - \vec{p}^2)} \left[1 + \frac{2}{\sqrt{z^2 + 2mg^2}}\right] \left(\frac{sn(u,k)}{dn(u,k)}\right)^2$$

где

$$e_1 = p(x-x_0) \frac{(x^2 + 2pg^2)^{1/4}}{\sqrt{\omega^2 - p^2}}$$

Виражение для тока, с которым было проведено решение уравнений ЯМ, является наиболее простым как с точки зрения калибровочной, так и лоренц-ковариантной структуры. Если в разложении для тока Ј, не ограничиваться лишь первым членом, а удержать второй, то соответствующий этому виду тока лагранжиан находится при изучении связи чисто калибровочного поля с хиптсовским триплетом калибровочного поля, как это показано в [10]. При этом потенциальная энергия была такой, что нарушалась локально-калибровочная симметрия (см. (5.6)). Явный вид лагранжиана следующий:

$$\mathcal{L} = -\frac{1}{4} \mathcal{F}_{\mu\nu}^{a} \mathcal{F}_{a}^{\mu\nu} - \frac{1}{4} \lambda \left(\mathcal{A}_{\mu}^{a} \mathcal{A}_{a}^{\mu} + \frac{m^{2}}{4} \right)^{2} . \quad (5.49)$$

Джулия и 8и установили, что при восстановлении калибровочной симметрии m^2 , $\lambda > 0$ и $w^2/\lambda < 0$ для статических полей нулевая компонента вектор-потенциала \mathcal{A}_o^{α} допускает интерпретацию как триплет мнимых хиггсовских полей (ϕ^{α}) , и нвоборот, ϕ^{α} можно рассматривать как мнимов калибровочное поле (\mathcal{A}_o^{α}) . Используя ток \mathcal{J}_o^{α} в виде

$$J_{a} = m^{2} A_{a}^{2} + \beta_{1} A_{p}^{p} A_{p}^{p} A_{a}^{p}, \qquad (5.50)$$

для тензора Тро получим оледующую формулу;

$$T_{\mu\nu} = -F_{\mu\rho}^{a} F_{\nu}^{a\rho} + (m^{2} + \beta_{1} A_{\rho}^{a} A_{a}^{\rho}) A_{\mu}^{\rho} A_{\nu}^{\rho} + g_{\mu\nu} \mathcal{L};$$

$$T_{\mu\nu} = E = \frac{3}{2} \left[\hat{f}^{2} - m^{2} \hat{f}^{2} + (\hat{g}^{2} + 3\beta_{1}/2) \hat{f}^{4} + m^{4}/(6\lambda) \right]$$

Соответствующее уравнение движения для функции 🚽 такое:

$$f + m^2 f + 2(g^2 + 3\beta_1/2)f^3 = 0$$
 (5.51)

Стационарные решения находятся из условия

$$2(g^{2}+3\beta_{1}/2)f\left[f^{2}-\frac{0.5m^{2}}{g^{2}+3\beta_{1}/2}\right]=0, \quad \text{T.e.}$$

$$f=0 \quad n \quad f_{0}^{\pm}=\pm m/\sqrt{2g^{2}+3\beta_{1}}$$
(5.52)

Решение, зависящее от времени, запишется следующим образом:

Решение, занисящее от времени, запишется следующим образом:
$$f(t) = \frac{mk}{\sqrt{(g^2 + \frac{3}{2}\beta_1)(2k^2 - 1)}} \operatorname{cn} \left\{ (4\beta_1 + \frac{8g^2 + \frac{3}{3} - \frac{2}{3} \frac{m^4 g^2}{\beta_1})^{1/4} (t - t_0), k \right\} 5.53)$$
где $k^2 = \frac{1}{2} (1 + m^2) / \sqrt{4\beta_1 + \frac{3}{2} + \frac{3}{2} (1 + m^2)}$

Решение (5.53) довольно простым образом может быть получено модификацией уже найденных решений.

5.4. Решения уравнений Янга-Миллса в мнимом времени

Исследование свойств постоянных решений 🐈 , найденных нами ранее (см. (5.36)), удобно провести, используя решение (5.1) в мнимом времени. В этой связи гместо рассмотренного выше лагранжиана введем отличающийся от него на постоянную:

$$\mathcal{L} = -\frac{1}{4} \mathcal{F}_{a}^{r} \mathcal{F}_{\mu\nu}^{a} - \frac{1}{2} \approx (3 \approx /4g^{2} + A_{\mu}^{a} \mathcal{H}_{a}^{r})^{2} . \qquad (5.54)$$

Как известно, такая замена не отражается на уравнениях движения, но энэргия системы сдвигается на постоянную

$$\mathcal{E}_{1} = \frac{3}{2} \left[\hat{f}^{2} - 2 \hat{f}^{2} + \hat{g}^{2} \hat{f}^{4} + \frac{2}{4g^{2}} \right]$$

Тогда решение для "нового" лагранживна получается простой заменой

$$\mathcal{E} \to \mathcal{E}_1 - 3x^2/8g^2$$
; $x^2 + 8g^2 \mathcal{E}/3 \to 8g^2 \mathcal{E}_1$;
 $k^2 \to k^2 = \frac{1}{2} \left[1 + x / \sqrt{8g^2 \mathcal{E}_1 / 3} \right]$.

К этой замене будет чувствителен лишь предельный переход к решеило типа "уединенной" волим. Легко видеть, что ф

решение с нулевой энергией $\mathcal{E}_{i}=o$, но отвечают физически различным состояниям. Решения, связывающие эти различные состояния, находятся довольно просто в евклидовом пространстве, переход к которому осуществляется в комплексной плоскости:

$$A_i^a \rightarrow -A_i^a$$
; $A_o^a \rightarrow -i A_i^a$. (5.55)

Указанное преобразование (5.55) не затрагивает вида виражения для $\widetilde{\mathcal{F}}_{\mu\nu}^{a}$ и ковариантной произведной. Тензор энергии импульса имеет вид

$$\widetilde{T}_{\mu\nu} = \widetilde{\mathcal{F}}_{\mu\nu}^{\alpha} \, \widetilde{\mathcal{F}}_{a}^{\mu\nu} + \mathcal{Z} \, \widetilde{\mathcal{A}}_{\mu}^{\alpha} \, \widetilde{\mathcal{A}}_{\nu}^{\alpha} + g_{\mu\nu} \, \widetilde{\mathcal{Z}} \, ,$$

в силу чего уравнение движения примет следующую форму:

Эдесь $f = df/d\tau$, $\alpha > 0$, $\tau = it$, соответственно энергия равна

 $\mathcal{E} = \frac{3}{2} \left[\hat{f}^2 + x \hat{f}^2 - y^2 \hat{f}^4 - x^2 / 4 y^2 \right]$

Мы пришли к задаче, подробно исследованной вработах [17, 30], где, в частности, обсуждается классическое движение скалярной частицы единичной массы в потенциале:

$$U(f) = -\frac{1}{2}g^2(f^2-\eta^2)^2$$
, $\eta^2 = \frac{\alpha}{2}g^2$

Соответствующее решение, удовлетворяющее $\mathcal{E}=\circ$ и начальным условиям, $f(\tau \to \pm \infty) = \pm (\mp \eta)$, дается формулой

$$f(\tau) = \pm \frac{1}{9} \sqrt{\frac{2}{2}} \operatorname{th} \left(\sqrt{\frac{2}{2}} \left(\tau - \tau_0 \right) \right). \tag{5.56}$$

Суть решения (5.56) в евилидовом пространстве для (5.1) состоит в том, что его эсимптотики- постоянные потенциали:

$$\mathcal{A}_{1}^{f} = \pm \frac{1}{g} \sqrt{\frac{2}{2}} (0,1,0,0);$$

$$\mathcal{A}_{2}^{f} = \pm \frac{1}{g} \sqrt{\frac{2}{2}} (0,0,1,0); \quad \mathcal{A}_{3}^{f} = \pm \frac{1}{g} \sqrt{\frac{2}{2}} (0,0,0,1). \quad (5.57)$$

Ранее такие вектор-потенциалы вводились в серии работ [31-34] без обсуждения их связи с решениями уравненый ЯМ. Это решение обладает положительным евклидовым действием (для одномерного пространства) и описывает туннелирование между двумя нетривиальными вакуумами, существующими для потенциала U(f) при $\mathcal{X} > O$. Плотность действия имеет вид

$$S_{E} = \frac{3}{2} V \int_{-\infty}^{\infty} \left[\dot{f}^{2} - \alpha \dot{f}^{2} + g^{2} \dot{f}^{4} + \frac{\alpha^{2}}{4g^{2}} \right] d\tau = V \sqrt{2} \alpha^{3/2} / g^{2}. \quad (5.58)$$

Постоянные однородные поля как решения уравнений Янта-Миллса

Определение постоянных однородных (трансляционно-инвариантных) полей для неабелевых калибровочных теорий не является столь тривиальным, как в теории электромагнетизма. Это обусловлено тем, что тензор поля при калибровочных преобразованиях вектор-потенциала

$$A_{\mu}(x+\delta x) = g'(x,x+\delta x)A_{\mu}(x)g(x,x+\delta x) + ig'(x,x+\delta x) \partial_{\mu}g(x,x+\delta x)$$

преобразуется к виду

$$\mathcal{F}_{\mu\nu}(x+\delta x) = g'(x,x+\delta x) \mathcal{F}_{\mu\nu}(x) g(x,x+\delta x)$$
.

Таким образом, мы видим, , что постоянное поле \mathcal{F}_{μ} может быть получено в том случае, когда вектор-потенциал \mathcal{A}_{μ} в общем случае представим следующим образом:

$$A_{\mu} = a_{\mu} + f_{\mu\nu} x^{\nu}, \qquad (5.59)$$

где а и ф - поотоянные вектор и тензор.

Кык лдно из приведенного представления вектор-потенциала, по-

стоянные поля можно задать двумя различными калибровочно-неэквивалентными способами: с помощью абелевых линейных по координатам потенциалов и с помощью неабелевых постоянных потенциалов. Заметим, что такая неоднозначность задания полей предусматривалась еще ВУ и Янгом [9].

В первом случае, например при $\alpha_{r} = \delta_{3}^{\alpha} + \delta_{r}^{\alpha}$, мы имеем абелевы линейные по x потонималы, которые задают одноком-понентное абелево однородное поле

$$\mathcal{F}_{\mu\nu}^{\alpha} = \mathcal{S}_{3}^{\alpha} \mathcal{F}_{\mu\nu} \quad , \quad \mathcal{F}_{\mu\nu} = -2 \mathcal{F}_{\mu\nu}^{3} \quad . \tag{5.60}$$

Во втором способе имеем $f_{\mu\nu} = 0$, $a_{\mu} \neq 0$, $\partial_{\nu} a_{\mu} \equiv 0$ — неабелеви постояние потепциалы a_{μ} (например, решения уравнений ЯМ f_{ν}^{\pm} , указанные нами раньше), которые задают однородное поле

$$\mathcal{F}_{\mu\nu}^{\alpha} = -g \, \mathcal{E}_{abc} \, \alpha_{\mu} \, \alpha_{\nu}^{c} \, . \tag{5.61}$$

Очевидно, что в группе SU(2) постоянные неабелевы векторпотенциалы в изотопическом пространстве могут быть классифицированы в соответствии с собственными значениями матрици.

$$Y_{ab} = -\mathcal{H}_a^{f} \mathcal{H}_{f}^{b} , \qquad (5.62)$$

где α , ℓ = 4,2,3; μ = 0,4,2,3. Как видно из сравнения с электродинамикой (абелевой U(4) теорией) и соответствующей задачей классил кании полей (см. § 2, формулу (2.3) и ниже), в неабелевом
случае даже влассирикация постоянных полей оказывается более
сложной и содержательной. Считая, что сбичние способи задачия
постояних абелевих полей хорошо известни (см., на фимер,
[35, 33]), рассмотрим некоторые возможности задания полей
себственними значениями матрицы χ_{α} . Ми приведем такие способи

при условии, что Калу У равен двум и трем.

а) Пусть $\lambda_1 < 0$, $\lambda_2 > 0$, $\lambda_3 = 0$, с. з. матрицы $Y_{\alpha \xi}$, тогна

$$A_{1}^{f} = (\sqrt{-\lambda_{1}}, \vec{o}); A_{2}^{f'} = (0, \sqrt{\lambda_{2}}, 0, 0); A_{3}^{f'} = (0, \vec{o}).$$
 (5.63)

определяют хромоэлектрическое поле:

$$\mathcal{F}_3^{01} = -\mathcal{F}_3^{10} = \mathsf{E}_3^{\infty} = \sqrt{-\lambda_1 \lambda_2}$$

d) $\operatorname{Hpm} \lambda_1 > 0$, $\lambda_2 > 0$, $\lambda_3 = 0$ имеем

$$A_{1}^{\mu}=(0,\sqrt{\lambda_{1}},0,0); A_{1}^{\mu}=(0,0,\sqrt{\lambda_{2}},0); A_{3}^{\mu}=\lambda(1,0,0,1), (5.64)$$

получим

$$\mathcal{F}_{3}^{12} = \mathcal{B}_{3}^{x} = \sqrt{\lambda_{1}\lambda_{2}};$$

$$\mathcal{F}_{2}^{01} = \mathcal{E}_{2}^{x} = \mathcal{F}_{2}^{31} = \mathcal{B}_{2}^{3} = \omega\sqrt{\lambda_{1}};$$

$$\mathcal{F}_{1}^{01} = \mathcal{E}_{1}^{3} = \mathcal{F}_{1}^{32} = \mathcal{B}_{1}^{x} = -\omega\sqrt{\lambda_{2}};$$

В том случае, когда Rong Y = 3, получим

a)
$$\lambda_{1} \neq 0$$
, $\lambda_{2} \neq 0$, $\lambda_{3} \neq 0$;
 $\mathcal{A}_{1}^{P} = (\sqrt{-\lambda_{1}}, \vec{0})$, $\mathcal{A}_{2}^{P} = (0, 0, \sqrt{\lambda_{2}}, 0)$;
 $\mathcal{A}_{3}^{P} = (0, 0, 0, \sqrt{\lambda_{3}})$; $\mathcal{F}_{3}^{O2} = \mathcal{E}_{3}^{\mathcal{F}} = \sqrt{-\lambda_{1}\lambda_{2}}$,
 $\mathcal{F}_{2}^{O3} = \mathcal{E}_{2}^{\mathcal{F}} = -\sqrt{-\lambda_{1}\lambda_{3}}$; $\mathcal{F}_{1}^{23} = \mathcal{B}_{1}^{\mathcal{F}} = \sqrt{\lambda_{2}\lambda_{3}}$.
B) $\lambda_{1}, \lambda_{2}, \lambda_{3} \neq 0$;

$$A_{1}^{f}=(0,\sqrt{\lambda_{1}},0,0); A_{2}^{f}=(0,0,\sqrt{\lambda_{2}},0); (5.66)$$

$$\begin{aligned} \mathcal{A}_{3}^{P} &= (0,0,0,\sqrt{\lambda_{3}}); \\ \overline{\mathcal{F}}_{3}^{i2} &= \mathcal{B}_{3}^{\neq} &= \sqrt{\lambda_{1}\lambda_{2}}; \quad \overline{\mathcal{F}}_{2}^{i3} &= -\mathcal{B}_{2}^{\neq} &= -\sqrt{\lambda_{2}\lambda_{1}}; \\ \overline{\mathcal{F}}_{1}^{e3} &= \mathcal{B}_{1}^{\neq} &= \sqrt{\lambda_{2}\lambda_{3}} \end{aligned}$$

5.6. Взаимодействие полей

Янга-Миллса с полями Хитгса

Рассмотрим некоторые общие свойства решений уравнений ЯМ, которые следуют из ограниченности энергии. Симметричный тензор энергии-импульса имеет вид (2.4)

$$T_{\mu\nu} = -\mathcal{F}_{\mu\rho}^{\alpha} \mathcal{F}_{\nu\alpha}^{\rho} + \frac{1}{4} g_{\mu\nu} \mathcal{F}_{\tau\rho}^{\alpha} \mathcal{F}_{\alpha}^{\tau\rho} , \qquad (5.67)$$

причем легко видеть, что 3° $T_{rv} = 0$. Если для пространства M_4 мн откажемся от условия, что его размерность — четыре и положим ее равной n, то при рассмотрении поставленной задачи будут полезными величины:

$$T_{oc} = \mathcal{E} = \frac{1}{2} F_{no}^{a} F_{a}^{no} + \frac{1}{4} F_{kl}^{a} F_{a}^{kl} ;$$

$$T_{m}^{f} = \frac{1}{4} (n-3) F_{pv}^{a} F_{a}^{pv} ;$$

$$T_{cj} = F_{no}^{a} F_{a}^{nj} ;$$

Очевидно, что условие конечности энергии системы означает следующее:

$$\int_{V_n} T_{ood} = \int_{V_n} d^n x \left[\frac{1}{\lambda} F_{no}^a F_a^{no} + \frac{1}{4} F_{k\ell}^a F_a^{k\ell} \right] < const. \quad (5.68)$$

Перейдем в и -мерном пространстве к и-мерной полярной системе

координат:

$$x_{i} = x \cos \varphi_{i}; x_{i} = x \cos \varphi_{i} \int_{2i}^{1-1} \sin \varphi_{i}; L = 2, ..., n-1;$$

$$x_{n} = x \int_{3^{2i}}^{1-1} \sin \varphi_{i}, \qquad (5.69)$$

THE

$$x \in [0, +\infty]$$
; $\varphi_i \in [0, \pi]$ при $i = 1, ..., n-2$, $\varphi_{n-i} \in [0, 2\pi]$. Таким образом, $\sum_{i=1}^{n} x_i^2 = x^2$, а элемент объема равен $d^n x = x^{n-i} dx \prod_{i=1}^{n} (\sin \varphi_i)^{n-i-i} d\varphi_i$. Отоюда следуот, что для сходимости интеграла (5.68), т.е. удовлетворения условия конечности энергии, необходимо выполнение неравенства

$$\left|\frac{1}{2}\mathcal{F}_{no}^{a}\mathcal{F}_{a}^{no}+\frac{1}{4}\mathcal{F}_{k\ell}^{a}\mathcal{F}_{a}^{k\ell}\right|<\frac{1}{2^{n+\epsilon}}, \forall \epsilon > 0.$$
 (5.70)

Одновременно требуетоя, чтобы компонента тензора Т не имела сингулирностей по т и ψ_i (i=1,...,n), при которых соответствующий интеграл расходится. Данее, предполагая решения урсвнений
ям достаточно гладкими (вместе со своими производными), получим
следующее условие для поведения тензора поля на бесконечности:

$$\mathcal{F}_{a} \rightarrow \mathcal{O}\left(\frac{1}{\chi^{\frac{n}{2}+8}}\right), \quad \forall \; \epsilon > 0 \; . \quad (5.71)$$

Заметим, что условие гладкости решений, строго говоря, ниоткуда не следует (необходимо лишь убивание на бесконечности и отчутствие сингулярностей). Это условие сопряжено с тем, что ми не умеем искать решения слежних нелинейних задач в общем виде и из свеего опита предполагаем некоторие физически разумные свойства у решений уравнений движения и тензора поля.

Исследуем отатистические решения уравнений ЯМ о конечлой энергией в статистической калиоровка. Уравнения движения (5.1) примут вид

$$g^{\ell} \mathcal{F}_{\ell 0}^{a} - g \mathcal{E}_{\ell 0} \mathcal{F}_{\ell}^{\ell} \mathcal{F}^{c \ell 0} = 0. \tag{5.72}$$

Умножая это уравнение на \mathcal{A}_{\circ} , получим

Вычислым величину

$$\operatorname{Tz}\left\{\int d^{n}x\left[\partial^{k}A_{o}^{a}F_{ko}^{a}-F_{ko}^{a}\left(\partial^{k}A_{o}^{a}\right)-\right.\right.$$

$$\left.-gF^{cko}\epsilon_{abc}A_{k}^{b}A_{o}^{a}\right]\right\}=0,$$
(5.73)

HO

т.о. $E_k^a = \overline{f}_{ko}^a = 0$, откуда с учетом калибровочных преобразований получим справедливость равенства (5.73) для статического решения в любой калибровке.

Далее рассмотрим выражение

но $\partial^{\mu}T_{\mu\nu} = 0$, т.о. $\partial^{\nu}T_{\nu k} + \partial^{\nu}T_{\nu k} = 0$, следовательно,

$$\partial^{\ell}(x^{k}T_{\ell k}) = T^{k}_{k} + x^{k}(-\partial^{\circ}T_{\circ k}),$$

а т.к. решения не зависит от времени, то $T_{ab} \neq T_{ab}(t)$

$$\mathbf{H} \qquad \mathbf{\partial}^{\ell}(\mathbf{x}^{k} \mathbf{T}_{\ell k}) = \mathbf{T}^{'}_{k} = 0$$

и, следовательно,

$$\int_{0}^{\infty} d^{n}x \left(\int_{0}^{\infty} x^{n} T_{0k}^{n} \right) = \int_{0}^{\infty} d^{n}x T_{0k}^{n} = 0 . \quad (5.74)$$

Воспользовавшись соотношением $T_{\mu}^{\mu} = T_{\mu}^{\mu} + T_{\nu}^{\circ}$, из (5.74) по-

$$\int_{0}^{n} x T^{k}_{R} = \int_{0}^{n} x \left[T^{r}_{r} - T^{o}_{o} \right] =$$

$$= \int_{0}^{n} x \left[(2-n) \mathcal{F}_{ko}^{a} \mathcal{F}_{a}^{ko} - \frac{1}{2} (4-n) \mathcal{F}_{ek}^{a} \mathcal{F}_{a}^{k} \right] = 0$$

с учетом доказанного выше $\int (\mathcal{F}_{k_0}^a \mathcal{F}_{k}^{k_0}) d^n x = 0$, откуда имеем $(4-n) \int (\mathcal{F}_{k_0}^a \mathcal{F}_{k}^{\ell k}) d^n x = 0$. (5.75)

Равенство (5.75) при $n \neq 4$ верно только при $\mathcal{F}_{\ell k}^{\alpha} = 0$, а при n = 4 тензор поля необязательно должен быть нулевым. Тем самым доказано утверждение, что для теории поля Янга-Миллоа без взаимодействия с другими полями нетривиальные статические решения существуют только для пространства размерности 4. Если ми хотим построить статические решения в пространствах иной размерности, то необходимо проводить учет взаимодействия полей ЯМ с материальными полями.

Перейдем теперь к обсуждению некоторых моделей КТП, учитнвающих разимодействие полей Яй со скалярным полем (модель Хиггса). В этом случае явный вид лагранжиана $\mathcal{SU}(\mathfrak{D})$:

$$\mathcal{L} = -\frac{1}{4} \mathcal{F}_{\mu\nu}^{a} \mathcal{F}_{a}^{\mu\nu} + \frac{1}{2} (\mathcal{D}_{\mu} \varphi^{a}) (\mathcal{D}^{\mu} \varphi_{a}) - U(\varphi) . \quad (5.76)$$

Потенциал $U(\varphi)$ — полином степени не выше 4 (это условие налагается для того, чтобы клантованняя теория была перенормируемой), для простоты скалирное поле φ^a выбрано действительным. Положим $U(\varphi) = \frac{1}{4} \lambda \left(\frac{m^2}{\lambda} - \varphi^2\right)^2$, тогда легко видеть, что $U(\varphi) = 0$ при $|\varphi| = \sqrt{m^2/\lambda}$, и этот потенциал имзет лебо два минимума на действительной осе $|\varphi|$ (при $m^2/\lambda > 0$), либо один (при т²/1 <0).

Далее, если определить классический вакуум как решение, обеспечивающее минимум энергии полей для рассматриваемой модели, то, учитывая самосогласованные решения уравнений движения полей ЯМ и Хисгоа;

$$\mathcal{D}_{\mu} \mathcal{F}_{a}^{\prime f} = g \, \varepsilon_{abc} \, \varphi^{b} \left(\, \mathcal{D}^{\prime} \varphi^{c} \, \right) \, ; \qquad (5.77)$$

$$D_{\mu} D^{\mu} \varphi^{a} = -(m^{2}/\lambda - \varphi^{2}) \varphi^{a} \lambda, \qquad (5.78)$$

получаем возможные статические решения для хиггоовского сектора; $\varphi^a = 0$, $\varphi^a = \kappa^a \sqrt{\kappa^2/\lambda}$ (κ^a — единичний вектор в изотопическом пространстве). Оченидно, условие постоянства φ^a при $\forall z$ можно ослабить, заменив требованием стремления φ^a к этим постоянным решениям при неограниченном возрастании z. Итак, ми пришли к тому, что $\varphi^a = \kappa^a \sqrt{\kappa^2/\lambda}$ — множество вакуумов, а вноор фиксированного направления в изотопическом пространстве нарушает группу симметрии SU(z). Вноор такого направления — спонтанное нарушение симметрии. Заметим также, что здесь мы имеем дело с понижением симметрии при переходе от единственного неустойчивото минимума в нуле (для SU(z)) к неединственному устойчивому минимуму при $\kappa^a \sqrt{\kappa^2/\lambda}$, что носит название спонтанного нарушения симметрии (т.к. в итоге мы приходим к группе U(4)).

Рассмотрим одно из простих решений уравнений $\Re I$, имеющих монопольную структуру и приводящих к нарушению симметрии. $SU(2) \rightarrow U(1)$ — оамодуальний монополь Богомольского, Прасада, соммерфильда [37]. Сначаля виберем удобную калибровку. Иля вектор-потенциалов поля возымем подстановку в виде (5.9). Тогда, как отмечалось раное (ом. формулу (3.7)), можно построить такую функцию g(x), что вектор φ^{α} (направленний вдель радиуса вектора χ^{α}) и третья изотопическия ось будут наралдельны

в каждей точке пространства. Это дополнительное условие будем называть унитарной калибровкой. Положим

$$g = \exp\left(\frac{i}{2}\vec{G}\vec{e}_{\varphi}\theta\right) = \cos\frac{\theta}{2} + i\vec{G}_{\varphi}\sin\frac{\theta}{2}$$
, (5.79)

где $G_{\varphi} = (G_{\varphi}); G_{\varphi} -$ единичний азимутальний вектор в сферической системе координат: $T(\tau,\theta,\varphi)$. Преобразование (3.7) приводит к оледующему явному выражению для компонент вектор-потенциала;

$$\mathcal{A}_{\alpha}^{\alpha} = i \, \delta_{\alpha}, \, f/g \, r$$
;

 $\vec{\mathcal{A}}^{\alpha} = -\frac{k}{g \, r} \left\{ \delta_{\alpha}, \left(\vec{e}_{\phi} \cos 2 \phi + \vec{e}_{\sigma} \sin \phi \right) + \right.$
 $\left. + \delta_{\alpha z} \left(\vec{e}_{\phi} \sin \phi - \vec{e}_{\sigma} \cos \phi \right) \right\} - \delta_{\alpha z} \, \frac{\vec{e}_{\phi} \, t_{\beta} \, \vec{e}_{z}}{g \, r} \, t_{\beta} \, \vec{e}_{z}$

Выражение для $\vec{\mathcal{A}}^{\alpha}$ оингулярно вдоль нати неправления $\theta = 0$

Выражение для \mathcal{A} сингулярно вдоль нити направления θ = π , в силу чего эта калибровка иногда называется струнной, т.к. обнаруженний в 1931 году П.А.М.Дираком [6] в КЭД монополь имеет характерную сингулярность для потенциала вдоль струни. Более того, $\mathcal{A}_3 = -\frac{2}{9^2}$ у $\frac{\theta}{2}$ может быть поставлен в соответствие вектор-потенциалу монополя Дирака, если положить $g_m = -1/g$. Перейдем к построению монополя БПС. Энергия системы запишется в виде

$$28 = \int d^{3} \left\{ \vec{E}^{2} + \vec{B}^{2} + (\mathcal{D}_{o} \phi^{2})^{2} + (\vec{\mathcal{D}} \phi^{2})(\vec{\mathcal{D}} \phi^{2}) + \frac{1}{2}(\phi^{2} - \frac{m^{2}}{\lambda})^{2} \right\} (5.81)$$

Для вектора \vec{B} из тождества Якоби и ковариантного дифференцирования следует (\vec{D} \vec{B}) , потребуем также выполнения условия

$$\lim_{\gamma \to \infty} \int_{-\infty}^{\infty} d^2S(\vec{n} \cdot \vec{B}^{\alpha}) \phi^{\alpha} = 4\pi g \sqrt{m^2/\lambda} , \qquad (5.82)$$

гда 🛪 - единичнич вектор вношней нормали; 🕉 - элемент

площади.

Используя эти свойства, после интегрирования (5.81) по частям получим

$$2\mathcal{E} \geqslant \int d^{3}x \left[\vec{B}^{2} + \left(\vec{D} \varphi^{\alpha} \right)^{2} \right] = \int d^{3}x \left(\vec{B}^{\alpha} \pm \vec{D} \varphi^{\alpha} \right)^{2} \mp 4\pi g \sqrt{\frac{m^{2}}{\lambda}} , (5.83)$$

т.е. $8 \ge |4 \sqrt[3]{m^2/\lambda}|$. Это приводит к уравнениям первого порядка (условие Богомольного)

$$\vec{B}^{\alpha} = \mp \vec{D} \varphi^{\alpha} . \tag{5.84}$$

Условие (5.84) соответствует ранее сформулированному условию самодуальности

которое с учетом его явного выражения в подстановие (5.9) и явного выражения (5.17) и (5.18) приводит к уравнениям:

$$1 - f^{2} + \tau f' = \tau l' - l - l f;$$

$$- f' = l f / \tau.$$
(5.85)

С учетом соответствия Джулич-Зи [IO] и соотношения

$$A_0 \xrightarrow{\chi \to \infty} in \sqrt{m^2/\lambda}$$

придем к асимптотическим решениям (при 1 ->>>) урагнений (5.85):

$$f = \sqrt{m^2/\lambda} r/8h(\sqrt{m^2/\lambda} r);$$

 $l = -1 + \sqrt{m^2/\lambda} r ch(\sqrt{m^2/\lambda} r),$
(5.86)

при которых, очевидно, достигается граница Богомольного для энергля системы &

Перейдем к рассмотрению монополи Полякова-Тхуфтэ [3.]. Как и ранее, выберем полстановку в виде (5.9) и воспользуемся соответствием д жулия-Зи, тогда

$$f_0^a = i\phi^a = in^a l(r)/gr;$$
 $f_0^a = i\phi^a = in^a l(r)/gr;$

(5.87)

 $f_0^a = \epsilon_{ii} n_k (1 - f(r))/gr.$

Переходя к переменной с = е , получим уравнение поля:

$$\ell'' - \ell' + (m^2 e^{\frac{2}{3}} - 2f^2)\ell - v^2 \ell^3 = 0;$$

$$f'' - f' + (1 - \ell^2)f - f^3 = 0,$$
(5.88)

где $v^2=\lambda/g^2$; штрих означает производную по \mathfrak{F} . Как видно, система уравнений поля (5.88) сложна, но можно ее упростить. Если в каждом из уравнений пренебречь взаимодействием (последнее можно осуществить либо при $\tau \to 0$ ($\mathfrak{F} \to -\infty$), налагая условие $\ell(\tau) \to 0$, либо при $\tau \to \infty$ ($\ell \to \infty$), полагая $\ell \to 0$, т.к. эти требования следуют из необходимости ограниченности энергии системну, то полученные уравненги для каждой из функций $\ell(\tau)$ и $\ell(\tau)$ —

известные уравнения Эмдена-Фаулера [39]. Поэтому можно ожидать, что существуют решения (5.88), удовлетворяющие граничным условиям:

Класс функций, в которых описнваются такого вида решения эсть произведение функции Якоби на степенную функцию. Таким образом, $\ell(\tau) \sim a \, \tau^2 \, sn^{\ell}(\tau^{\ell} \theta; k_*); \, f(\tau) \sim C \, \tau^{\ell} cn^{\ell}(d \, \tau^{\ell}; k_*),$ $e \, \tau^{\ell} dn^{\omega}(m \, \tau^{\ell}; k_*)$, где параметр k_1 обусловлен нелинейностью и при малих τ мал, в то время как при $t \to \infty$, $k_1 \sim 1$. Отмеченная возможность описания решений $\ell(\tau)$ и $f(\tau)$, по-вадимому, обусловлена симме рией задачи, определяемой типом нелиней— ности теории, а также выбором подстановки (5.9). Результати реше-

ния системи уравнений для $C(\tau)$ и $f(\tau)$ с заданиеми внше граничними условиями, а также подстановка асимптетик (5.89) в областях о и ∞ (по τ) показывает, что хигтсовское поле отличается от вакуумного решения следующим образом:

(где $m_{\rm W} = {\rm mg}/\sqrt{\lambda}$), соответственно отклонение от вакуума калибровочного поля

Точное решение для монополя Полякова получить не удается, но даже приведенные результаты указывают, как изменяются решения в зависимости от расотояния. В нуле существует постоянное калибровочное поле и отсутствует поле Хиггса, при больших расотояниях исчезает калибровочное поле и появляется хиггсевское поле, т.е. при м т ≥ 4 имеется гонденоат

т - масса векторних частиц.

В результате мы получаем некотороо решение для модели взаимодействующих нолей ЖН и Хиггса, но утнерждение, что это - мононоль, еще преждевременно. Для того, чтобы убедиться в этон, перейдем в унитарную (струнную) калибровку.

Определям тензор поля 🛼 (в обозначениях Тхуфта):

$$\mathcal{F}_{\mu\nu} = \mathcal{F}_{\mu\nu}^{\alpha} \varphi_{\alpha} - \frac{i}{9\phi^{3}} \mathcal{E}_{\alpha\beta\epsilon} \varphi^{\alpha} \mathcal{D}_{\mu} \varphi^{\beta} \mathcal{D}_{\nu} \varphi^{\epsilon} , \qquad (5.90)$$

который пороходит в вистенной подстановке в тензор

$$\mathcal{F}_{\mu\nu} = -\frac{1}{9} \, \epsilon_{\alpha \beta c} \, n^{\alpha} \, (\partial_{\mu} \, n^{\beta}) (\partial_{\nu} \, n^{c}) \,,$$

T. 0.

Соответственно в унитарной калибровке будет

H T.R.
$$\varphi_a = \delta_{as}$$
, $\partial_\mu \varphi = 0$, $A_\mu = A_\mu^3$,

то $\vec{\mathcal{A}}_3 = -\vec{\epsilon}_p \, t_g \, \frac{\theta}{2} \, / g \, z$, т. ө. имеем монополь. Используя то-

$$k_{p} = \frac{1}{8\pi} \, \epsilon_{pupe} \, \epsilon_{alc} \, (\partial^{n} n^{a}) (\partial^{s} n^{l}) (\partial^{s} n^{c}), \qquad (5.91)$$

который сохраняется $\partial^{n} R_{n} = 0$ в силу антисыметрии тензора \mathcal{E}_{n} в отличие от нетеровского тока, для которого условие сохранения выполняется как следствие структуры лагренямана или уравнений движения, получим топологический заряд

$$n = \frac{1}{8\pi} \int k_0 d^3x = 1$$
. (5.92)

Энергил монополя Полякова-Тхуфта конечна, а ее значение имеет вид (с попользованием компьютерных вычислений)

где $\mathcal{A} \in [1;1,8]$ при $\lambda \in (0,\infty)$. Укажем, что в предельном олучае при $\lambda \to 0$ в постоянных m и g имеется интересное решение системы для функций $\ell(x)$ и f(x) с единичным топологическим зарядом

Это решение для монополя Полянова-Тхуфта в пределе Прасада-Соммерфильда (сравни с (5.86)).

Выше мы рассмотрели топологически нетривиальные решечия -

монополи. Их цокеление в теории, скорее, необходимость, чем экзотика, т.к., например, хорошо известно о квантовании зарядов
в КЭД и КХД, что указивает на их теоную связь благодаря спонтанному нарушению (полупростой) группи омиметрии. Заметим также, что в теориях большого объединения (ВТС) существование монополя может привести к физически наблюдаемым еффектам — несохранению квантовых чисел (например, катализу распада протона —
вффект Рубакова [40]).

 5.7. Самосогласованние решении уравнений движения калиброгочных полей и полей Хиггса

Выше мы показали, что взаимодействие полей ЯМ с полими Хиггса может приводить к топологически нетривиальным структурам — менополям. Поэтому представляет интерес псиск точных решений соответствующих уравнений движения калибровочных полей, взаимодействующих с полями Хиггса. В литературе [41] рассматривалась задача нахождения самосогласованных решений нелинейной аселерой электродинамики со спинарными частицами в киральном пределе со специально выбранным типом нелинейности $\lambda \mathcal{A}_{\kappa} (A \cdot A)$:

$$\Box A_{r} = \partial_{r} (\partial A) - e \Psi \gamma_{r} \Psi + \lambda A_{r} (A \cdot A); \gamma_{r} (\partial^{r} + i \in A^{r}) \Psi = 0.$$

новый член не меняет конформной инвариантности слотемы, позволимей находить решения, связанные друг с другом специальними
конформными преобразованиями. Среди найденных решений известно
решение в виде плоских воли $\Psi = Xe^{ikx}$, отвечающее постоянному
вестору $k = e A_{c}$, где $k = e A_{c}$, г

случае влияние рнешнего поля сводится к изменению диспеременного соотношения для энергии "кварка".

 Нахождение решений для U(1) калибровочных полей, взаимодействующих се скалярными частицами.

В данной части мы будем изучать отстемы, описываемые следующим модельным лагранжианом;

$$\mathcal{L} = -\frac{1}{4} \mathcal{F}_{\mu\nu} \mathcal{F}^{\mu\nu} + \frac{1}{2} |\partial_{\mu} + i e \mathcal{A}_{\mu}|^{2} - U(\psi), \qquad (5.93)$$

где $\mathcal{F}_{\mu} = \partial_{\mu} A_{\mu} - \partial_{\mu} A_{\mu}$; $A_{\mu} - 4$ -вектор потенциал; $U(\psi)$ - по-

а/ Модель ф .

В этом случае функция $U(\phi)$ имеет выражение

$$U(\varphi) = -\frac{1}{2} m^2 |\varphi|^2 + \frac{1}{4} \lambda |\varphi|^4 . \qquad (5.94)$$

Такой вид функции U интересен тем, что вакуум поля оказывается ненулевим $|\Psi_{\rm BAK}| = \frac{\infty}{\sqrt{\lambda}}$. Аналогичная модель рассматривается, например, при получении вихревых релений типа Гинабурга-Ландау в теории сверхироводимости второго рода ([28]), а также при поотронии струнних решений в абелевой модели теории ЯМ [42]. Уравнения, соответствующие лагранкиану с потенциалом и описивающие динамику поля, имеют вид

$$\{|\partial_{\mu} + ie A_{\mu}|^{2} - m^{2} + \lambda |\phi|^{2}\} \psi = 0.$$
 (5.96)

Еудем искать решения (5.95), (5.96) в виде

$$A_{\mu} = n_{\mu} a(\psi) m/e \; ; \; \psi = u(\psi) e^{i\chi} m/e \; , \qquad (5.97)$$

где $\psi = p_{\mu} \propto (p^2 > 0)$, $p_{\mu} = 0$, окавольний постояний вактор;

2 - фаза скалярного поля ф . Воспользораншись калибронкой Лоренца 2 4 °= 0 п подставляя (5.97) в (5.95) и (5.96), получим следующую систему уравнений:

$$\frac{d^2u}{d\theta^2} = (1 + 3a^2)u - v^2u^3; \qquad (5.98)$$

, а параметр y^2 равен λ/e^2 Здесь 0 = 4 (p/m) e = n_n" , y=±1 . Анализ (5.98) и (5.99) позволяет най-

$$u(\theta) = A ch^{-1} B\theta$$
; $\alpha(\theta) = c t h B\theta$. (5.100)

SHECK # = (1-0,5) ; B = 0,5 #; C = 5 # (1-12) при Y = 4 . $y^2 \in (0,5;4]$. а при Y = -1 . $y^2 \ge 1$ em $\lambda \ge 0$. Ecan $\lambda^2 = 1$, to C = 0 и поле A_m отсутствует. Заметим, что для $\alpha(\theta) = 0$ существует нетривиальное решение для

функций $u(\theta)$ при любом v^2 : $u(\theta) = \frac{1}{v} \sqrt{\frac{2R^2}{2R^2-1}} \text{ cn} \left(\frac{\theta}{\sqrt{2R^2-1}} / R \right), \quad R^2 \in (0,5;1];$ (5.IOI) $u(\theta) = \frac{1}{\nu} \sqrt{\frac{2}{2-R^2}} dn \left(\frac{\theta}{\sqrt{2-R^2}} / k \right), \quad R^2 \in [0, 0, 5].$

При $\gamma=-1$ ($y^2>1$) систему уравнений (5.98) и (5.99) межно рассматривать как аналог задачи о движении в плоскости материальной точки единичной массы с обобщенными координатеми $a(\theta)$ и $u(\theta)$. Злесь играет роль параметра, связанного с временем. Потенциальная энергия определяются виражением $U_{pp} = \frac{y^2}{4} u^4 + \frac{1}{2} (\alpha^2 - t) u^2$ а траектория частицы имеет вид дуги эллипса $(n(0)/4)^2 + (a(0)/C)^2 = 1$. Пранели $y^2 \rightarrow 1$ и $y^2 \rightarrow \infty$ описнения случаи вирогичения эллиптической траектории в прямие $a(\theta) = 0$ и $u(\theta) = 0$ соответствонно. Значения a = 0 , $u = \pm 1/\nu$ ледяются точками минимума потенциала U, (а,м). Таким образом, вакуум теории при чепользовании подстановки (5.97) остается вирокденным лишь по отношению к извостному вирождению вакуума потенциала (5.94). Введение новых степеней овободы, связанных о электромагнитным полем, в данном случае не изменяет структури классического вакуума. Для $\kappa^2 = 0$, что соответствует предельному случаю скрещенного поля $(\vec{E} \cdot \vec{H}) = 0$, $|\vec{E}| = |\vec{H}|$, и при $\vec{p}^2 > 0$ точное решение вида (5.100) существует только при $\mathcal{J}^2 = 4$ и имеет вид

$$u(\theta) = \sqrt{2} \operatorname{ch} \theta$$
, $a(\theta) = a \cdot \operatorname{th} \theta$, (5.102)

где а. - произвольная постоянная.

б/ Модель уп- Гордона.

Рассмотрим теперь несколько иное виражение для потенциала в модельном лагранживне

$$U(\varphi) = \frac{m^4}{\lambda} \left(1 - \cos \frac{\sqrt{\lambda}}{m} |\varphi| \right). \tag{5.103}$$

Известно, [43], что в отсутствие калибровочного поля $\mathcal{A}_{\mathcal{L}}$ для действительного φ потенциал (5.103) приводит к точно решаемой задаче — уравнению $\hat{v}m$ — Гордона $\Box \Phi + \frac{m^3}{\sqrt{\lambda}} \hat{v}m \left(\frac{m}{\sqrt{\lambda}} \Phi\right) = 0$. В этом случае вакуум является вырожденным в бесконечном наборе точек $\Phi_{\mathcal{N}} = 2\pi \mathcal{N}m/\sqrt{\lambda}$, $\mathcal{N} = 0, \pm 1, \cdots$, а решения могут быть определены лишь по модулю $2\pi m/\sqrt{\lambda}$. Переход к заряженным полям $\varphi = \Phi e$ с электромагнитным полем $\mathcal{A}_{\mathcal{L}}$ в общем случае снимает это выражение.

Уравнения движения, получению из (5.93) с учетом выражения (5.103), перестают бить инвариантными относительно замени $\Phi \to \Phi + 2\pi m/\sqrt{\lambda}$. Для $A = \eta_{\alpha}(\theta) \frac{m}{e}$ и $\phi = \frac{m}{\sqrt{\lambda}}$ и(9) уравнения движения принымают вид

$$d^{2}u/d\theta^{2} = n^{2}a^{2}u^{2} - \sin u ; \qquad (5.104)$$

$$da/d\theta^2 = -\alpha u^2 v^{-2}$$
 (5.105)

В пределе скрещенного поля (т.е. при и -> 0 / уравнение переходит в одномерное уравнение

$$d^2u/d\theta^2 = -\sin u . (5.106)$$

При этом уравнение (5.105) содержит функцик $u(\theta)$ в качестве пораметра. Используя солитонное решение $u_o(\theta)=4\alpha v c^2 g^2$, из (5.105) можно получить соответствующее ему решение дли некторного потенциала. Решение с граничнеми условиями $\alpha(\pm\infty)=0$ соответствует локализованным электромагнитным возмущениям конечной эне ргии. Полученное нетривиальное решение будет описнвать самосогла сованное распространение заряженного солитона и связанного о ним электромагнитного возмущения вида скрещенного поля $\vec{E} \perp \vec{H}$, $|\vec{E}| = |\vec{H}|$ зависящего от фази θ . В общем случае $v^2 \neq 0$ решения (5.104) им от довольно сложный вид. Взаимодействие комплексного поля φ с электромагнитной волной приводит к значительному ескажению формы для поля φ .

2) Волновые решения классических уравнений движения поля $\operatorname{Hura-Culture} I$ в группе SU(2) I, взаимодействующего с изодублетом хигтсовских бозонов.

Рассмотрим решения классических уравнений движения поля ЯМ (B) группе SU(L) (B) взаимодействующего с изодублетом хигговских бозонов. В качестве исходного выберем следующий лагранжива

$$\mathcal{L} = -\frac{1}{4} \mathcal{F}_{\mu\nu}^{\alpha} \mathcal{F}_{a}^{\mu\nu} + \frac{1}{2} (\mathcal{D}_{\mu} \phi)^{\dagger} (\mathcal{D}^{\mu} \phi) - U(\phi) . \qquad (5.107)$$

Здось $\mathcal{F}_{\mu\nu}$ — невобелев тензор поля: $\mathcal{D}_{\mu\nu}$ — коваризитная произволная: $\mathcal{A}_{\mu\nu}$ — вектор-потенциал: $U(\varphi) = -\frac{m^2}{2} |\varphi|^2 + \frac{\lambda}{4} |\varphi|^4$. Запишем уравнения длижения поли для нових функций, которые свизань с исходиним следующими соотношениями:

$$\mathcal{A}_{o}^{a} = 0$$
; $\mathcal{A}_{i}^{a} = \varepsilon^{aik} n_{k} \left(\frac{\sqrt{\epsilon} m}{g} \right) \Phi(\rho x)$; $\psi = \frac{2m}{g} u \chi(\rho x)$, (5.108)

где $\vec{n} = \vec{p}/|\vec{p}|$; $\psi = (xp)\frac{p}{m}$; $\psi = -$ вентор-столосц и $\psi = 1$.

$$d^{2}\Phi/d\theta^{2} + \chi^{2}\Phi + 2\Phi^{3} = 0; \qquad (5.109)$$

$$d^{2}\chi/d\theta^{2} + (\Phi^{2} - 1)\chi + y^{2}\chi^{3} = 0.$$
 (5.110)

Параметр v^2 соответственно равен $4\lambda/g^2$

Спотема уравнений (5.109), (5.110) описнает эффективное дрижение классической частицы с массой $m = (\frac{p}{m})^2 \Im$ в плоскости с коорцинатами Φ и \mathcal{X} , где Θ играет роль времени. Потекцивльная энергия частицы $U(\Phi,\mathcal{X}) = \frac{1}{4}\Phi^4 + \frac{1}{4}\mathcal{N}^2\mathcal{X}^4 + \frac{1}{4}\mathcal{X}^2(\Phi^2 - 1)$, полная энергия $\mathcal{E} = \frac{1}{2}\mathring{\Phi}^2 + \frac{1}{4}\mathcal{X}^2 + U(\Phi,\mathcal{X})$ ивляются интегралом движения для системы уравнений (5.109), (5.110). Под ченные уравнения имеют несингулярные волновые решения, выражаемые через функции Якоби. Аргумент функций Якоби осдержит переменную $\Theta = \Theta + \Theta_0$ (Θ — произвольная постоянная фаза). Явний вид решений таков [44]:

$$\Phi(\theta) = \mathcal{A}_1 \circ n(B_1\theta/k_1)$$
; $\mathcal{X}(\theta) = C_1 \circ n(B_1\theta/k_1)$, (о.III)
где $\mathcal{A}_1^2 = 2(4-v^2)/(4v^2-3)$; $\mathcal{B}_1^2 = (3-2v^2)/(4v^2-3)$; $\mathcal{C}_4^2 = 2/(4v^2-3)$; $\mathcal{R}_1^2 = (2v^2-1)/(3-2v^2)$, а параметр v^2 изменяется в пределе $(\frac{3}{4}; \pm 1]$, что соответствует интерваду $(\frac{1}{4}; \pm 1]$ по \mathcal{R}_1^2 . Другое решение:

$$\Phi(\theta) = f_2 \operatorname{cn}(\beta_2 \theta / k_2) ; \quad \chi(\theta) = C_2 \operatorname{dn}(\beta_2 \theta / k_2) . \quad (5.112)$$

Для коэффициентов имеем выражения: $A_2^2 = 2(v^2 + 1)(2v^2 - 3)/[(2v^2 + 1)(4v^2 - 3)]$; $B_2^2 = 4(v^2 + 1)/(4v^2 - 3)$; $C_2^2 = 8(v^2 + 1)/[(2v^2 + 1)(4v^2 - 3)]$;

 \vec{k} , = $(2\sqrt[4]{3})/(4\sqrt[4]{4})$, а парамэтр $\sqrt{2}$ изменяется в пределах $v^2 > 3,2$, соответотвенно $\ell_i^2 \in [0; \frac{1}{2}]$. Решение (5.II2) при v²>∞ переходит в решение для поля ЯМ тила рошений, полученных в [14, 16, 27] , а при у2 -» 3/2 - в вакуумное (конденсатное) решение дли поля Хиггса $\chi = \pm \sqrt{1} = \pm \sqrt{2/3}$. При $v^2 = 3/2 + \delta^2$ где 8° <<1, решения (5.II2) представляют собой малые возмущения на фоне конденсата Хиггса и пертурбативного вакуума теории ЯМ. Эффективное действие W для эллиптическах волновых решений в нулевом, классическом приближении равно $W = S'(L^3T)$, где L, Т - характерный размер и временной интеграл системы, которые обычно полагают достаточно большими, 3° - классическое действие на траектории. Усредняя выражения для классического действия, соответствующего решениям (5.471), (5.472) по большому временному интервалу $T \gg \tau(k^2) = 4 \mathcal{H}(k^2)$, где τ — период функций Якоби, получим $W'(k^2) = \frac{2m'}{g^2(3k^2-1)^2} \left\{ 3k^4 - 2k^2 - 1 + \frac{2m'}{g^2(3k^2-1)^2} \right\}$ (5.113)

$$+d_{2}(R)(4R^{4}+8R^{2}+4)-d_{4}(R)(12R^{4}+4R^{2})\}$$

$$= n_{PH} R^{2} \in (\frac{1}{3};1];$$

$$W^{\circ}(R^{2}) = \frac{2m^{4}}{g^{2}(1-R^{2})(3-2R^{2})} \left\{ (3-8R^{2})(1-R^{2}) + 4R^{2}d_{2}(R)(-4R^{4}+2R^{2}+1) + 4R^{4}(4R^{2}-3)d_{4}(R) \right\}$$

$$= n_{PH} R^{2} \in [0;\frac{1}{2}],$$

$$= n_{PH} R^{2} \in [0;\frac{1}{2}],$$

$$= (5.114)$$

где $\mathcal{L}_m(k) = \frac{1}{2} \int_{0}^{\infty} \sin^m(\xi, k) \, d\xi$. Из формулы (5.113) видно, что предел $k^2 \to 1/3 + S$ при $S \to O+$ описывает особенность в поведении эффективного действия $\mathbf{W}^{\circ}|_{S \to C} = 2m^4 C(k^2)/g^2 S^2$. Используя частное значение функций \mathcal{L}_m в точке $k^2 = 4/3$.

можно с учетом $d_2(1/\sqrt{3})\cong 0,525$; $d_4(1/\sqrt{3})\cong 0,4$ получить $C\cong 0,44$. Предел при $k^2\to 1$ для $W^0(1-5)=O(5^2)$ в этом случае $T(k^2)\to\infty$, $d_2(1)=d_4(1)=1$, т.о. действие в данной точке — непрерывнея функция параметров на решении (5.113). Имершанся неаналитичность при $\beta^2=3/4$ сопровождается сильным ростом эмилитуди и частоты данного решения уравнения движения оистемы поляй ЯМ и Хигтов, который пригодит и тому, что система переходит на другое классическое решение, имеющее меньшее действие. В пределе $k^2=0$ для действия получим значение $\frac{2}{3}$ $\frac{m^4}{3^2}$ а при $k^2=\frac{1}{2}$ соответствующее действие равно $\frac{1}{5}$ $\frac{m^4}{3^2}$

Весьма интересным является чиоленное исоледование системы уравнений поля, описывающих взаимодействие калибровочного поля ЯМ и поля Хиггоа:

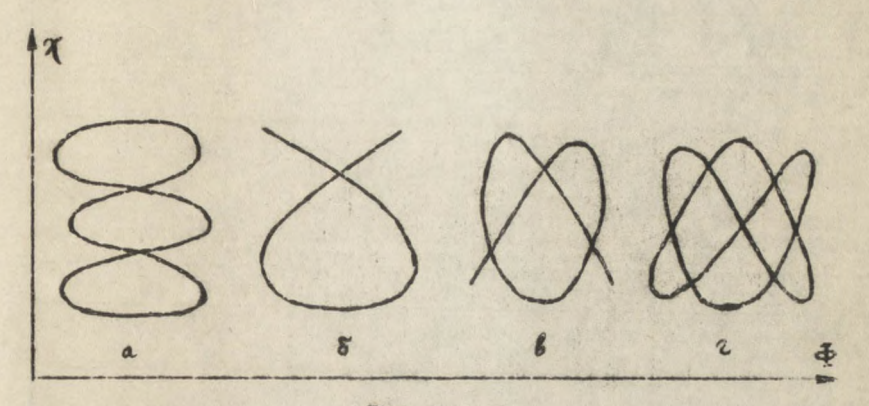
$$\Phi'' + \chi^2 \Phi + 2\Phi^3 = 0;$$
 (5.115)
 $\chi'' + (\Phi^2 - 1)\chi + \delta^2 \chi^3 = 0.$ (5.116)

Как ецино, решение этой нелинейной системи определяется энергией (или начальными условиями) и параметром v^2 . Напрымер, при $\mathcal{E}=1$ и $v^2=6,3;4,5;40$ в плоскости (Φ,\mathcal{X}) имеют место фитури лиссажу, которые отвечают колебаниям опстеми синзанных маятников с частотами, находящимися в отношения 2:3;3:4 и 3:2, в последнем случае разность фор была 90 (см. рис. Ід,б,в,г).

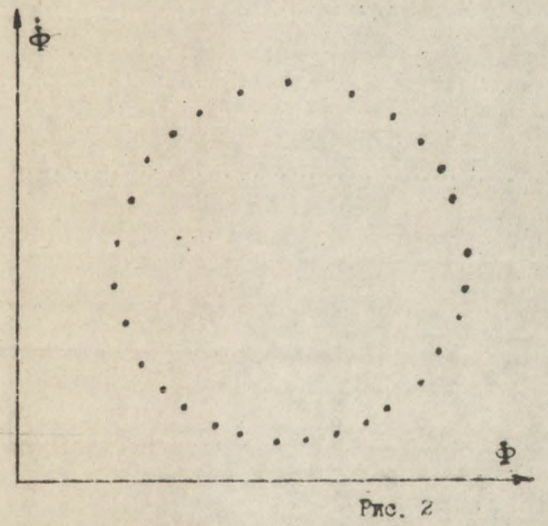
В послещнее время в литературе широко обсуждается вопрос о неинтегрируемости уравнений П. [12, 45 - 48]. В частности, с этой позинии рассматривались такие решении урагчений П., как монополь Ву-Янга и плосковолновие решении [12, 48].

Наличие отохастичности автори связивали с возможностью объ-

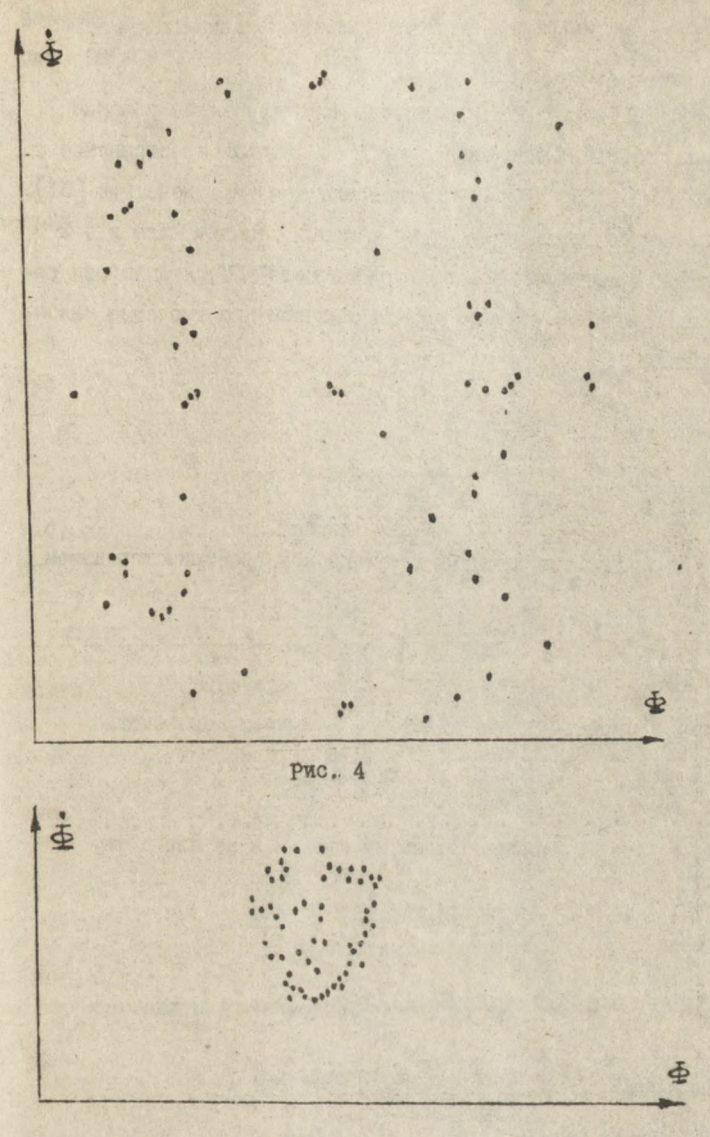
яснония консайниента прета. Строго говоря, доказать, что динамическоя система обладает таким свойством, как стохастичность, с математической точки зрения означает построение соответствующей меры. Числечные эксперименты из компьютере, которые активно провоилтол при изучении нединейных систем ЯЛ в настоящее время с целью обнаружения стохастичности, могут служить основанием для аналитических исследований в этой области. Так, например, численное изучение привеленной системы при 6~10 2 и № 10 сыльно зависит от метода вичислений (разностной аппроксимации и т.д.), что, очезидно, является недопустимым (т.к. результати должни бить устойчиви по отношению к вибору шага интегрирования и методов та). В данном примере соответствующие карти Пуанкаре, которые обычно приводят как доказательство стохастичности системы пои $\mathcal{E}_0 = 1$; 0,75; 0,62; 10^{-2} ($y^2 = 10^{-2}$) (cm. pro.2-5), eme he дают полной уверенности в том, что в системе имеется стохастичность. Кроме того, рассмотренная система обланает повольно житересным овойствем при 8 = (2 [2)2 -1])-1: линия уровня-эллипо. Может оказаться, что в этом случае система кроме интеграла энергии имеет дополнительный интеграл. Известно, что Ковалевская [49], пытаясь доказать отсутствие янтегралов для классической задачи - волчка, получила интегрируемый случай. Таким образом. мы видим, что строгое доказательство интегрируемости системы уравненей Ям - сложная математическая зацача, решить которую в общем вида затруднительно [50]. Однако представляется интересным выяснять область изменения физических нараметров и т.д., при которых стохастичность в системе проявляется слабо, а также установить промежуток времени АТ , в течение которого РОЗМОЖНО ИСПОЛЬЗОВАНИЕ ПОЧЕТИЛ КЛАССИЧЕСКИХ РЕШЕНИЙ ДЛЯ УРАВНЕний Ям. Последнее, по-размену, может быть полезне при обсужиении процессов, происходящих за времи, меньшее периода колебания поля АТ



PMG. I



· Рис. 3



PEC. 5

5.8. Инстантонные решения уравнений Янга-Миллов

Под "инстантонами" будем понимать лскализованные решения жассических урагнений движения поля в евклидовом пространстве $t \to c\tau$, $x_*^2 - \vec{x}^2 \Rightarrow -x_*^2$), имеющие конзучное действие [51].

Прежде чем обсудить конкретные решения, заметим, что в § 2 занвалось на самодуальные конфигурации полей ПЛ, являющиеся режими этих уравнений. Эти поля в евклидовом пространстве связадоотношеньем

ответственно получим

 $\widetilde{\mathcal{F}}_{\mu\nu}^{\alpha}\widetilde{\mathcal{F}}_{a}^{\mu\nu}=\mathcal{F}_{\mu\nu}^{\alpha}\mathcal{F}_{a}^{\mu\nu}=\mathcal{F}^{2}$

огда для плотности лагранживна в евклидовом пространстве имеем

Учитыева явное выражение для действия, получаем неравенство $\int T_z \left(\mathcal{F} \pm \widehat{\mathcal{F}} \right) J^{\gamma}_x = 2 \int T_z \left(\mathcal{F}^2 \pm \mathcal{F} \widehat{\mathcal{F}} \right) J^{\gamma}_x \geqslant 0 \; ,$ т.к. $\widetilde{\mathcal{F}}^2 = \mathcal{F}^2$. Таким образом мы придем к неравенситву

Оторде оценка для евклидова действия представим а в виде

$$S = \frac{1}{2} \int T_{2} \mathcal{F}^{2} d^{3} x \geqslant \frac{1}{2} \left| \int T_{2} \mathcal{F} \hat{\mathcal{F}} d^{3} \alpha \right|,$$

причем к развенству мы приходим в случае самсдуальных (антисамоду-

формулу (3.2) при $\dot{t}=2$ и соответствующий пример (3.8))и значение топологического заряда

$$C_2 = \frac{y^2}{16\pi^2} \int Tr \, \widehat{\mathcal{F}}_{\mu\nu}^a \, \mathcal{F}_a^{\mu\nu} \, \mathcal{J}_{x}^{\prime},$$

получим, что

при $|C_2| = 1$ находим (действие минимально)

$$S_{\text{NHCT}} = \frac{8\pi^2}{g^2}$$
, (5.117)

т.е. инстантонное действие. Выпишем явное решение для инстантонов. Положим

$$t_{m} = (\vec{t}, i)$$
; $t_{m}^{\dagger} = (\vec{t}, -i)$, $m = 1, ..., 4$,

тогда можно построить тензор

$$t_{\mu\nu} = i(t_{\mu}t_{\nu}^{\dagger} - \delta_{\mu\nu}) = \tilde{t}_{\mu\nu} \equiv \frac{1}{2} \epsilon_{\mu\nu\alpha\beta} t_{\alpha\beta}$$
, т. е. $t_{\mu\nu} = canonyaльный тензор. Б этих обозначениях $(xt)(xt^{\dagger}) = x^2$; $g = i(xt^{\dagger})/x$; $g^{-1} = -i(xt^{\dagger})/x$.$

Теперь калибровочное поле можно записеть так:

$$\mathcal{A}_{\text{KAAHGP.}}^{\prime\prime} = -\frac{i}{g} g(x) \partial_{x}^{\prime} g(x) = \frac{i}{g} \frac{\pm \mu v}{r^{2}} \qquad (5.118)$$

Из требсевния жонечности энергие следует, что вектор-потегциал можно искать в виде

$$\mathcal{A}_{r} = \frac{1}{3} \frac{t_{rv} x_{v}}{r^{2}} h(r^{2}), \qquad (5.313)$$

гдо функция $k(z^2)$ в (5.119) k(o) = o и регулярна в нуле, $k(z^2) \xrightarrow{z \to \infty} 1$, причем функцию k(z) подберем тек, чтобы выполнилось условие самодуальности.

Вичисляя явное выражение для тензора поля через вектор-потен-

$$\mathcal{F}_{\mu\nu} = \frac{2}{3} \left[\frac{R(1-R)}{2^2} t_{\mu\nu} + (R - \frac{R(1-R)}{2^2}) (t_{\mu\lambda} x_{\lambda} x_{\nu} - t_{\nu\lambda} x_{\lambda} x_{\mu}) \right];$$

$$\widetilde{\mathcal{F}}_{\mu\nu} = \frac{2}{9} \left[\frac{k(1-k)}{r^2} t_{\mu\nu} - (k' - \frac{k(1-k)}{r^2}) \varepsilon_{\mu\nu\alpha\beta} (t_{\alpha\lambda} x_{\lambda} x_{\beta} - t_{\beta\lambda} x_{\lambda} x_{\alpha}) \right].$$

Отсюда для $k(\tau)$ следует уравнение

$$r^2 h' - h(1-h) = 0$$
 (5.120)

с граничными условиями: $h(\tau) \xrightarrow{\tau > 0}$; $h(\tau) \xrightarrow{\tau > 0}$. Решение уравнения (5.30) имеет вид

$$h(r^2) = [1 + (a/r)^2]^{-2}$$
 (5.121)

гдо а - параметр, определяющий размер инстантона. Тензор напряженности поля для инстантона $C_2 = -1$ имеет вид

Для антиинствитона c_2 =-I соответствующая формула получается из приведенного решения заменой $t_{\mu\nu} \to \overline{t}_{\mu\nu}$:

Физический смисл инстантона — решения, приводящие к туннельному эффекту (ранее мы разбирали эту возможность для постоянных полей; см. (5.4)).

§ 6. Уравнения движения классической частици с изоснином

В первом параграфе были выписани явлие выражения для символов Кристоффеля, используя которые, нетрудно получить уравнение движеник частилы по геодезической

$$\frac{du^{d}}{ds} + \int_{\mu\nu}^{d} u^{\mu} u^{\nu} = 0. \qquad (6.1)$$

С учетом (І.ІЗ) найдем

$$\frac{du^{d}}{ds} + \int_{\mu\nu}^{d} u^{\mu}u^{\nu} + \eta_{ik} g^{\mu} \mathcal{F}_{\nu\rho}^{k} u^{\nu} \mathcal{T}^{i} = 0 \qquad (6.2)$$

Здесь мн считаем , что $T^1 = \mathcal{A}_{p}^1 u^p$ — вектор в изотопическом пространстве. Тогда для движения этого вектора в изотопическом пространстве можно виписать уравнения

$$\frac{dT'}{ds} + \epsilon^{ij\kappa} A_i^{\kappa} u_{\mu} T^{\kappa} = 0. \qquad (6.3)$$

Припеденная пара уравнений (6.2) и (6.3) для векторов и в Т опискрает движение классической частицы с взоспином. Заметим, что эти уравнения можно получить несколько иным способом, вичислял коммутаторы соответствующих динамических переменных (как это было сделано в оригинальной работе Вонга [52]) и переходя к квазиклассическому приближению (строгий переход к квазиклассике-очень оложиля задача, т.к. необходимо использовать аппарат тракторно-когерентных состояний, развитый надавно в шикле работ [53-55]; усреднение по любому другому волновому пакету может привести и физически неверному результату [56]).

Опишем еще одич опособ получения классических уравнений движения частицы с изоспином, основанный на выборе классического действия такой частицы в виде $S = S_6 + S_4 + S_2$ и предложенный в [57], где S_6 -действие бессииновой частицы, отвечающее пространственному движению изетового заряда:

$$S_o = \int L_o d\tau = \int \left(-m \frac{d\tau}{dt} + g \left(A_\mu^a T_a\right) \frac{dx^\mu}{dt}\right) dt, \quad (6.4)$$

 С - осоственное время. Спиновая часть действия, отвечающая за спин-оромгальную связь, имеет вид

$$S_{i} = -\tilde{g} \frac{g}{2m} \int \tilde{\mathcal{F}}_{\mu\nu}^{a} u^{r} s^{r} T_{a} d\tau , \qquad (6.5)$$

где \mathfrak{F} — гаромагнитное отношение; \mathfrak{S}' — 4-вектор спина; \mathfrak{F}_{rv} — дуальени тензор поля. Слагаемое $S_{\mathfrak{L}}$ — кинетическая часть действия изоспина:

$$S_{a} = \int L_{a} dt = \int \left(T \cos \theta \frac{d\phi}{dt} \right) dt$$
, (6.6)

где $T_3 = T\cos 2\theta$; $T^2 = T_1^2 + T_2^2 + T_3^2$; $t_3 \varphi = T_2/T_4$. Вивод кинетической части действля S_2 основан на аналогии движения изоспина с динамикой вектора намагниченности в ферромагнетиках [58]. Так же кок и вектор намагниченности, изоспин представим в качестве симметричного волчка с одной закрепленной точкой и главными моментами инерции A = B = 0, а $C \neq 0$, кинетическая внергия равна $E_{\text{кин}} = \frac{1}{2}C(\varphi\cos\theta + \psi)^2$. Величина $E_{\text{кин}} = \frac{1}{2}C(\varphi\cos\theta + \psi)^2$ величина обобщенных окороотей ψ и ψ . Т.к. угол ψ — пиклическая пераменная, то сохраняется соответствующей обобщенный импульо

Эту постоянную поставим в соответствие с величной изотопического спина честици $p_{\psi} = T$. Риесто функции Лагранта введем бункцию Рауса [59]

$$R = L_{\tau} - p_{\psi} \dot{\psi} = g A_{\rho}^{\alpha} T_{\alpha} \frac{dx^{\rho}}{dt} + L_{z} +$$

$$= g A_{\rho}^{\alpha} T_{\alpha} \frac{dx^{\rho}}{dt} + \dot{\phi} T \cos \theta .$$
(6.7)

Таким образом, вектор изоспина \overrightarrow{T} имеет величицу $|\overrightarrow{T}| = \overrightarrow{T} = \overrightarrow{P}\psi$ — сомут и направление $\overrightarrow{\kappa}(\theta, \Psi)$, определяемое сферическими углеми Θ и Ψ . Варьируя действие

$$S_{T} = \int R dt = g \int A_{\mu}^{\alpha} T_{\alpha} dx^{\mu} + \int T \cos \theta d\phi, \qquad (6.8)$$

получим урагнение движения изоснина. Заметям, что $\vec{\kappa} \Rightarrow \vec{\kappa} + \delta \vec{\kappa}$ $\delta \vec{\kappa} = \vec{\omega} \times \vec{\kappa}$, где $\vec{\omega}$ — малый угол. Тогда имеем

$$\frac{\delta S_T}{\delta \vec{n}} \, \delta \vec{n} \, = \frac{\delta S_T}{\delta \vec{n}} \, (\vec{\omega} * \vec{n}) = - \vec{\omega} \left(\frac{\delta S_T}{\delta \vec{n}} * \vec{n} \right) = 0,$$

т.о., в силу произвольности вектора 🐱 :

Вариация S, дает

$$\frac{SS_{2}}{Sn_{\phi}} = T\ddot{\theta} , \frac{SS_{2}}{Sn_{\theta}} = -T\sin\theta \dot{\phi}$$

Откуда

$$\left(\frac{\delta S_2}{\delta \vec{n}} \times \delta \vec{n}\right)_{\varphi} = (\vec{n})_{\varphi} T ; \left(\frac{\delta S_2}{\delta \vec{n}} \times \vec{n}\right)_{\varphi} = (\vec{n})_{\varphi} T .$$

Учитывая явное выражение для R (6.7), получим

TTO ZMECTE C SERVIN BUTCHMENN KOMMONENT BEKTOPS $\left(\frac{5 \, \text{S}_{\text{a}}}{8 \, \text{R}}\right)$

дает уравнение (после перехода к собственному времени)

$$\frac{d\vec{T}}{d\tau} = -g \left(\vec{A}_{M} U^{M} \right) \times \vec{T} . \tag{6.9}$$

Варьируя $S_{4,}$ найдем

Несложно проверить, что введенное действие $S = S_1 + S_2 + S_3$ является калибровочно инвариантивм.

Для доказательства утверждения о калибровочной инвариантности действия достаточно проверить соответствующее утверждение пля S_2 . Перепишим S_2 в виде

 $S_2 = \int T \cos \theta \ d\varphi = \int T \ d\overline{\varphi}, \ d\overline{\varphi} = \overline{e_z} \ d\varphi + \overline{e_y} \ d\theta,$ $\overline{e_z}$ — орт оси Ξ ; $\overline{e_\varphi}$ — орт сферической системы координат в изотопическом пространства. Локальное инфинитезимальное пресбразование ведет к преобразованию потенциалов

$$A_{\mu}^{a} \rightarrow A_{\mu}^{a} + \varepsilon^{a} \delta^{c} \omega^{\delta} A_{\mu}^{c} + g^{-1} \partial_{\mu} \omega^{a}$$
.

Тогла
$$8 (g S A_{\mu}^{a} T^{a} u^{\mu} dr) = g \varepsilon^{a} \delta^{c} \int \omega^{\delta} T^{c} A_{\mu}^{a} dx^{\mu} + g \int T^{a} \varepsilon^{u} \delta^{c} \omega^{\delta} A_{\mu}^{c} dx^{\mu} + \int T^{a} \partial_{\mu} \omega^{a} dx^{\mu} = \int T^{a} \frac{d\omega^{a}}{dr} dr,$$

соответствующее изменение S_{2} равно
$$8 S_{2} = \varepsilon^{c} \delta^{c} \int \omega^{a} T^{\delta} d\phi^{c},$$

а для общего изменения действия получим

$$8S = \int \overrightarrow{-} d\overrightarrow{\omega} + \int [\overrightarrow{\omega}, \overrightarrow{+}] d\overrightarrow{\varphi} = \int \overrightarrow{-} d\overrightarrow{\varphi} + \int [d\overrightarrow{\varphi}, \overrightarrow{+}] \overrightarrow{\omega}.$$

Учитивая, что $T_1^2 + T_2^2 + T_3^2 = |\vec{T}|^2 = cone$ на сфере, получим $d\vec{T} = [d\vec{\varphi}, \vec{T}]$, $SS = S\vec{T}d\vec{\omega} + S\vec{\omega}d\vec{T} = Sd(\vec{T}\vec{\omega})$. Т.е. вариация действия виражена через интеграл ст полного дифференциала, а поэтому не варьируется при виводе уравнений движения. Отсюда получим следствие: неаселеви частици $S = S_1 + S_2 + S_3$ калибровочно инвариантам, как и действия абелевой частици в КЭД. Полученные выше уравнения можно записать для частицы, имеющей спин и изоспии, движущейся в суперпозиции абелевих и неебелевых полей [60]:

ПОЗИЦИИ АСЕЛЕВИХ И НЕЭСЭЛЕЗИХ ПОЛЕЙ [60]: $mc \dot{U}^{M} = -g \widetilde{F}_{a}^{MV} T^{\alpha} U_{v} - e F^{MV} U_{v};$ $\dot{T}^{\alpha} = -g \mathcal{E}_{a} \mathcal{E}_{c} T^{\alpha} [A_{\mu}^{\beta} U^{M} + (g/2mc) \widetilde{F}_{\mu\nu}^{\beta} U^{M} S^{\nu}];$ $2 mc \dot{S}^{M} = -\widetilde{g} (g \widetilde{F}_{a}^{MV} T^{\alpha} + e F^{MV}) S_{v} - (G.II)$ $-(\widetilde{g}-2) c^{-2} (g \widetilde{F}_{a}^{MP} + e F^{MP}) U_{\alpha} S_{\beta} U^{M}.$

Здесь \tilde{g} — гиромагнитное отношение; $\tilde{g}_{\mu\nu} = \partial_{\mu}A_{\nu}^{\alpha} - \partial_{\nu}A_{\mu}^{\alpha} + g f_{\alpha} g_{\alpha} A_{\nu}^{\alpha} + g f_{\alpha} g_{\alpha}^{\alpha} + g f_{$

четырахвектора спина
$$S^{\mu}$$
 использовать тензор опина $S^{\mu\nu} = -\mathcal{E}^{\mu\nu} \mathcal{E}^{\mu} \mathcal{E}^{\nu} \mathcal{E}^{\mu\nu} \mathcal{E}^{\nu} \mathcal{E}^{\mu\nu} \mathcal{E}^{\nu} \mathcal{E}$

тогда получим следующие уравнения (для упрощения в (6.11) мы положим $F_{\mu\nu}=0$) :

$$mcii^{r} = -g F_{a}^{\mu\nu} T^{a} u_{\nu};$$

$$\dot{T}^{a} = -g \mathcal{E}_{a} \ell_{c} T^{c} \left(A^{\beta r} u_{r} + \frac{g^{2}}{2mc} F_{r}^{\beta} S^{r\nu} \right);$$

$$\ell mc \dot{S}^{\mu\nu} = -g \tilde{g} \left(\mathcal{F}_{a}^{\rho} S^{\rho\nu} - \mathcal{F}_{a}^{\nu} S^{\rho\nu} \right) T^{a} - (6.13)$$

$$-g \left(\tilde{g} - \ell \right) c^{2} \left(u^{r} S^{\nu\rho} - u^{\nu} S^{\rho\rho} \right) \mathcal{F}_{a}^{a} u^{\nu} T_{a}.$$

жежде чем перейти к решению уразнений для конкретных полей, заме-

$$T^2 = T_1^2 + T_2^2 + T_3^2 = const; s_p s^p = s^2 = const;$$

$$M_p M^p = 1.$$
(6.14)

§ 7. Движение классической неабелевой частицы в цветовых полях

Решение уравнений движения классической изоспиновой частицы во внешнем неабелевом калибровочном поле может быть интересным по слецующим причинам:

- I. При описании взаимодействия сложных квантовых систем весьма полезно иметь некоторую достаточно простую и физически наглядную модель, которая вместе с тем, несмотря на свою простоту, может попользоваться при конкретных расчетах. Как известно из КЭД, таким способом описания квантовых эффектов в ряде случаев является квазимлассический метод, который, в свою очередь, оперирует с пойнтием классической траектории, т.е. решениями классических уравнений движения.
- 2. В § 5 ми рассмотрели решения полевих уравновий Ж.І. Некоторие из этих решений, например поли, опроделяемые постоянными по-

тенциалами, используются в качестве модели вакуума, а другие являются следствием существования нетривиальных полевых объектов. Поэтому возникает необходимость более детально обсудить карактер движения изоспиновых частиц в полях различной конфигурация.

3. Отметим также еще один аспект этой задачи, который обусловлен возможностью существования в адронном веществе при высоких температурах и плотностях такого фазового состояния, как кварк-глюонная плазма. Известно, что при описании плазми также пироко используются классические методы.

Учитивая сказанное, рассмотрим решения уравнения деяжения изоспиновой частицы в абелевых и неабелевых конфигурацыих полей и установым характерные отличия в дрижении частицы.

Исследуем решения классических уравнений движения изссииновой частицы (без учета опина) в постоянном однородном кромомагнитном поле, направленном вдоль третьей изотопической оси (такая конфигурация поля предлагалась, например, Саввиди и Матиняном в качестве вакуума [611). Как известно, вектор-потенциал, определяющий это кромомагнитное поле, можно записать следующим образом: $\mathcal{A}_{\mu}^{\ell} = \delta_3^{\ell} \mathcal{A}_{\mu}^{\ell}$, где $\mathcal{A}_{\mu} = (0, x_A H, 0, 0)$ или $\mathcal{A}_{\mu} = (0, \frac{1}{4}x_2 H, -\frac{1}{2}x_1 H, 0)$, при этом тензор поля в обоих случаях имеет отличними от нуля одни и те же компоненти:

$$J_{3}^{12} = \partial^{1}A_{3}^{2} - \partial^{2}A_{3}^{2} = -\frac{\partial}{\partial x^{2}}(x_{2}H) = -H;$$

$$J_{3}^{21} = \partial^{2}A_{3}^{2} - \partial^{1}A_{3}^{2} = \frac{\partial}{\partial x_{2}}(x_{2}H) = H.$$
(7.1)

Уравнения движения имеют вид

$$\frac{du^{\circ}}{d\tau} = 0 \; ; \; \frac{du'}{d\tau} = gHT^{3}u_{1} \; ; \\ \frac{du^{3}}{d\tau} = 0 \; ; \; \frac{du^{\circ}}{d\tau} = -gHT^{3}u_{1} \; ; \\ \frac{dT_{1}}{d\tau} = gA^{3}u''T_{2} \; ; \; \frac{dT_{2}}{d\tau} = -gA^{3}u''T_{1} \; ; \; T_{3} = const \; .$$
 (7.2)

Откуда следует, что лижения по траектории в обрих случеях задажия

кромомагнитного поля будет определяться скоростями

пли в явном виде траектория такова:

$$x_1 = x_1^{\circ} + R \sin(\omega \tau - \varphi_0); \quad x_2 = x_2^{\circ} - R \cos(\omega \tau - \varphi_0);$$

$$R = m/(gH|T_3|), \quad (7.3)$$

соответственно видим, что проекция изотопического вектора на гротью ось T_3 сохраняется, а в плоскости (T_i , T_2) вектор изонина в первом и во втором случаях задания хромомагнитного поля едет себя следувшим образом:

$$T_1 + LT_2 = \exp\left\{igH\left[T_0 + \frac{\tau R}{2} + \frac{R}{4\omega}\sin 2(\omega \tau - 4_0) - \frac{x_0^2 \sin(\omega \tau - 4_0)}{\omega}\right]\right\}; (7.4)$$

$$T_2 + iT_1 = \exp\left\{i\frac{2H}{2}\left[\tau_0 - \frac{\tau R}{2} + \frac{x_0^2}{\omega}\cos(\omega \tau - \varphi_0) + \frac{x_0^2}{\omega}\sin(\omega \tau - \varphi_0)\right]\right\}.$$
 (7.5)

Приводенние результати показывают, что в заденном опособе задания поля (7.1) траекторное (7.3) и изоспиновое (7.4), (7.5) деяжения отделяются. Отличие в изоспиновом деяжении (7.4) и (7.5) может быть компенсировано калибровочным преобразованием, которое не затрагивает траекторного движения.

Зададим теперь хромомагнитное поле постояними неабелевыми потенциалеми

$$A_1^{f} = (0,0,\sqrt{\lambda_2},0); A_2^{f} = (0,0,0,\sqrt{\lambda_3}); A_3^{f} = (0,0)$$
 (7.6)

В этом случае отличными от нуля будут следующие компоненти тензора поли: $\mathcal{J}_3^{32} = \mathcal{J}_3^{23} = g\sqrt{\lambda_2\lambda_3} = H$. Веодя параметр $\psi = \frac{3H}{m} \int_{-\infty}^{\infty} \mathcal{J}_3(\epsilon') d\epsilon'$, получим для четырехимпульса выражение, которое удовлетворяет (при задением поле) системе уравнений движения частици

$$u_0 = u_0(0)$$
; $u_2 = u_2(0)\cos\psi + u_3(0)\sin\psi$;
 $u_1 = u_1(0)$; $u_3 = -u_2(0)\sin\psi + u_3(0)\cos\psi$ (7.7)

или $\mathcal{U}_2 = \mathcal{U}_1 \cos \varphi$; $\mathcal{U}_3 = \mathcal{U}_1 \sin \varphi$; $\varphi = \varphi_0 - \psi$; $\mathcal{U}_2(o) = \mathcal{U}_1 \cos \varphi_0$; $\mathcal{U}_3(o) = \mathcal{U}_1 \sin \varphi_0$. Из представленных решений (7.7) видно, что существуют начальное условия $\mathcal{U}_1(o) = o$, при которых траектория движения частицы замкнутая. Отметим, что движение в изоспиновом пространстве довольно сложным образом запутано с траекторным через парэметр $\varphi(c) = \varphi_0 - \psi(c)$. Из ссотношений (6.14) следует, что параметр $\varphi(c)$ удовлетворяет следующему уравнению:

$$\dot{\varphi}^2 = \omega^2 \left[T^2 - T_2^2(\varphi) - T_3^2(\varphi) \right], \quad \omega = \frac{9H}{m}, \quad (7.8)$$

где величини $T_{2,3}$ и $u_{2,3}$ связани интегралами

$$u_{2,3} = u_{2,3}(0) - T_{2,3} \frac{8\sqrt{\lambda_{2,3}}}{m}$$

Легко заметить, что уравнание (7.8) аналогично уравнению движения классической частиць без изоспина (в КЭД) в поле волны с эллиптической поляризацией. Вектор-потенциал, определяющий эту волну, представляется следующим образом:

$$\mathcal{A}_{\Gamma} = \left\{0, 0, \frac{m u_{\perp}}{\sqrt{\lambda_{2}}} \cos(k_{\mu} x^{\mu}), \frac{m u_{\perp}}{\sqrt{\lambda_{2}}} \sin(k_{\mu} x^{\mu})\right\}.$$

Уравнение (7.8) - петеграл движения для уравнения

Это уравнение может быть найдено, исходя из функции Легранжа:

$$f = \frac{\dot{\phi}^2}{2\omega} + \frac{\omega}{2} \left[T^2 - T_1^2(\phi) - T_2^2(\phi) \right].$$

Значение действия при этом, $S = \int \mathcal{I}(\tau) \, d\tau$, для рассматриваемого лагранживна на классической траектории совпадает с построенной вние изоспиновой частыю действия классической частици

$$S_{\kappa_{A}} = \int T_{3} d\varphi = \pm \int_{\varphi_{3}}^{\varphi} \sqrt{T^{2} - T_{1}^{2}(\varphi) - T_{2}^{2}(\varphi)} d\varphi,$$

знак ± определяется проекцией вектора изоспина на третью изотопическую ось. Это действие удовлетворяет уравнению Гамильтона-Якоби

$$\left(\frac{\partial S}{\partial \tau}\right)^2 + \left(\frac{\partial S}{\partial \varphi}\right)^2 - \omega^2 T_3^2(\varphi) = 0.$$

Воли в (7.9) $\lambda = \lambda_q = \lambda_3$, то получим

$$\frac{J^{2}(\varphi-\delta)}{J\tau^{2}} + \lambda \sqrt{u_{3}^{2}(0) + u_{2}^{2}(0)} \sin(\varphi-\delta) = 0, \qquad (7.10)$$

где $t_3 = u_2(o)/u_3(o)$. В действительном времени τ решение уравнения (7.10) можно записать через эллиптические и тригонометрические функции

$$\varphi - \delta = Larcsin \{k sn[(\tau - \tau_o)\omega_o; k]\},$$

$$\omega_o = \lambda \sqrt{u_3^2(0) + u_2^2(0)},$$

$$k \in (0, L).$$
(7.II)

Если сделать замену в (7.10) $au \Rightarrow i t$, то решение этого уравнения имеет вил

$$\varphi - \delta = \pm \arcsin \left[-\frac{\omega_c}{k} (t - t_o); k \right]$$

При К-> 1 получим

$$\varphi - \delta = 4 \operatorname{arety} \left\{ \exp\left[\pm w_{o}(t - t_{o})\right] \right\}.$$
 (7.12)

Легко видеть, что при t→ ∞ угол ч может принимать следующие

предельные значения: $2T+\delta$ или δ . Используя явное выражение для интегралов (6.14), получим, что вектор изоспина в мнимом времени за бесконечно большое время, от $-\infty$ до $+\infty$, может перевернуться на угол 2π .

В случае $\lambda_2 = \lambda_3$ для опиновой части уравнений (6.11) получим $S^{\circ 1} = C_1 S^{13} = C \cos \Psi(\tau)$; $S^{\circ 2} = C_1 S^{23} = C \sin \Psi(\tau)$; $S^{\circ 3} = \operatorname{const} = -\left[\vec{\alpha} \times \vec{S} \right]_3$; $S^{\circ 12} = \operatorname{const} = u_0 S^3 - S_0 u^3$.

Мы получили, что частота осцилляций спина определяется величиной $\Psi(\tau)$, которая связана с изменением изсспиновой компоненти $T_3(\tau)$. В случае задания абелевого хромомагнитного поля вектор спина также является осциллярующей функцией, а частота осцилляций определяется величиной T_3 .

По аналогии с хромомагнитным полем хромоэлектрическое поле можно определить посредством постоянных неабелевых потенциалов:

$$\mathcal{A}_{p}^{4} = (\sqrt{-\lambda_{1}}, \vec{o}); \mathcal{A}_{p}^{2} = (0, \sqrt{\lambda_{2}}, 0, 0); \mathcal{A}_{p}^{3} = (0, \vec{o}).$$
 (7.14)

Это поле направлено по третьей изотопической оси и имеет отличными от нуля следующие компоненти тензора поля:

$$\mathcal{F}_{3}^{ot} = -\mathcal{F}_{3}^{10} = g\sqrt{-\lambda_{1}\lambda_{2}} = E$$

При этом задании поля решение системы (6.II) можно выразить через гиперболические функции следующим образом:

$$u_1 = -\sqrt{1+\tilde{u}_1^2} \, 8h(\psi+\delta) \; ; \; u_0 = \sqrt{1+\tilde{u}_1^2} \, ch(\psi+\delta) \; ;$$

$$u_2 = u_2(0) \; ; \; u_3 = u_3(0) \; .$$

$$3\pi e c b \; \psi = \frac{g E}{m} \int_{-\infty}^{\infty} T_3(\tau') \, d\tau' \; ; \; 8h \delta = -u_1(0) / \sqrt{1+\tilde{u}_1^2} \; ; \; ch \delta = 0$$

=[(1+u2)/(1+u2)] . Как видно из решений (7.7) и (7.15), движение частицы в хромомагнитном и хромоэлектрическом полях в импульоном и изотопическом пространствах связаны нелинейно. В общем случае это приводит к неправомерности независимого рассмотрения движения частицы в этих пространствах для полей, определяемых неабелевыми потенциалами.

Рассмотрение движения изоспиновой частици в хромоэлектрическом поле, определяемом абелевими потенциалами $\mathcal{A}_{\alpha}^{\Gamma} = \mathcal{H}^{\Gamma} \mathcal{S}_{\alpha}^{\beta}$, $\mathcal{H}^{\Gamma} = (\alpha \mathcal{E}, \vec{\sigma})$, приводит нас к решению

$$u^{\circ} = u^{\circ}(\circ)ck\psi + u^{(\prime)}(\circ)sk\psi ;$$
 $u^{\prime} = u^{\circ}(\circ)sk\psi + u^{(\prime)}(\circ)ck\psi ;$
 $u_{2} = u_{2}(\circ) ; u_{3} = u_{3}(\circ) ,$
(7.16)

где $\psi = \frac{3E}{m} T_3(\phi) T + \psi_{\phi}$. Таким образом, функция $\psi(\tau)$ в абелевих полях линейная по собственному времени, в то время как для перабелевих полей в силу нелинейных колебаний вектора изоспина на сфере мы имеем функции Якоби:

$$\tau = \pm \frac{2m\sqrt{-\lambda_1 \lambda_2}}{9} \int (C_0 x^4 + C_1 x^3 + C_2 x^2 + C_3 x + C_4)^{-1/2} dx$$

$$x = \exp(\psi + \delta); E_1^2 = m^2 \left[1 + u_2^2(0) + u_3^2(0) \right];$$

$$C_0 = C_4 = \left(\frac{E_1}{9} \right)^2 \left(\frac{1}{\lambda_1} - \frac{1}{\lambda_2} \right); C_{1,3} = \frac{4E_1}{9} \left[\frac{T_1(0)}{\sqrt{-\lambda_1}} + \frac{T_2(0)}{\sqrt{\lambda_2}} \right];^{(7.17)}$$

$$C_2 = 2 \left[2 \left(T^2 - T_1^2(0) - T_2^2(0) \right) + \left(\frac{E_1}{9} \right)^2 \left(\frac{1}{\lambda_1} + \frac{1}{\lambda_2} \right) \right].$$

Для спиновой части уравнений (6.II) получим

$$S^{ol} = const; S^{23} = const; S^{2} = const; S^{3} = const;$$

$$\varphi = \frac{g^{2}\sqrt{-\lambda_{1}\lambda_{2}}}{m} \int_{0}^{\infty} T_{3}(\tau')d\tau';$$
(7.18)

$$S^{\circ 2} + S^{12} = C_1 \exp(-\varphi);$$

$$S^{\circ 3} + S^{13} = C_2 \exp(-\varphi);$$

$$S^{\circ} + S^{\dagger} = C_3 \exp(-\varphi).$$

Учитывая связь функций Якоби с модулярными группами [62], можно надеяться, что уравнение Вонга имсет соответствующую симметрию, которая позволит найти их новые точные решения.

Перейдем теперь к рассмотрению более сложной конфигурации внешнего поля, определяемой постоянными неабелевыми потенциалами:

$$A_{p}^{\prime} = (\sqrt{\lambda_{1}}, \vec{o}); A_{p}^{2} = (0, 0, \sqrt{\lambda_{2}}, 0); A_{p}^{3} = (0, 0, 0, \sqrt{\lambda_{3}}).$$
 (7.19)

В этом олучае отличны от нуля следующие компоненти тензора поля:

$$\mathcal{F}_{i}^{23} = -\mathcal{F}_{i}^{32} = -g\sqrt{\lambda_{k}\lambda_{3}} = -H;$$

$$\mathcal{F}_{k}^{03} = -\mathcal{F}_{k}^{30} = -g\sqrt{-\lambda_{i}\lambda_{3}} = \mathcal{E}_{i};$$

$$\mathcal{F}_{3}^{02} = -\mathcal{F}_{3}^{20} = -g\sqrt{-\lambda_{i}\lambda_{k}} = \mathcal{E}_{2}.$$
(7.20)

Если в (7.20) положить $\lambda_1 = 0$, то получим хромомагнитное поле, а при $\lambda_3 = 0$ — хромоэлектрическое. Для поля (7.19) интегралы движения имеют вид (6.14).

Если воспользоваться параметризацией

$$mn^{2} = E \operatorname{ch} n$$
; $mn^{3} = E \operatorname{const}$;
 $mn^{4} = E \operatorname{sin} v \operatorname{sk} n$; $mn^{3} = E \operatorname{coz} v \operatorname{sk} n$; (7.21)
 $E = m\sqrt{1 + (n^{4})^{2}}$,

то при начальных импульсах и энергии, равной нулю, $p^0 = p^2 = p^3 = 0$. При этих начальных условиях для функций ch v и colv найдем следиющее явное выражение через эллиптические функции:

chu = cn
$$\left(\frac{m^2(\tau + \tau_0)}{g^{\epsilon}\sqrt{-\lambda_1\lambda_2\lambda_3}\left(\frac{1}{\lambda_1} + \frac{1}{\lambda_2}\right)\left(\frac{2}{\lambda_1} + \frac{1}{\lambda_3} + \left(\frac{m\tau}{\epsilon}\right)^2\right)}, \frac{1}{1-\tau}\right), (7.22)$$

$$\tau = \frac{\left(\left(\frac{mT}{E}\right)^2 + \frac{2}{\lambda_1} + \frac{1}{\lambda_2}\right)\left(\frac{1}{\lambda_1} + \frac{1}{\lambda_2}\right)}{\left(\left(\frac{mT}{E}\right)^2 + \frac{2}{\lambda_1} + \frac{1}{\lambda_3}\right)\left(\frac{1}{\lambda_1} + \frac{1}{\lambda_2}\right)};$$

$$\omega_2 v = \sqrt{\frac{\left(\left(\frac{mT}{E}\right)^2 + \frac{1}{\lambda_3}\right)\frac{1}{5k^2u} - \frac{1}{\lambda_1} - \frac{1}{\lambda_2}}{\frac{1}{\lambda_3} - \frac{1}{\lambda_2}}}.$$

Проведенное нами рассмотрение показывает, что в случае абелевых полей движения в траекторном и изотопическом пространствах можно рассматривать независимо. В то же время для полей, определяемых неабелевыми потенциалами, такая процедура оказывается неправомерной. Заметим также, что для конфигураций полей, задаваемых вектор-потенциалами вида

$$\mathcal{A}_{0}^{n} = 0 \; ; \; \mathcal{A}_{i}^{n} = \mathcal{S}_{i}^{n} f(t), \qquad (7.23)$$

классические уравнения движения имеют интегралы

$$\vec{u} = \vec{u}(0) - \vec{T} f(t) g / m \qquad (7.24)$$

и соответственно для второго случая, т.е. при $\mathcal{A}_c^\alpha = o$; $\mathcal{A}_c^\alpha = \epsilon^{\alpha t}$, f(t), получим

$$\vec{u} = \vec{u}(0) - [\vec{u}, \vec{\tau}] f(t) g/m$$
. (7.25)

При обсуждении решений уравнений ЯЛ наряду с плосковолновыми решениями, для которых фактически и рассматривались классические уравнения движения, были указаны также физически интересные решения как
монопольные. Поэтому перейдем к решению уравнений движения классической частицы в поле монополя. В настоящее время в литературе имеется довольно большое число публикаций [63], в которых исследуется движение классической частицы в поле монополя. Зададим поле
следующими вактор-потенциалами:

$$g d_s^{\alpha} = n^{\alpha} l(x)/x ; g d_i^{\alpha} = \epsilon^{\alpha i k} n_k (1 - f(x))/x .$$
 (7.26)

Тогда для напряженности хромоэлектрического и хромомагнитного поля получим

$$- E_{m}^{a} = (l(x)/r)' n_{a} n_{m} + (l(x)f(x)/r^{2})(\delta_{am} - n_{a} n_{m});$$

$$- H_{m}^{a} = [(f(x)-1)/r^{2}] n_{a} n_{m} + (f(x)/r)(\delta_{am} - n_{a} n_{m}).$$

Соответственно уравнения движения примут вид

$$\vec{T}_{a} = g'(\vec{E}_{a}T_{a} + [\vec{v}, \vec{H}_{a}]T_{a});$$

$$\vec{T}_{a} = g'E_{abc}(\vec{A}_{o} - (\vec{A}_{o}^{b}, \vec{v}))T_{c},$$
(7.27)

откуда для вектора изоспина найдём уравнение

$$\vec{T} = \frac{8}{8} \left(\frac{\ell(n)}{2} \left[\vec{n}, \vec{T} \right] + (1 - f(n)) \left[\vec{T}, \left[\vec{n}, \vec{n} \right] \right] \right).$$

Если положить $\ell(z) = 0$, т.е. имеем магнитный монополь, то

$$(\vec{n}, \vec{\tau}) = \frac{9}{9} (f(x)-1)(\vec{n}, \vec{\tau}).$$

Далее, если $f(\tau) \to 0$ при $\tau \to \infty$, при g' = g

$$(\vec{n},\vec{T}) = const,$$
 (7.28)

т.е. проекция вектора изоспина на направление движения будет оокраняться. В этом же случае $\ell(\tau) = 0$ уравнения движения (7.27) можно записать таким образом:

Satisfactor Taking Odpasom:

$$m\vec{\upsilon} = \frac{3}{3} \left(\frac{f^2 - 1 - \tau}{\tau} \left[\vec{n}, \vec{\tau} \right] (\vec{\tau}, \vec{n}) + f' \left[\vec{n}, \vec{\tau} \right] + \frac{f' \dot{\tau}}{\tau} \left[\vec{n}, \vec{\tau} \right] \right);$$

Раземотрим частний случай $f(x) = C = \pm 1$. f(x) = 0 . тогда получим для напряженности полей

это поле описывает дион о электрическим зарядом $g_{\rm e}$ =1/g и мэгнитным зарядом $g_{\rm m}$ =1/g . Уравнения движения в этом случае имеют вид

$$\vec{r} = (g/g)(\vec{n}, \vec{\tau})(c\vec{n} + [\vec{v}, \vec{n}])/z^{2};$$

$$\vec{T} = (g/g)(\vec{n}(\vec{v}, \vec{\tau}) - \vec{v}(\vec{n}, \vec{\tau}) - c[\vec{n}, \vec{\tau}])/z.$$
(7.29)

Если положить в (7.29) 9/9 = 1 , то эти уравнения имеют интеграл движения (п, Т) = const , т. в. вектор изоспина прецессирует вокруг единичного радиуо-вектора $\bar{\kappa} = \bar{\tau}/\tau$, а мгновенная проекция, как укавывалось выше (см. (7.28)), на вектор и сохраняется. Первое вз уравнений (7.29) в том случае интегрируется. Если ввести обозначение q = -a С , то полученный интеграл движения $\mathcal{E} = \frac{m}{J} \dot{\tilde{z}}^2 + \frac{Q}{\gamma}$ соответствует энергии пробной частицы в кулоновском поле с еффективным зарядом q . Знак q зависит от знака хромоэлектрического поля и от проекция вектора изосцина (\vec{r},\vec{T}) . Эффективная потенциальная энергия $U = \frac{\mathcal{M}^2}{2m\tau^2} + \frac{q}{\tau}$ при q < 0, где \mathcal{M} – момент импулься пробной частицы, имеет нетривиальный минимум при $\mathcal{U} \neq o$, который отвечает замкнутым локализованным траекториям в поле (7.26). При $q'/q \neq -1$ отделение изоспинового движения от траекторного затруднительно, а само движение частицы носит более сложный характер. В частности, для неабелевого хромомагнитного поля, определяемого потенциалами $\mathcal{A}_{0}^{a}=0$, $\mathcal{A}_{1}^{a}=\varepsilon^{a+b}n$, $\frac{(1-f(r))}{a^{2}}$, интегралом движения является энергия частицы $\mathcal{E} = \frac{m}{\ell} \vec{v}^2$, полный угловой момент J=m[z,v]+(1-f)n(n,т)+f+ и скалярное произведение вектора изоспина на себя $T^* = T$ T^*

Обсудим теперь движение изоспиновой частицы в поле инстантона, который зададим вектор-потенциалом вида

$$\mathcal{A}_{o}^{2} = \frac{2x^{\alpha}}{g(x^{2}+p^{2})} : \mathcal{A}_{i}^{\alpha} = \frac{2}{g(x^{2}+p^{2})} \left[-\epsilon_{i\alpha\beta} x^{\beta} \pm \delta_{i}^{\alpha} x^{\delta} \right], \quad (7.30)$$

здесь 9 - размер инстантона, а топологический варяд | Q |= 1 ; соответствующий тензор поля имеет вид

Рассмотрение движения частицы будем проводить в евилидовом пространстве, т.е.

$$x^2 = x_0^2 + x_1^2 + x_2^2 + x_3^3$$

Тогда уравнения движения в явном виде запишутся следующим образом:

$$\frac{d}{dt} \frac{m}{\sqrt{1+\vec{v}^{2}}} = \frac{4\rho(\vec{T}, \vec{v})}{(x^{2}+\rho^{2})^{2}} = m \frac{d\gamma}{dt} , \quad \gamma = \frac{1}{\sqrt{1-\vec{v}^{2}}} ;$$

$$\frac{d}{dt} \frac{m\vec{v}}{\sqrt{1-\vec{v}^{2}}} = \frac{4\rho^{2}}{(x^{2}+\rho^{2})^{2}} (\pm\vec{T} + [\vec{v}, \vec{T}]) ; \qquad (7.31)$$

$$\frac{d}{dt}\vec{\tau} = \frac{2}{x^2 + \rho^2} \left(\pm \left[\vec{x}, \vec{\tau} \right] \mp \left[\vec{x}, \vec{\tau} \right] + \vec{x} \left(\vec{x}, \vec{\tau} \right) - \vec{x} \left(\vec{x}, \vec{\tau} \right) \right).$$

Как видно, исследование системы (7.31) в общем виде затруднительно. Однако можно получить следующие интересные зависимости:

$$m \frac{d}{dt} \sqrt{1+\vec{\sigma}^2} = \pm 4g^2 (1+\vec{\sigma}^2)(\vec{\sigma},\vec{T})/(x^2+g^2)^2$$
; (7.32)

$$m\vec{\tau} \frac{d}{dt}(y\vec{\tau}) = \pm 4\rho^2 \vec{\tau}^2/(x^2+g^2)^2$$
; $\vec{\tau}^2 = const$. (7.33)

Вместе с тем из приведенных уравнений следует, что движение в поле инстантона оказивается довольно сложной поверхностью в координатном и изотопическом пространствах. Так, например, полагая $T_4 = T_2 = c$ найдем из (7.32) и (7.33), что $T_3 = const$, $(x_4^2 + x_\chi^2)/(x_4^2 + x_\chi^2)$, т. е. это поверхность второго порядка. Далее, если ввести угловой момент $M = m \left[\vec{x}, \vec{x}\right]$, то уравнение для изоснина запишется в виде

$$\frac{d}{dt} \vec{M} = \frac{4p^2}{(x^2 + p^2)^2} \left(\vec{z} \cdot (\vec{z}, \vec{\tau}) - (\vec{z}, \vec{x}) \vec{T} + [\vec{z}, \vec{\tau}] \right). \quad (7.34)$$

Полагая $x_1^2 + x_2^2 = const$, получим $M_3 = const$, т.е. проекция углового момента на третью ось сохраняется. Если при этом потребсвать сохранения M_1 (соответственно M_2), то сохраняется в M_2 (соответственно M_1) в выполняется соотношение $\dot{x}_1/\alpha_2 = \mp \dot{x}_1/\alpha_3$.

Приведенные решения г ноле мононоля и в поле инстантона подтверждают сказанное ранее о том, что в общем случае движения частищи в изоспинском и траекторном пространстве не отделяются друг от друга.

Мы обсудили решения классических уравнений движения для неабелевой частицы в плоской метрике. Однако в ряде случаев, например при исследовании задач гравитации, бывает полезным провести соответствующий учет влиящия гравитационного поля на движение частиц, имеющих изоопин. Таким образом, мы видим, что область использования классических уравнений движения для частиц с изоспином может быть существенно расширена. Учет же воздействия гравитационного поля может привести к физически ветривнальным последотвиям.

§ 8. Решения уравнения Дирака и Клейна-Гордона-Фока в неабелевих полях различной ксифигурации

История развития КЭД показывает, что изучение квантовых уравнений Дирака, Клейна-Гордона-Фока (КГФ) и Шредингера является важним этапом как в построении полной теории, так и в решении конкретних задач. Одним из замечательных примеров в этом направлении может являться теория синхротронного излучения, построенная А.А.Соколовим, И.М.Терновым и их учениками [64], которая основана на
использовании точных решений релятивистских уравнений Дирака в постоянном и однородном магнитном поле. Особый характер приобретает
знание решений соответствующих волновых уравнений в квантовой хромодинамике. Это обусловлено тем, что в нелинейных теориях, каковой
является, например, модель Янга-Миллса, применение пертуроативных

методов весьма ограничено в может привести к "утере" физически интересных эффектов. В рассмотрении различных конфигураций полей мы ограничимся неабеловыми полями. Бначале решим задачу для постоянного хромомагнитного поля, заданного неабелевыми потенциалами. В целях большей общности выберем группу SU(3), тогда для потенциалов поли имеем

$$g \mathcal{A}_{\mu}^{\prime} = (0, \sqrt{\lambda_{1}}, 0, 0); g \mathcal{A}_{\mu}^{\ell} = (0, 0, \sqrt{\lambda_{2}}, 0); g \mathcal{A}_{\mu}^{3} = (0, 0, 0, \epsilon \sqrt{\lambda_{3}}),$$
 (8.1)

где $\alpha = \overline{4, ..., 8}$; $\varepsilon = \begin{pmatrix} 0 \\ 1 \end{pmatrix}$; $\mathcal{A}_{p}^{\alpha} g = \begin{pmatrix} 0 \\ 1 \end{pmatrix}$. Для уравнения Дирака в общем виде имеем выражение

$$i\frac{\partial}{\partial t}\Psi = \{\vec{a}(-i\vec{\nabla} - g\vec{A}_a\frac{\lambda_a}{2}) + m\beta + g\vec{A}_o\frac{\lambda_a}{2}\}\Psi$$
, (8.2)

где $\vec{\lambda} = \vec{y}_0 \vec{y}$, $\beta = \vec{y}_0$ — матрицы Дврака, а λ_{α} — матрицы Гелл-Манна. Решение этого уравнения будем вскать в виде плоских волн $\psi = \psi(\rho) \exp\{-iEt + i\vec{p} \vec{x}\}$, где $\psi = (\psi_{\alpha}, \psi_{\alpha})$ — триплет
кварков; таким образом, $\psi(\rho)$ — постоянный биспинор в координатном
пространстве и триплет в изосниновом пространстве. Подставляя такой
вид решений для спиноров ψ и χ , получим уравнения

$$\begin{bmatrix} m^2 - E^2 + (\vec{\sigma} \vec{\mathcal{P}}) \end{bmatrix} \Psi = 0 ;$$

$$\chi = (\vec{\sigma} \vec{\mathcal{P}}) \Psi / (E + m) , \vec{\mathcal{P}} = \vec{p} - g \vec{\mathcal{H}}_a \frac{\lambda_a}{2} . \tag{8.3}$$

Для третьей компоненты волновой функции Ψ_c получим уравнение, которое оовпадает с уравнением для свободной массивной спинорной (S = I/2) частицы. Соответственно опектр энергий для компонент триплета (Ψ_A , Ψ_b , Ψ_c) примет вид [65]

$$E_{A,B}^{2} = \vec{p}^{2} + m_{*}^{2} \pm \sqrt{\frac{1}{4}\lambda_{1}\lambda_{2} + (\sqrt{\lambda_{1}}p_{1})^{2} + (\sqrt{\lambda_{2}}p_{2})^{2}};$$

$$E_{c}^{2} = \vec{p} + m^{2}.$$
(8.4)

Здесь $m_{\star} = m\sqrt{1 + \frac{\lambda_1 + \lambda_2}{\mu_m^2}}$ — эффективная масса частицы во внешнем по-

ле. Заметим, что аналогичное вираженте для масси получается в КЭД при решении задачи о движении электрона в поле плоской электромагнитной волны [66]. Таким образом, мы убеждаемся, что аналогия, которая была отмечена при решении классических уравнений движения изоспиновой частицы, имеет место и на квантомеханическом уровне. Соответствующая волновая функция представима в виде $\Psi = \Psi e^{\frac{1}{3}}$

 $=\psi(p)\exp(ip_{r}x^{r})$, где $S=p_{r}x^{r}$ — квазиклассическое действие. Укажем, что постоянное хромомагнитное поле калибровочным преобразованием можно привести к виду

$$A_{p}^{1} = (0; d_{1}\cos 3; -d_{2}\sin 3; 0);$$

$$A_{p}^{2} = (0; d_{1}\sin 3; d_{2}\cos 3; 0);$$

$$A_{p}^{a} = (0; \vec{0}); \vec{3} = \omega_{0}(t - \vec{z}); \vec{a} = \vec{3}, \dots, 8$$

Эти потенциали определяют поле двух глоских цветових воли эллиптической поляризации, распространяющихся в ортогональных направлениях друг относительно друга и имеющих сдвиг фази $\mathcal{T}/2$. Приведенный результат и объясняет замеченную нами аналогию. Обсудим теперь "утяжеление" масси частици более подробно. Легко видеть, что этот эффект овязан со опиральностью частици. Так, например, кварк, описиваемый компонентом волновой функции Ψ_A и имеющий стиральность $S_A = -I$, не взаимодействует с цветовой волной. В самом деле, внебирая четырехимиульсы в виде $P_{A} = (E, 0, 0, P)$, для $S_A = -I$, найщем $P_A = m^2$. Соответственно кварк, описиваемый компонентом волновой функции Ψ_B , не взаимодействует с цветовой волной, находясь в опиральном состоянии $S_B = I$, $P_B^2 = m^2$. Если же опиральносты равны $S_A = I$ и $S_B = -I$, то $P_A^2 = m^2$. Если же опиральносты равны $S_A = I$ и $S_B = -I$, то $P_A^2 = m^2$. Если же опиральносты равны $S_A = I$ и $S_B = -I$, то $P_A^2 = m^2$. Если же опиральносты равны $S_A = I$ и $S_B = -I$, то $P_A^2 = m^2$. В случае E = I энергетический спектр триплета кварков (Ψ_A , Ψ_B , Ψ_C) следующий E_A , E_C ,

$$E_{A}^{2} = m^{2} + \begin{cases} |\vec{p}| + \frac{1}{2}\alpha \\ \sqrt{\vec{p}^{2} + m^{2}} + \frac{1}{2}\alpha \end{cases}; \quad E_{B}^{2} = m^{2} + \begin{cases} |\vec{p}| - \frac{1}{2}\alpha \\ \sqrt{\vec{p}^{2} + \hat{\alpha}^{2}} - \frac{1}{2}\alpha \end{cases}, \quad (8,5)$$

Спекрт энергий E_A и E_B при $|\vec{p}| > 0$ и $|\vec{p}| > 1$ имеет лишь два разлизних значения $E^2 = w^2 \pm \frac{1}{2}\alpha$, а в общем случае таких значений E^2 — четыре. Это указывает на возможность вырожденыя спектра. Заметим также, что при E = 0 имеется также лишь два значения E^2 .

Наличие такого вырождения в общем случае весьма затрудняет построение волнового пакета, т.к., при $|\vec{p}| \to 0$ происходит "перестройка"
спектра энергии (8.5), которая, очевидно, соответствует перестройке симметрив, а соответственно и должно происходить изменение набора базисных волновых функций, по которому строитоя волновой пакет.
Рассмотрение скалярного уравнения КГФ приводит к спектру, которий
имеет значительное сходство с рассмотренным выше с тем лишь отличием, что имеется вырождение по спину. Так, для тринлета (ψ_A , ψ_B ,

$$E_{A,8}^{2} = \vec{p}^{2} + m_{*}^{2} \pm \sqrt{\sum_{i=1}^{2} (p_{i} \sqrt{\lambda_{i}})^{2}};$$

$$m_{*}^{2} = m^{2} \left(1 + \frac{\lambda_{1} + \lambda_{2} + \lambda_{3}}{4m^{2}}\right).$$
(8.6)

Существенным отличием найденного спектра для постоянного однородного неабелева поля, задаваемого постоянными неабелевыми потенциалами, от абелева задания является его вепрерывность.

Перейдем теперь к рассмотрению уравнения КТФ:

$$[(2D^{m}-i^{2})S^{AB}-2ig(A_{p})^{AB}D^{m}+g^{2}(A_{p}A^{m})^{AB}]\phi^{B}=0, (8.7)$$

где $\mathcal{A}_{p} = \mathcal{A}_{p}^{2} \frac{\tau^{\alpha}}{2}$, $(\tau^{\alpha})_{gc} = i \mathcal{E}_{\alpha \, gc}$ — для группы SU(2) в присоединенном представлении в полях, которые задаются потенциалами вида (5.15). Тогда решение этого уравнения будем искать ореди функций, представимых следующим образом: $\phi^{\dot{\alpha}} = \phi^{\dot{\alpha}}(t) \exp(-i\,\vec{p}\,\vec{x})$. После подстановки в уравнение КГФ явного выражения для потенциалов поля и волновых функций получим уравнение для функций $\phi^{\dot{\alpha}}(t)$:

$$\left[\left(\frac{d^{2}}{dt^{2}}+\vec{p}^{2}+m^{2}+2f^{2}(t)\right)S^{AB}-2f(t)(p_{A}\tau_{a})^{AB}\right]\phi^{B}(t)=0. (8.8)$$

Рассмотрим уравнение (8.8) в простейшем случае $|\vec{F}| = 0$, при этом придем к хорошо известному уравнению

$$\left(\frac{d^2}{dt^2} + \omega^2(t)\right) \varphi(t) = 0, \qquad (8.9)$$

где $\omega^2(t) = m^2 + \int_0^2(t)$. Это уравнение гармонического осциллятора о переменной частотой. Подобное рассмотрение такой системы проведено, например, в [68]. Так как функция f(t) — периодическая, то в общеголучае имеют место и неустойчивые решения — параметрический резонанс (если параметры попадают в ту область, в которой возможно его возникновение). Совсем иначе обстоит дело с решениями уравнения Дирака:

$$\left[i\gamma^{\mu}\partial_{\mu}-m+\frac{1}{2}g\,\mathcal{A}^{\mu}_{a}\,\lambda^{a}\gamma_{\mu}\right]\Psi=0. \qquad (8.10)$$

Рассмотрим группу SU(2), тогда λ^{α} — матрицы Паули, а для $\chi^{\alpha}\lambda_{\alpha}$ имеем

Как и прежде, будем полагать, что $|\vec{p}|$ = о и рассмотрим оператор $Q = (G_i^t, J^t)$. Можно показать, что построенные с ним операторы

$$\Pi_{1} = \frac{1}{4} (3 - iQ \gamma^{1} \gamma^{2} \gamma^{3}); \Pi_{2} = \frac{1}{4} (1 + iQ \gamma^{1} \gamma^{2} \gamma^{3})$$
 (8.II)

наляются проекционными и удовлетворяют условиям

$$\Pi_1 + \Pi_2 = 1$$
; $\Pi_1^2 = \Pi_1$; $\Pi_2^2 = \Pi_2$. (8.12)

Кроме того, действие оператора Q на Π_1 и Π_2 определяется соотномениями:

Воспользовавшись этими свойствами проекционных операторов П, и П, , представим решение уравнения (8.10) в виде

$$\Pi_{4,2} \, \varphi_{1,2} = \psi_{4,2} \, . \tag{8.13}$$

Подстановка (8.13) в (8.10) приводит к уравнению вида

$$(i y^{\circ} \frac{\partial}{\partial t} - m + \frac{1}{2} g a_{i,2} f(t)) \varphi_{i,2}(t) = 0$$
, (8.14)

где $\alpha_1 = i \gamma^4 \gamma^2 \gamma^3$, $\alpha_2 = -3i \gamma^4 \gamma^2 \gamma^3$. После квадрирования уравнения (8.14) получим следующее выражение:

$$\left(\frac{\partial^{2}}{\partial t^{2}} + m^{2} + \frac{1}{4}g^{2}b_{12}f^{2}(t) - \frac{i}{2}b_{12}\gamma^{5}gf'(t)\right)\varphi_{12}(t) = 0, \quad (8.15)$$

где 6, = 1. -3. Полученное травнение (8.15) легко приводится к диагональному виду. Именно, положим

$$\left(\frac{\partial^{2}}{\partial t^{2}} + m^{2} + \left(\frac{\partial}{\partial t} \beta_{i,2} \right)^{2} + \frac{\partial}{\partial t} \beta_{i,2} \right)^{2} + \frac{\partial}{\partial t} \beta_{i,2} = 0. \quad (8.16)$$

Заметим, что в отличие от уравнения Клейна-Гордона уравнение (8.16) всегда имеет устойчивне решения. Это можно показать, если заметить, что выражение, стоящее в скобках:

1 R2 | (m2 + (2 b, 2 f = arety Re) 2) + (d | R |) 2) = U2 = comt, является интегралом движения уравнения (8.16), Здесь R=R,±iR=R,. Таким образом, получим, что | 2 | < U / м2 , откуда и следует устойчивость решений уравнения Дирака в рассматриваемом поле при всех значениях параметров [69].

Укажем, что уравнение (8.16) может онть записано в суперсимметричном виде.

Далее, следуя работе [70], рассмотруч решение уравнений Дирака в группе SU(2) в поле плоской цветовой волни. Тогда уравнения имент вид

$$[ig^{\mu}\partial_{\mu} + \frac{1}{2}gg^{\mu}k_{\mu}(6(kx)(n'x) + c(kx)(n^2x))g^{\alpha}m^{\alpha} + \frac{1}{2}g^{\mu}k_{\mu}g^{\alpha}k^{\alpha}(kx) - m]\Psi = 0, \qquad (8.17)$$

где m^{α} — вектор в цветовом пространстве; $m_{\alpha}m^{\alpha}=1$; $\psi=(\psi_{A},\psi_{B})$ — дуплет фермионов. Полагая, что функция $k^{\alpha}=e^{\alpha k}m^{\alpha}m^{\alpha}/g$, где штрих означает производную по (kx), и

$$\Psi = \frac{1}{L} \left(1 + \tau m^2 \sigma^2 \right) U \begin{pmatrix} S_1(kx) \\ S_2(kx) \end{pmatrix}, \quad \tau = \pm 1,$$

для четырехкомпонентного спинора получим уравнение

которое совпадает с уравнением Дирака, для фермиона с зарядом 0,5 тр в поле плоской волны, заданной вектор-потенциалом:

$$A_{m} = k_{m} \left(b(kx)(n'x) + c(kx)(n^{2}x) \right), \qquad (8.18)$$

Решение этого уравнения имеет вид

$$U = (1 - \frac{\tau_d}{4kp} \hat{k} \hat{A}) \frac{u_0}{\sqrt{2p_0}} \exp(i\mathcal{F});$$

$$\mathcal{F} = \tau (Ax) - (px) + \frac{\tau_d}{2kp} \int (Ap + \frac{1}{4}\tau_d A^2) d(kx). \quad (8.19)$$

Здесь $A_{n} = B n'_{p} + C n^{2}_{p}$; $B = \int b(kx)d(kx)$ и $C = \int C(kx)d(kx)$; и удовлетворяет уравнению $(\hat{p}-m)u_{o} = 0$ Соответственно для столоца S получим уравнение

решения которого такови:
$$S = \exp\left(\frac{i\eta}{2}\int \varphi \cos\theta \, d\xi\right) \begin{pmatrix} \eta e^{-i\varphi/2} \sqrt{\frac{1+\eta\cos\theta}{2}} \\ i\varphi/2 \sqrt{\frac{1-\eta\cos\theta}{2}} \end{pmatrix}$$
(8.20)

Здесь
$$\eta = \pm 1$$
; $\varphi = \operatorname{arctg}(m^2/m^4)$; $\theta = \operatorname{arctg}(\frac{\sqrt{m_1^2 + m_2^2}}{m_3}$, т.е. вектор
\$\text{S}\$ пропорционален собственному вектору оператора \$\text{G}^a m^a\$, отседа
имеем, что знак заряда \$\tau\$ овязан с вноором знака $\eta = \pm 1$ действием оператора

1 = 1 (1+28 m2)

проекции. А т.к. 3 м S= 7 S, то т= 7.

Изучим теперь решение Дирака в поле монополя Полякова-Тосфта [70]. Уравнение имеет вид

$$\left((\vec{a} \vec{p} + \beta m) \delta_{mn} + \frac{1}{2} \mathcal{A} \vec{\tau}_{mn} [\vec{a} \cdot \vec{n}] \right) \Psi_m = E \Psi_n , \qquad (8.21)$$

где $\mathcal{H}=m\tau/(sk(m\tau)-1)$, $\vec{n}=\vec{\tau}/\tau$. Учитывая овойотва стандарт-

мы использовали $\psi = (\chi^+)$, $\chi^{\pm}_{im} = \chi_{in}(G^2)_{nm}$. В случае J = 0 $(\vec{J} = \vec{L} + \vec{S} + \vec{T})$ получим

Подставляя X в уравнение Дирака, получим уравнения на радиальные части волновой функции G(x) и P(x):

$$\left(\frac{d}{dz} - A \cdot\right) G^{\pm} = i \left(E \pm m\right) P^{\mp};$$

$$\left(\frac{d}{dz} + \frac{2}{z} + A\right) P^{\pm} = i \left(E \pm m\right) G^{\mp}.$$

Отсюда найдем
$$G^{\pm} = \frac{C^{\pm}}{2} \left[\left(\frac{2ik}{m} + th \frac{mz}{2} \right) e^{-ikz} - \left(\frac{2ik}{m} - th \frac{mz}{2} \right) e^{-ikz} \right];$$
 $P^{\pm} = -\frac{C^{\pm}}{2} \frac{k}{E^{\pm}m} \left[\left(\frac{2ik}{m} + th \frac{mz}{2} \right) e^{ikz} + \left(\frac{2ik}{m} - cth \frac{mz}{2} \right) e^{-ikz} \right];$
где $h^2 = E^2 - m^2$; $C^{\pm} = i/2$; $C^{\pm} = i(k/E + m)/2$.
Таким образом, получим $+ t' = u + t' = u + t'$, где

$$\Psi' = \frac{1}{2} S e \begin{pmatrix} -\sin \theta/2 e^{i\varphi} \\ \cos \theta/2 \\ -\frac{k}{E+m} \sin \theta/2 e^{i\varphi} \\ \frac{k}{E+m} \cos \theta/2 \end{pmatrix}.$$
 (8.22)

Здесь S=e = (1-m/2ik)/(1+m/2ik). при $T_5 = -1/2$ имеем

$$\psi' = \frac{1}{2} e \begin{pmatrix}
\cos \theta/2 \\
\sin \theta/2 \\
\frac{k}{E+m} \cos \theta/2
\end{pmatrix}$$
(8.23)

Найдем также некоторые свойства решений уравнения Дирака (в группе SU(2))в поле, задаваемом потенциалом [72]:

$$gA_0^a = 0$$
, $gA_1^a = \epsilon^{aik} n_k A(r)$. (8.24)

Мы также ограничимся случаем J = 0. Тогда решения уравнения Дирака

$$(i \chi^{\Gamma} \mathcal{D}_{\Gamma} - m) \Psi = 0 ;$$

$$i (\mathcal{D}_{\Gamma} \overline{\Psi}) \chi^{\Gamma} + m \overline{\Psi} = 0 ,$$
(8.25)

где $D_{r} = \partial_{r}^{-1} \partial_{r}^{A_{r}}$, $A_{r} = A_{r}^{\alpha} \frac{c^{\alpha}}{2}$ для группы SU(2), после подстановки $\Psi = \begin{pmatrix} \chi^{4} \\ \chi^{4} \end{pmatrix}$, $\overline{\Psi} = \begin{pmatrix} \chi^{4} \\ \chi^{4} \end{pmatrix}$, где X и У можно представить в виде $\sigma_{2} \chi^{4,4} = G_{+}^{4,4} + (\overline{\kappa} \cdot \overline{c}) G_{-}^{4,4} + (\overline{\kappa} \cdot \overline{c}) G_{-}^{4,$ придем к следующим уравнениям

$$\left(\frac{d}{dz} - A \right) G_{+}^{\dagger, b} = i \left(E \pm m \right) G_{-}^{\dagger, b} ; \left(\frac{d}{dz} + \frac{2}{z} + A \right) G_{-}^{\dagger, b} = i \left(E \pm m \right) G_{+}^{\dagger, b} ;$$

$$\left(\frac{d}{dt}+\mathcal{A}\right)\mathcal{D}_{+}^{\uparrow,\downarrow}=i\left(\mathsf{E}\mp\mathsf{m}\right)\mathcal{D}_{-}^{\uparrow,\downarrow};\left(\frac{d}{dt}+\frac{2}{2}-\mathcal{A}\right)\mathcal{D}_{+}^{\uparrow,\downarrow}=i\left(\mathsf{E}\mp\mathsf{m}\right)\mathcal{D}_{+}^{\downarrow,\uparrow},$$

верхние знаки берутся при подстановке функций С и р , а ничние-функций 🕽 ти 📢 . После перехода к квадрированным уравнени ям и введения нових перемених для кворка $F_{*}^{3}(z) = zG_{*}(z)$ и затиквар

ка $F_{\pm}^{\Psi}(\tau) = \tau \, D_{\pm}(\tau)$ получим системы, которые могут быть представлены в матричном виде

$$\begin{pmatrix} -\frac{d^{2}}{dz^{2}} + U_{+}(z) & 0 \\ 0 & -\frac{d^{2}}{dz^{2}} + U_{-}(z) \end{pmatrix} \begin{pmatrix} F_{+} \\ F_{-} \end{pmatrix} = \Delta^{2} \begin{pmatrix} F_{+} \\ F_{-} \end{pmatrix}, \quad (8.26)$$

где эффективная потенциальная энергия $U_{\pm} = \stackrel{2}{\downarrow} \stackrel{1}{\downarrow} \stackrel{4}{\downarrow} \stackrel{4}{\downarrow} \stackrel{2}{\downarrow} \stackrel{2}{$

$$H\mathcal{F} = \Delta^2 \mathcal{F} \qquad (8.27)$$

где $\mathcal{H}= \stackrel{2}{\triangleright} + \stackrel{2}{\bullet} + \stackrel{2}{\circ}_{3} \stackrel{4}{\circ}$; $\mathcal{F}= \begin{pmatrix} F_{+} \\ F_{-} \end{pmatrix}$; $\mathcal{F}= \stackrel{1}{\circ}_{d} \stackrel{1}{\circ}$. Таким образом, вопрос о динамике кварка (антикварка) в хромомагнитном поле сведен к нахождению решений $\mathcal{N}=2$ суперсимметричной квантовой механики мн знаем свойства решений и спектра энергий. Следуя традиции, введем операторы суперзарядов $\hat{Q}_{\pm}=(p^{\pm}, 0)\stackrel{2}{\circ}_{3}$, которые коммутируют с оператором \mathcal{N}_{+} что указывает на имеющееся в системе вырождение спектра энергии. Оператор $\hat{f}=\stackrel{2}{\circ}_{3}/2$ также коммутирует с \mathcal{N}_{+} . Можно проверить, что операторы $\mathcal{N}_{+}=\{\hat{Q}_{\pm},\hat{Q}_{-}\}/2$, \hat{Q}_{\pm} , \hat{Q}_{-} образуют супералгебру. Классификацию волновых функций, соответствующих денному значению \hat{Q}_{\pm} , можно провести по собственным значениям операторов \hat{Q}_{\pm} и \hat{f} . При этом всли $\mathcal{F}_{+/2}^{(n)}=(\hat{F}_{+}^{(n)})$ ролновая функция, соответствующая значению оператора $\hat{f} \Rightarrow \hat{f}=+1/2$, является решением уравнения (8.27) с энергией $\hat{\Delta}_{n}^{\lambda}$, то \hat{Q}_{\pm} $\mathcal{F}_{+/2}^{(n)}$ также является

решением с тем же соботвенным значением энергии. Известно, что спектр Δ_n^2 ограничен снизу $\Delta_n^2\geqslant 0$, следовательно, для кварка (антикварка) $|E_n|\geqslant m$. Явный вид основного состояния (которое, как известно, невырождено) суперсимметричной системы (а значит компонент волновой функции кварка) $\Delta_0^2=0$ следующий:

$$F_{+//2}^{(o)} = \begin{pmatrix} F_{+}^{(o)} \\ 0 \end{pmatrix}$$
 или $F_{-1//2}^{(o)} = \begin{pmatrix} O \\ F_{-}^{(o)} \end{pmatrix}$, (8.28) где $F_{\pm}^{(o)}(r) = \mathcal{N} \exp \left(\pm \int \Phi(r) \, dr \right) = \mathcal{N} e^{\pm i t} \exp \left(\pm \int \mathcal{A}(r) \, dr \right)$. Соответствующее явное виражение для функции $F_{\pm i//2}^{(o)}$ выбирается из соображений возможности нормировки. Последнее условие, очевидно, накладывает соответствующие ограничения на явный вид потенцилалов поля $\mathcal{A}(r)$, при которых возможна нормировка волновых функций. Для гладких функций $\mathcal{A}(r)$ существенным является вопрос о поведении их на бесконечности и в нуле. Это, очевидно, следует из рассмотрения вопроса о нормировке волновых функций кварков в соответствующих полевых конфигурациях, являющихся решениями классических уравнений движения поля. В частности, можно указать, что уравнения, рассмотренные нами выше (см., например, (8.15)), имеют суперсимметричный вид. Соответствующие свойства суперсимметрии уравнения Дирака в неабелевых хромомагнитных полях детально воследовались в работве [76].

§ 9. Использование алгебраических структур при построении точно решаемых волновых уравнений

Релятивистские волновые уравнения Клейна-Гордона-Фока и Дирака для заряда во внешнем электромагнитном поло являются ословой квантовой электродинамики [36]. Это обусловливается тем, что в квантовой механике соответствующие уравнения интерпретируются как одночастные, а их решения, волновые функции, полностью описывают движение частиц (бозонов и фермионов). Кроме того, в КЭД на основе точных решений уравнений строится представление Фарри, в котором учтено взаимодействие частиц с внешним полем.

В квантовой хромодинамике, интенсивно развивающейся в течение пятнадцати лет, большое внимание уделяется исследованию взаимодействия кварков с внешним кадибровочным подем [77-79]. Имеется и ряд трудностей, связанных с учетом внешнего поля, поскольку в нелинейных теориях (каковой является, например, модель Янга-Миллса) применение пертрубативных методов приводит к необходимости их более глубокого понимания и корректного использования.

Таким образом, нахождение точных решений волновых уравнений является важной и актуальной задачей. Не менее серьезной является проблема построения теории возмущений для тех классов потенциалов, которые не допускают нахождения точных решений.

В ряде случаев задача о нахождении точных решений уравнений Клейна-Гордона-Фока и Дирака фактически может быть сводена к поиску точных решений стационарного уравнения Шредингера (УШ).
Соответствующая процедура хорошо изучена и описана в литературе
[36]. К настоящему времени известно большое число потенциалов,
для которых найдени точные решения УШ. Однако имеется один потенциал (являющийся своего рода "пробным камнем"), который представляет практический интерес во многих областях физики, будь то
физика твердого тела, лазерная техника или квантовая хромодинамика. Таким "пробным камнем" является потенциал ангармонического осциллятора. Получение спектра собственных значений для этого потенциала весьма искусственно, в точные волновые функции вообще не были найдены. Обычные методы теории возмущений (ТВ) приводят к асимптотическим рядам, работать с которыми затруднительно. Такое положение было обусловлено отсутствием разработенных математических методов,

позволяющих довольно просто решать поставленние задачи. Вместе с тем в последнее время в физику активно проникают красивне по форме и глубокие по солержанию алгебраические метолы. В частности, основываясь на алгебраическом подходе и изучая симметрию уравнений Клейна-Гордона-Фока и Дирака, удалось построить теорию разделения переменных для этих урагнений. Результатом явилось получение новых точных решений волновых релятивистских уравнений и их классификация [36]. Однако к решению задачи можно подойти несколько иным образом, т.е. пойти в обратную сторону. Используя генераторы соответствующих групп, строить дифференциальные уравнения, наперел зная собственные функции используемых и получаемых операторов. Собственные числа при таком подходе находят из решения алгебраической задачи. Этот метод и будет описан нами ниже, где в качестве операторое выбраны различные координатные представления генераторов группи SU(2). Очевидно, что аналогичная процедура может быть реализована при использовании любых операторов, спектр которых и ообственные функции нам известны.

9.1. Построение точно решаемых дифференциальных уравнений Вначале мы опишем метод построения точно решаемых уравнений, используя представление группы SU(2). Известно [82], что любое неприводимое унитарное представление группы SU(2) однозначно опредставление $T_S(3)$ может быть реализовано формулой

$$[T_s(g)f](\tilde{x},\tilde{g}) = f(\alpha \tilde{x} + \gamma \tilde{g}, \beta \tilde{x} + \delta \tilde{g}), \qquad (9.1.)$$

где

Рассмэтрим пространство R_5 однородных многочленов $f(\hat{x}, \hat{y})$ степени не выше 2s. В базисе, определяемом ссотношением:

$$e_k = \tilde{x}^{s-k} \tilde{y}^{s+k}$$
, (9.2.)
 $k = -s, -s+1, ..., 0, ..., s-1, s$,

действие генераторов группы на функции е определяется следующим образом:

$$E_{e_{R}} = (s+R)e_{R-1};$$
 $E_{+}e_{R} = (s-R)e_{R-1};$
 $E_{0}e_{R} = Re_{R}.$
(9.3)

Укажем, что базис (9.2) ортонормирован (см., например, [8I]); последнее овойствс, как известно, оказывается весьма сущоственным при решении задачи на нахождение собственных значений и собственных векторов соответствующих операторов.

В пространстве R_s операторы E_* , E_- , E_- можно записать в двфференциальной форме [82]:

$$E_{-} = \tilde{\chi} \partial_{\tilde{\chi}};$$

$$E_{+} = \tilde{\chi} \partial_{\tilde{\chi}};$$

$$E_{-} = \tilde{\chi} \partial_{\tilde{\chi}} - \tilde{\chi} \partial_{\tilde{\chi}}).$$
(9.4)

Непосредственной проверкой можно убедиться, что операторы (9.4) удовлетворяют известным коммутационным соотношениям группы SU(2).

Нашей целью является построение с помощью операторов (9.4) двумерного дифференциального уравнения второго порядка в частных производных. Последнее можно осуществить, построив, например, квадратичную форму, элементами которой являются приведенные выше операторы группы SU(2).

Заметим, что, вообще говоря, по описанной ниже процедуре можно построить точно решаемое дифференциальное уравнение произвольного порядка. Однако в этом случае мы должны использовать уже не квадратичную форму, как указывалось выше, а форму соответствующего порядка (третьего, четвертого и т.д. порядков). При этом нахождение собственных значений формально сведется к решению алгебраического уравнения более высокого порядка. В остальном же решение задачи будет аналогичным предлеженному.

В целях упрошения проведения классий икации дий ференциальных уравнений второго порядка мы ограничимся случаем, когда кожищиенты при старших производных постоянные.

Для того, чтобы обеспечить постоянство козфонциентов при старших производных, сделаем замену переменных

$$\hat{x} = e^{\hat{y}}, \quad \hat{y} = e^{\hat{y}}. \tag{9.5}$$

После такой замены вместо операторов (9.4) будем иметь

$$E_{-} = \exp(\xi - \eta) \partial_{\eta} ;$$

$$E_{+} = \exp(\eta - \xi) \partial_{\xi} ;$$

$$E_{0} = \frac{1}{2} (\partial_{\eta} - \partial_{\xi}) .$$
(9.6)

В качестве примера построения дифференциальных уравнений второго порядка рассмотрим квадратичную фирму

где

$$\{E_+, E_-\} = E_+E_- + E_-E_+$$
 (9.8)

Подставляя в (9.7) явный вид E_+, E_-, E_- в соответствии с (9.6), получим

$$H = \frac{1}{4} \frac{1}{2} \frac{1}{11} + \frac{1}{2} (4a - 1) \frac{3}{2} \frac{1}{11} + \frac{1}{4} \frac{3}{11} + \frac$$

В соответствии со стандартной классификацией дифференциальных уравнений втерого порядка имеем, что при $0 < \alpha < \frac{1}{2}$ оператор M будот еператором эллиптического типа, при $\alpha = 0$ или $\alpha = \frac{1}{2}$ —параволического типа и при $\alpha < 0$ или $\alpha > \frac{1}{2}$ — спаратором гипарболичес

кого тчпа.

Далее рассмотрим случай параболического уравнения. Положив, например, $\alpha = 0$, будем иметь

Уравнение (9.10) можно привести к каноническому виду, произведя стационарную замену:

$$x = x + y', y = x - y$$
. (9.11)

В результате получим

С помощью калибровочного преобразования вида

$$u = \varphi(y) + (x, y), \qquad (9.13)$$

эдесь $\psi(y) = \exp(dy + \frac{\beta}{2}e^{-\frac{1}{2}} + \frac{y}{2}e^{\frac{y}{2}})$, можно избавиться от члена о u_y в (9.12):

$$\psi_{33} + \left(\frac{1}{2} + \beta e^{3} + 3 e^{3}\right) \psi_{x} + \left[\frac{1}{2} (\beta e^{3} + 3 e^{3}) - \frac{1}{4} (2\lambda - \beta e^{3} + 3 e^{3}) + \gamma e^{3}\right]^{2} + 2 e^{3}$$

$$(9.14)$$

Решения уравнения (9.14) записываются в виде

$$\psi(x,y) = \exp(-dy - \frac{1}{2}\beta e^{y} - \frac{1}{2}\gamma e^{y} + \ell_{x}) \sum_{k=-s}^{s} c_{k} + \ell_{k}(y)$$
 (9.15)

Коэффициенты C_R удовлетворяют рекуррентным соотношениям ($-\chi + k^2 + 2 d k$) $C_R + \beta \sqrt{(s-k)(s+k+1)} C_{R+1} + \gamma \sqrt{(s+k)(s-k+1)} C_{R-1} = 0$; (9.16)

Собственные значения λ находятся из решения уравнения

где матрица М для оператора (9.7) имеет вид

9.2. Построение многопараметрического одномерного уравнении Шредингера и нахождение его решений В качестве генераторов группы S(J(t)) возымем следующие:

$$H = Z \partial_z - S; E_+ = 2ZS - Z^2 \partial_z; E_- = \partial_Z$$
 (9.19)

Легко проверить, что эти операторы удовлетворяют коммутационным соотношениям

Для построения оператора Предингера $\partial_{\xi} - U(\xi)$, очевидно, необходимо выписать квадратичную форму поременных H, E_{\pm} . Ми выберем оледующий вид квадратичной форми:

$$H^2 + 2dH + pE_+ + yE_-$$
 (9.20)

Этот вноор определен тем, что она может бить овизана с гамильтониваном анизотропного легкоссного парагманетика [83]. Подставляя в нее явное виражение для операторов (9.19), после замени переменной $X \to \mathcal{C}^{\mathsf{T}}$ (которая необходима для обращения в единицу коэффицента при старшей производной $\mathfrak{I}_{\mathsf{T}}^{\mathsf{T}}$) получим оператор, содержащий первую производную. Для обращения в нуль коэффициента при первой производной преведем калибровочное преобразование, т.е. оператор $\mathfrak{I}_{\mathsf{T}}^{\mathsf{T}}$ заменим на $\mathfrak{I}_{\mathsf{T}}^{\mathsf{T}} + (\mathfrak{I}_{\mathsf{T}}^{\mathsf{T}} \chi(\mathsf{T}))^{\mathsf{T}}$, что соответствует поиску ремения уравнения $\Psi(\mathsf{T})$ в виде произведения функций $\chi(\mathsf{T})$. На калибровочную функцию ми наложим услевае

$$\frac{d}{ds}\left(\ln\chi(s)\right) = s - \omega + \frac{\beta}{2}e^{s} - \frac{\delta}{2}e^{s}, \qquad (9.21)$$

которов приводит к следующему виду функции $\mathcal{X}(\mathfrak{F})$:

$$\chi(\xi) = C \exp\left[(s \cdot a)\xi + \frac{\beta}{2}e^{\xi} + \frac{\gamma}{2}e^{\xi}\right]. \qquad (9.22)$$

В результате описанной процедури мы придем к оледующему уравненик Предингера для функции Ф(Г):

$$[\partial_{3}^{2} - \lambda^{2} + \frac{1}{2}\beta\gamma - \frac{1}{4}\beta^{2}e^{2\gamma} - \frac{1}{4}\gamma^{2}e^{-2\gamma} + \beta(s + \lambda + \frac{1}{2})e^{\gamma} + \gamma(s - \lambda - \frac{1}{2})e^{\gamma}]\phi(\gamma) = 0.$$
(9.23)

$$J = \begin{pmatrix} 0 & 0 & 0 \\ \beta(s-a-1) & 0 & 0 \\ (a+1)^2 + 2a(a+1) & \beta(s-a) & 0 \\ \gamma(s+a+1) & a^2 + 2da & \beta(s-a+1) \\ 0 & \gamma(s+a) & (a-1)^2 + 2a(a-1) \\ 0 & 0 & \gamma(s+a-1) \end{pmatrix}$$
(9.24)

Если $Q = \pm S$, то получам бесконечную матрицу. Так, при Q = S - 1 имеем следующий определитель при решении задачи на собственные значения:

$$det(J - \lambda E) = det J_0 = 0;$$

Вичислив этот бесконечный определитель, можно использовать рекуррентные соотношения и цепные дроби. Например, можно увидеть, что справедливо соотношение

$$J_{o} = [s(s+2d)-\lambda]J_{1} - \beta\gamma 2sJ_{2}$$
, (9.26)

где J_4 и J_2 — определители, полученные из J_5 последовательным вычеркиванием левого столоца и верхней строки. Более того, продолжая этот процесс, получим рекуррентную формулу

$$J_{n} = [(s-n)(s-n+ld) - \lambda] J_{n+1} - n\beta \gamma(2s-n) J_{n+2} . (9.27)$$

Кроме этих соотношений при оценке собственних значений матрицн может оказаться полезной следующая цепная дробь:

$$\frac{J_0}{J_1} = s(s+2a) - \lambda - \frac{2\beta\gamma s}{[(s-1)(s-1+2a)-\lambda]} + \cdots$$
 (9.28)

Рассмотрим некоторые частные олучан, для которых можно точно вниисать с.з. матрицы. Как упоминалось выше, для целого или полуцелого значения параметра матрица может быть приведена к матрице Якоби опециального вида порядка (2\$ + 1), у готорой все собственные
значения действительны [84,85] (отметим, что действительность
значений собственных чисел в квантовой механике указивает на устойчивость состояний). Так, в олучае \$ = \frac{1}{2} для с.з. имеем внражение

При S = I сооственные значения находятся из решения соответствующего кубического уравнения и могут быть представлены следующим образом:

$$\lambda_{1} = -2\tau \cos(\varphi/3), \lambda_{2} = \tau \left[\cos(\varphi/3) + \sqrt{3}\sin(\varphi/3)\right];$$

$$\lambda_{3} = \tau \left[\cos(\varphi/3) - \sqrt{3}\sin(\varphi/3)\right];$$

$$Q = \frac{1}{2\tau} - \frac{4\alpha^{2} - 2\beta\delta}{3}; p = -\frac{1}{9} - \frac{4\alpha^{2} + 4\beta\delta}{3}.$$

Здесь и далее положим $\cos 2\varphi = Q$ τ^{-3} , $\tau = -|p|$ righq. Из приведенных выражений видно, что в частном случае $\alpha = 0$ и $\beta = \delta = \beta$. Эти собственные значения совпадают с результатами, приведенными в [96]. Рассмотрение матрицы йкоби показывает, что при $\alpha = 0$ уравнение для собственных значений порядка (25+1) распадается на произведение двух уравнений порядка (5+1/2) (для полуцелых δ) или соответственно δ и $(\delta+1)$ (для целых δ). Последнее позволяет точно внчислить спектр собственных значений вплоть до $\delta = 7/2$; в этом случае мы приходим к двум уравнениям четвертой степени. Этот результат является следствием симметрии мгтриц Якоби рассматриваемого типа. Ниже приведены собственные значения для различных значений параметра δ до $\delta = 1/2$;

$$\lambda_{1} = \frac{5}{2} - \sqrt{\frac{5}{2}} + 4B^{2}; \lambda_{4} = 2\left[\cos(\varphi/3) + \sqrt{3}\sin(\varphi/3)\right];$$

$$\lambda_{2} = \frac{5}{2} + \sqrt{\frac{5}{2}} + 4B^{2}; \lambda_{5} = 2\left[\cos(\varphi/3) - \sqrt{3}\sin(\varphi/3)\right];$$

$$\lambda_{3} = -2 + \cos(\varphi/3);$$

$$Q = -\frac{35}{2^{2}} + \frac{32}{3}B^{2}; P = -\frac{13}{3} - \frac{16}{3}B^{2}.$$

$$S = \frac{5}{2!}\lambda_{1,4} = \frac{1}{4} + 2\tau_{1,2} \cos 2(\varphi_{1,2}/3);$$

$$\lambda_{2,5} = \frac{1}{4} - \tau_{1,2} \left(\cos 2(\varphi_{1,2}/3) + \sqrt{3} \sin(\varphi_{1,2}/3)\right);$$

$$\lambda_{3,6} = \frac{1}{4} - \tau_{1,2} \left(\cos 2(\varphi_{1,2}/3) - \sqrt{3} \sin(\varphi_{1,2}/3)\right);$$

$$\tau_{AB} = \frac{32}{3}\beta^{2} + \frac{4}{3}\beta - \frac{126}{27}; \quad \rho_{1,2} = \frac{16}{3}\beta^{2} + \frac{8}{3}\beta - \frac{28}{9};$$

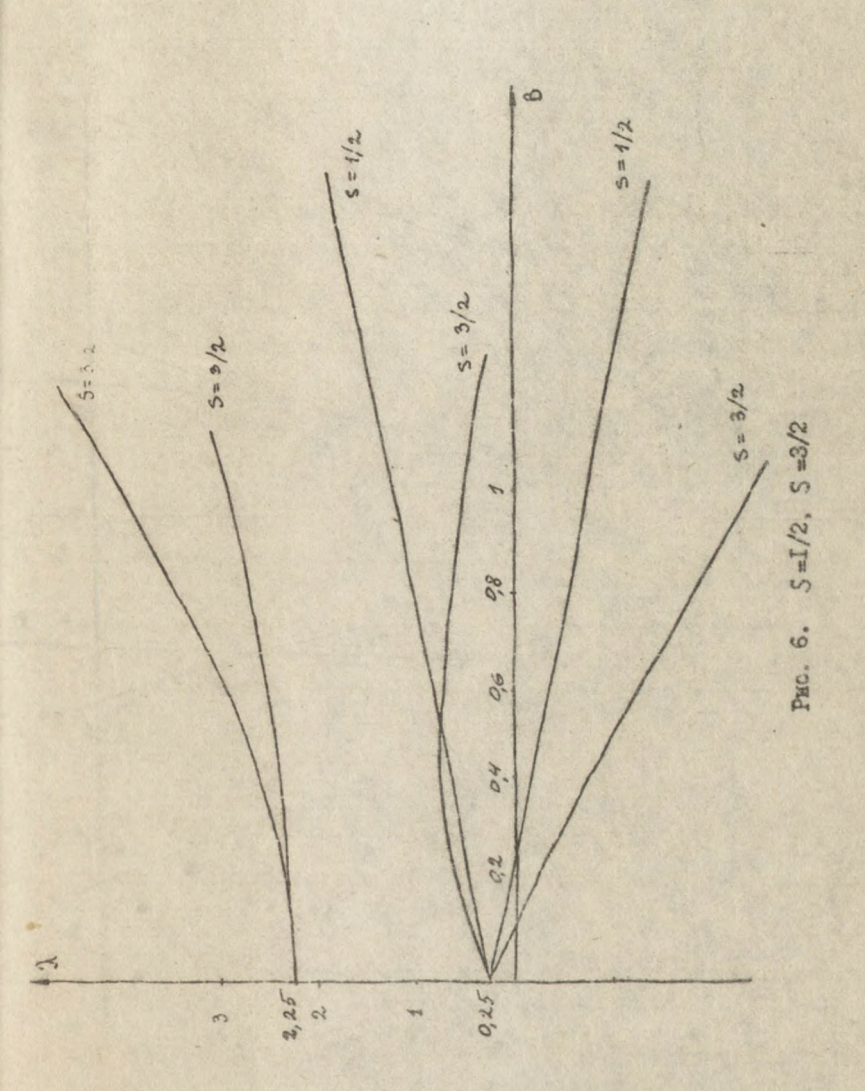
$$\cos 2\varphi_{1} = \frac{9}{1}\sqrt{2}; \quad , \quad i = 1, 2.$$

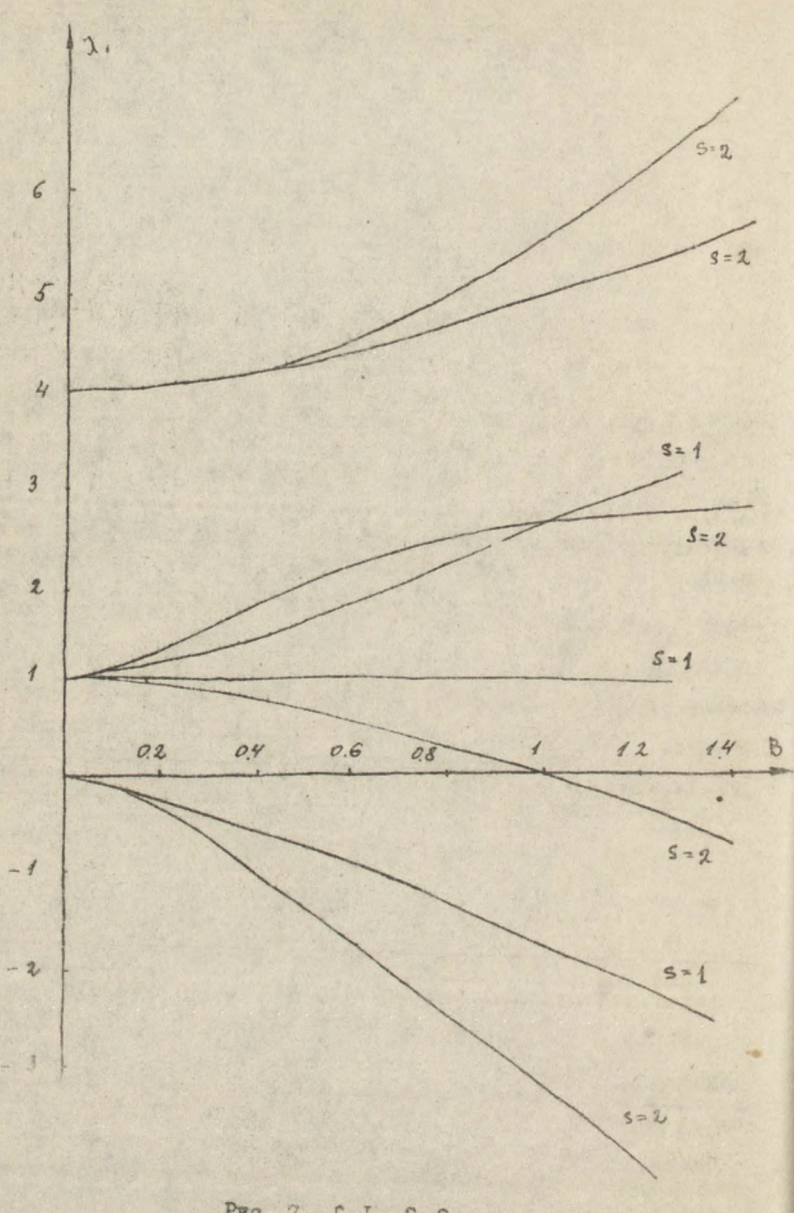
На рио.6,7,8 построени графические зависимости собственных значений β для значения параметра $\beta = 1/2$, $\gamma = 1/2$, $\gamma = 1/2$. Там же указаны асимптотики значений $\gamma = 1/2$, $\gamma = 1/2$, $\gamma = 1/2$. Там же указаны асимптотики значений $\gamma = 1/2$, $\gamma = 1/2$, $\gamma = 1/2$. Там же указаны асимптотики значений $\gamma = 1/2$. Эти асимптотики указывают, что собственные числа при больших значениях параметра $\gamma = 1/2$ имейтых функций от $\gamma = 1/2$ одно из чисел асимптотически не зависит от параметра $\gamma = 1/2$ имейт место зависимости $\gamma = 1/2$ имейт место зависимости $\gamma = 1/2$ имейты теперы к решению уравнения (9.23) для потенцияла вида $\gamma = 1/2$. Решение ущих исходя из того, что было сказано выше, представляется в виде

$$\varphi(\xi) = [\chi(\xi)]^{\frac{1}{2}} \stackrel{45}{\geq} e_n \psi_n(\xi), \qquad (9.29)$$

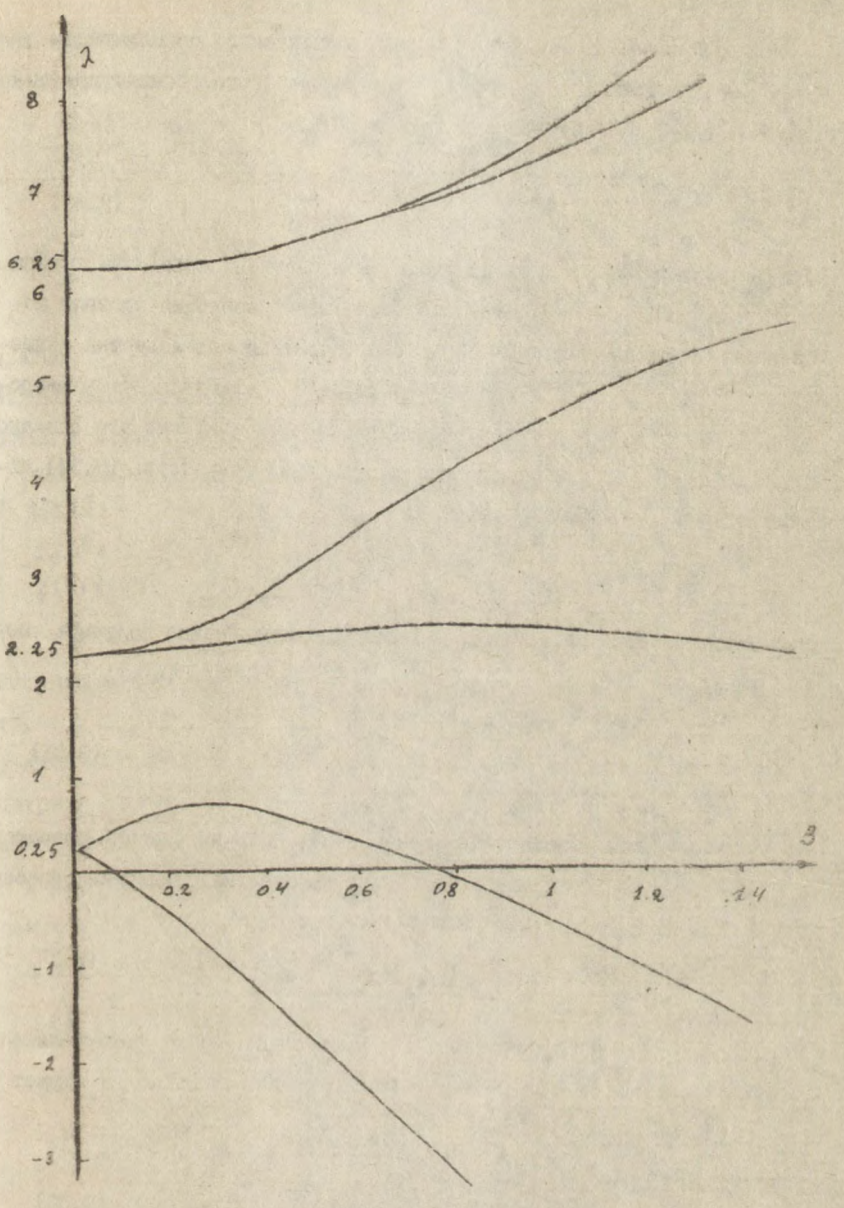
Несложно убедиться в справедливости этого результата для темильтонивнов-линейных комбинаций и E_{\pm} , посксльку сферические функции являются собственными для этих операторов [80-82]. Коевфициенты C_n находятся из решения системы линейных уравнений $(n^2-2d\cdot n-\lambda)C_n+\beta\sqrt{(s-n)(s+n+1)}C_{n+1}+\sqrt{(s+n)(s-n+1)}C_{n-1}=0$,

РДВ C = C = O , n = -5, ..., O, ..., S .





PMc. 7. S=I, S=2



PMG. 8. S=5/2 II3

9.3. Ураннение Шрадилгера для ангарменического осщилитера

для построения оператора Н ситермонического осциллятора выберем следующие генераторы в группе SU(2):

Эти генераторы могут быть получены из известной реализации группы SU(2) [80] после состветствующего преобразования системы ко-ординат. Базноные векторы сператоров (9.30) хорошо известны и имеют вид $e_{\underline{g}} = e_{\underline{g}} \times^{\underline{g}}$. Система векторов $e_{\underline{g}}$ является ортонормированной, а скалярное произведение определяется так, как это сделано в работе [81]. Коммутационные состношения операторов (9.30) лв-ляются тредиционными для групп Ль:

Заметим, что необходимый для нас вид оператора можно получить, построин из операторов (9.30) оледующую квадратичную форму:

$$E_{+}^{2} + \beta E_{+} + \gamma E_{-} + 2d E_{0} =$$

$$= \partial_{2}^{2} + (\beta - 2d |z| - \gamma z^{2} + 2s |z|^{-1}) \partial_{z} +$$

$$+ z^{2} s(s-1) + (\beta |z|^{-1} + \gamma |z|) s.$$
(9.31)

Осуществляя калибробочное преобразование, получим искомий оператор $\ddot{\mu} = \ddot{\delta}_2^2 - U(z)$, в котором потенцавл выражается следующим образом :

$$-U(z) = -\frac{1}{4}\beta^{2} + (4+2s)\alpha + [(4+2s)\gamma + \alpha\beta]|z| + + (\frac{1}{2}|\gamma - \alpha^{2})z^{2} - \alpha\gamma|z|^{3} - \frac{1}{4}\gamma^{2}|z|^{4}.$$
 (9.32)

Перейдем теперь к решению УШ для построенного нами ангармонического потенциала (9.32). Как отмечалось ранее, решение УШ может быть представлено в виде

ОНТЬ ПРЕДСТАВЛЕНО В ВИДЕ
$$\psi(z) = \left[\chi(z) \right]^{-1} \sum_{k=-s}^{s} \frac{c_{k}|z|^{k}}{\sqrt{(s-k)!(s+k)!}}$$
, (9.33)

гле $(X(x) = x^3 + 3^3 = x^2 \exp \left[\frac{1}{2} (\beta |x| - 3|x|^2 - \frac{3}{2} |x|^2 \right] -$ калисровочная функ-

ция; А, В, у - произвольные параметры. Коэффиционт Са тся из системы рекуррентных соотношений

$$\frac{3(s+k+1)C_{R-1}}{\sqrt{(s-k+1)!(s+k-1)!}} + \frac{(2dk-\lambda)C_R}{\sqrt{(s-k)!(s+k)!}} + \frac{(9.34)}{\sqrt{(s-k+1)!(s+k+1)!}} + \frac{\beta(s-k+1)C_{R+1}}{\sqrt{(s-k-1)!(s+k+1)!}} + \frac{(1+s-k)(s-k+2)C_{R+1}}{\sqrt{(s-k-2)!(s+k+2)!}} = 0,$$

причем С = С , &= 0, ±1, ..., ±5.

Задача нахождения с.з. д П при произвольных вначениях в сво-

цится к нахождению с.з. бесконечной матрицы

$$\begin{cases} (s-k-1)(s-k-1) & 0 & 0 & 0 \\ \beta(s-k-1) & (s-k-1)(s-k) & 0 & 0 \\ 2d(k+1) & \beta(s-k) & (s-k)(s-k+1) & 0 \\ 3d(s+k+1) & 2dk & \beta(s-k+1) & (s-k+1)(s-k+1) & 0 \\ 0 & \gamma(s+k) & 2d(k-1) & \beta(s-k+1) & 0 \\ 0 & \gamma(s+k+1) & 2d(k-2) & 1 \end{pmatrix}$$
Если парамотр $k=\pm s$, то приходим к полубеоконечной матрице, ко-

торая в некотором смысле подобна матрице, всэникающей при решении задачи на с.з. уравнения Матье. При целом или полуцелом индексе s матрица (9.35) становится конечной, и с.з. находятся из решения алгабранческого уравнения порядка (2s+1). Для некоторых значений

и при произвольных значеных параметров «, В, У собственные значения и ссответствующие им функции имеют довольно простое выражение: S=0, 1=0, 4(2)=Coto=Coexp{ 1/2 (B|Z|-4|Z|2-17/213)}

$$S = \frac{1}{2}, \lambda_{1,2} = \pm \sqrt{a^{2} + \beta_{1}}, \psi_{1,2} = \psi_{0} C_{1,2} \left(1 + \frac{a - \lambda}{\beta} + 21\right),$$

$$S = \frac{1}{2}, \lambda_{1,2} = \pm \sqrt{a^{2} + \beta_{1}}, \psi_{1,2} = \psi_{0} C_{1,2} \left(1 + \frac{a - \lambda}{\beta} + 21\right),$$

$$S = \frac{1}{2}, \lambda_{1,3} = A + B, \lambda_{2,3} = -\frac{A + B}{2} \pm i \frac{\sqrt{3}}{2} (A - B),$$

$$A^{3} = 2\chi^{2} + \sqrt{4\chi^{4} - \left(\frac{14}{3}\right)^{3} (\lambda^{2} + \beta_{1})^{3}}, B^{3} = 2\chi^{2} - \sqrt{4\chi^{4} - \left(\frac{14}{3}\right)^{3} (\lambda^{2} + \beta_{1})^{3}},$$

9.4. Оупарошиматрин

Здесь мы рассмотрим решение задачи для ангармонического оспиллятора и изучим свойства решений для ряда задач, в которых возможно проявление такого интересного явления, как суперсимметрия.

В предыдущих частях работы, используя представление группы SU(2), была построена серия гамильтонианов, описывающих многопараметрический ангармонический осциллитор. Апалитическое выражение для гамильтониана с номером n=2 можно представить в виде

$$|H_{n} = \partial_{x}^{2} - U(s, x) = \partial_{x}^{2} - \left[\left(\frac{y}{2} \right)^{2} x^{4} + dy |2|^{3} + dy |2|^{3} + dy |2|^{2} + dy |2|^{3} + dy |2|^{2} + dy |2|^{2} + dy |2|^{3} + dy |2|^{2} + dy |2|^{2} + dy |2|^{3} + dy |2|^{2} + dy |2|^{3} + dy |2|^{3$$

Для каждого гамильтоннана, т.е. при s=0, 1/2, I, 3/2... и при некоторых значеных энергии E_k , найдены точные решения УШ

$$H_n \psi_n = E \psi_n . \qquad (9.38)$$

Как показано выше, нахождение с.з. энергии сводилось просто к решению алгебраической задачи, для волновых функций, удовлетворяющих уравнению (9.38), найдено следующее представление:

$$\psi_{n}(z) = \psi_{0}(z) \sum_{k=-s}^{s} \frac{c_{k} |z|^{s-k}}{\sqrt{(s-k)!(s+k)!}},$$
(5.39)

где $\psi_{o}(z) = e^{-\sqrt{2}} = e^{-\sqrt{2}} \left[\frac{1}{2}(\beta|z| - \lambda|z|^2 - \frac{y}{3}|z|^3\right]$ — решение уравнения (9.38) при S=0; параметри α , β — произвольные, а $\gamma > 0$. Из представлении волновых функций (9.39) видно, что при любом (которов может привыть как целые, так и полуцелые значения) они нормируемы. Последнее свойство оказывается весьма важным при изучении собственных функций и собственных значений гемильтонивнов вида (9.37). Счевидно, что свойство нормируемости изчезает, если у параметра $\gamma > 0$ изменить знак на противоположный. Прежде чем .е-рейти к дальнейшему рассмотрению свойств гамильтонианов, определя-

емых соотношением (9.37), заметим, что при s=0 потенциал U(0,z) и волновая функция (9.39) в соновном состоянии $\psi_0=C_0$ е связяны следующим простым соотношением (здесь и далее модуль необходимо опустить):

$$U(0,2) = -(2 W)^{2} + 2 W . \qquad (9.40)$$

Последнее свойство потенциала и волновой функции при s=e указывает на связь полученного нами выражения (9.37) с суперсимметричным гамильтонианом квантовой механики, построенной Виттеном [73]. Это обусловнено тем, что при s=e гамильтониан (9.37) может бить факторизован (необходимые и достаточные условия возможности факторизации гамильтонианов сформулировани в теоремах I—5 и части 3 статьи Инфельда и Халла [86]). Для факторизации гамильтониана внеберем дифференциальные операторы первого порядка L^{\dagger} и L^{\dagger} такие, через которые можно выразить гамильтониан (9.37) при s=e. Очевидно, такими линейными операторами могут бить следующие:

здесь * означает соприжение. Легко видеть, что коммутационные соотношения для операторов L и L^{\dagger} имеют вид $[L^{\dagger},L^{\dagger}]=2\sqrt[2]{W}$. Используя выбранные операторы, гамильтониан H_{\bullet} может быть записан в факторизованном виде

Отметим, что представление гамильтониана в виде (9.41) через некоммутирующие операторы имеют место в суперсимметричной теории (см., например, работу [74]). В этом случае простейший суперсимметричный матричный гамильтониан, построенный из некоммутирующих операторов L⁺ и L⁻, может быть представлен следующим образом:

$$\hat{H} = \begin{pmatrix} L L + 0 \\ 0 L + L \end{pmatrix} = \begin{pmatrix} H_0 & 0 \\ 0 & H_{-2} \end{pmatrix} = \begin{pmatrix} \sigma_2^2 & \sigma_2^2 W - (\sigma_2 W)^2 & 0 \\ 0 & \sigma_2^2 & \sigma_2^2 W - (\sigma_2 W)^2 \end{pmatrix}.$$

Операторы $\hat{L}^* = \hat{L} = \hat$

Далее заметим, что гамильтонианы $H_o = L^{-1}L^{+}$ и $H_{-2} = L^{+}L^{-}$ связани между собой преобразованием Дарбу [87]:

$$H_{0} = H_{1} + [L, L^{+}] =$$

$$= \partial_{2}^{2} - \partial_{2}^{2} W - (\partial_{2} W)^{2} + 2\partial_{2}^{2} W = \partial_{2}^{2} + \partial_{2}^{2} W - (\partial_{2} W)^{2}.$$

Известное соотношение имеет место и для волновых функций

$$L + (E_0) = 0 ; + (z, E_i) = \frac{1}{\sqrt{E_i}} + \frac{1}{\sqrt{2}} (z, E_i) .$$
 (9.42)

Проведенное нами рассмотрение показывает, что при значении S=0 преобразование Дарбу позволило получить гамильтониан M_{-2} , который может быть объединен с исходным суперсимметричным матричным гамильтонианом. Отмеченное свойство системы, которую представляет собой ангармонический осциллятор, свидетельствует о его богатой внутренней структуре, а также оложности физических систем, огиснваемых при помощи этой модели. Интересным является сходство спектров гамильтонианов H_0 и H_{-2} , так как они отличаются лишь тем, что в спектре H_0 отсутствует уровень H_0 у указанная ососенность спектров H_0 и H_0 может оказаться весьма полезной при построении теории возмущений, а соотношение (9.42) — для волновых функцый при нахождении волновых функцый одного из операторов по известным функциям второго [88, 89].

Сделаем теперь некоторые общие замечания относительно получан-

них результатов. Как отмечелось више, гамильтониан (9.37) был получен, исходя из генераторов группы SU(2), которые в однопараметрическом представлении имели выражение (9.30):

Дегко видеть, что квадратичная форма, построзиная из этих операторов, при значении параметра 5=0 может бить представлена в факторизованном виде. Кроме того, стязь между потенциалом $U(0, \frac{2}{\pi})$ и волновой функцией, отмеченная нами више, сохраняется. Это умазивает на общий характер свойств суперсимметрии моделей, построенних на основе гтуппы SU(2). Заметим также, что преобразования системи координат не затрагивают это свойство. Так, например, преобразуя систему координат, от генераторов, определяемых формулами (9.30), перейдём к следующим генератором;

Еоли взять их за основу, то можно построить квадратичную форму(\mathbf{I} 23) $H^2 + 2dH + \beta E_+ + \gamma E_- = \frac{\partial^2}{\partial y} - d^2 + \frac{1}{2}\beta\gamma - \frac{1}{4}\beta^2 e^{2\gamma} - \frac{1}{4}\gamma^2 e^{2\gamma} + \frac{\beta}{2}(2s+1+2d)e^{\gamma} + \frac{\gamma}{2}(2s+1-2d)e^{\gamma}$

которая, как и форма (37), при S=Q обладает свойством суперсимметрии. Здесь в качестве функции $W(\xi)$ необходимо выбрать следующую:

W(3) = - 23 + 1 (pe - ge).

Далее можно построить матричний суперсимметричний гамильтониан и определить суперзаряды по процедуре, описанной више. В статье Инфельда и Халла перечислен ряд потенциалов, для которых выполнены условия фоторизации гамильтонианов (в этой расоте имеется сиясок ЗІ чида потанциалов), а следовательно, возможно построение суперсим тричных гамальтонианов и нахождение спектра энергий. В нашем случае ситуация более сложноя, посксльку при значении индекса 5,

отличного от 0, факторизация проводится следующим образом (для примера рассмотрим потенциал вида (9.37)):

$$L^{\pm} = \partial_{2} \pm \frac{1}{2} \left(\beta - 2 d^{2} - \gamma z^{2} + 2 f' / f \right). \tag{9.43}$$

Здесь $f(\Xi) = \sum_{R=-s}^{s} \frac{C_R |\Xi|^{s-R}}{V(s-R)!(s+R)!}$. При этом H_+ соответствует индексу s, а H_- — индексу f(s+1) , т.е. в результате преобразования потенциал $U_S(a,\beta,y)$ переходит в $U_S(a,\beta,y)$ переходит в $U_S(a,\beta,y)$ переходит в $U_S(a,\beta,y)$. Используя явное внражение для потенциалов рассмотренных типов, отметим, что существует еще один тип симметрии:

$$U_{s}(\alpha,\beta,\gamma) = U_{-(s+1)}^{(-\alpha,-\beta,-\gamma)}$$
 (9.44)

Таким образом, используя свойства симметрии, мы расширили множество гамильтонианов, для которых возможно найти точные решения уш при некоторых значениях энергии. Неприменимость известных методов нахождения спектра может свидетельствовать о более сложной структуре решений УШ в том случае, если питаемся найти уровень для индекса S, превышающего состветствующий параметр модельного гамильтониана.

9.5. ВКБ-приближение для ангармонического осщиллятора

В этой части на примере ангармонического осциллятора сформулируем ТВ и укажем соответствующий метод построения квазиклассического приближения.

Рассмотрим коммутирующие оператори L^{\pm} , определяемие соотношением (9.43).

Иопользун приведенные операторы, построим оператор Шредингера

$$H = [L^{+} = \partial_{x}^{2} - U(s,z) = \partial_{z}^{2} + (\partial_{x}W)^{2} - \partial_{x}^{2}W$$
 (9.45)

Явное виражение для уравнения Шредингера может бить записано в виде (9.37).

Прежде чем выписать решение этого уравнения, напомним, что

приведенный высе метод построения волнового уревнения был предложен шредингером в 1926 году [95] и получыл название метода факторизации. Несмолько поэже весьма подробно он был изложен в работе Инфельда и Халка [36]. В настоящее время к такой пропедуре вернулись в бурно развивающемся направлении — суперсимметричной квантовой механике [73,74].

Решения уравнения (9.37) при целых или полуцелых индокозх можно представить в оледующей форме;

$$\psi_{2s} = \psi_0 \sum_{k_3=3}^{s} \frac{C_R |z|^{s-R}}{\sqrt{(s+k)!(s-k)!}}, \qquad (9.46)$$

где $\psi_0(2) = e^{-W(2)} = e^{-2\pi i \left(\frac{1}{2}(|\beta||2|-\alpha||2|^2 - \frac{y}{3}|2|^3)\right)}$, $\gamma > 0$. Легко вицеть, что уравнение (9.37) — уравнение ангармонического

оспыллятора. Мы рассметрим частный случай уравнения (9.37) при S=0, $\alpha=0$ и для удобства сделаем замену переменной. В результите мы придем к довольно простому уравнению

$$\left(\partial_{2}^{2} - \left(\frac{1}{2}\right)^{2} \left(2^{2} - \alpha^{2}\right)^{2} + \gamma |2|\right) \psi = E \psi$$
 (9.47)

Волновая функция основного состсяния для уравнения (9.47) имеет вид

$$\psi_{0} = \exp\left(\frac{\chi}{2}\left(\alpha^{2}|z| - \frac{1}{3}|z|^{3}\right)\right)$$
 (9.48)

Можне заметить, что оператор Предингера, построенний из некоммутировийх операторов $L^{\frac{1}{2}}$, имеет основное соотояние энергии, разное нулю, при этом дно ямы находится ниже этого урогня энергии на величину α . В качестве примера найдем энергию основного состояния для потенциала, часто рессматриваемого в литературе и имеющего виражение $U = \left(\frac{X}{2}\right)^2 \left(z^2 - \alpha^2\right)$. Вичисления будем проводить, используя обычный метод TB, где волновые функции берутся в виде (2. 43), а возмущение имеет вид $\Delta U = \chi \left(\frac{Z}{2}\right)^2$. Заметия, что нозивкающие в вычислениях интегралы известны и связаны с хорошо и у-

ченными функциями Эйри [90]. 5 результате вичислений для основного соотояния получим следующее значение энергии:

где функция $J(\mathfrak{z})$ определяется следующим образом:

$$J(x) = \frac{-1/3}{3} \left(\sum_{m=0}^{29} \frac{3^{m/3}}{m!} \sum_{m=1}^{2} \left(\frac{m-2}{3} \right) \right),$$

Легко видеть, что выражение для энергии содержит параметр у и по нему является веаналитическим виражением в пуле. Однако, несмотря на указанную неаналитичесть по параметру у , мы не отказываемися от применения теории возмущения, а также не говорим о ее неприменемсоти (ом., например, построение ТВ в работе [91]).

Рассмотрим теперь поотроение ВКБ-приближения в случае ангармонического осциллятора. Впачале напомним, что волновая функция в квазиклассическом приближении ищется в виде

$$\psi(z) = A(z) e^{iS(z)/\hbar}$$
 (9.50)

Мы рассматриваем стациснарную одномерную задачу. Если оператор Предингера представим в виде (9.45), то для действия и предекспоненциальной функции A получим оледующую спотему уравнений [92]:

$$\partial_{2}(LS+W) \cdot \partial_{2}(-iS+W) = E;$$

 $2\partial_{2}S \cdot \partial_{2}A = \partial_{2}^{2}(W+iS) iA.$ (9.52)

Первое уравнение порядка квантовой поправки в нулевой степенк t, а второе — порядка t. Далее в частном случае нулевых значений d, з и E_{c} о для классического действия получим слодующее выгажение

$$\sum_{k,n} = -\frac{1}{2} \left(\frac{x}{3} |z|^3 - \alpha^2 \chi |z| \right) + eonyt, \quad (9.53)$$

ири этом $\frac{1}{2}$ $W(s=0)=\frac{1}{2}(\chi|z|^2-\beta)$. Указанный результат получен посредс-

Вначале строим некоммутирующие операторы

где $P_{\kappa}(2)$ — полином степени κ . Далее строим оператор Предингера и выписываем уравнение

По нашему построению основное состояние энергии равно нулю, т.е.

 $E_0=0$, в мы можем написать волновую функцию в основном состоянии: $\Psi_0(z)=\exp\left(-\int\limits_{-\infty}^\infty P_n(z)\,dz\right)$. Псоле этого для исследуемого потенциала отепени 2° находим разность $\Delta U_{2n}=U_{2n}-P_n^{-2}$ (легко видеть, что коэффициенти у P_n всегда можно подобрать так, чтобы степень возмущения била меньше 2n-1). Используя затем обичную ТВ, можно вычислить для исследуемого потенциала $\Delta E_0'$. Волновая функция $\Psi_1(z)$, так же как и все последующие, может быть построена в виде произведения основного состояния на полином, степень которого ссотестетвует номеру возбужденного состояния:

вые необходимо для удовлетворения условия наличия соответствующего числа нулей. Коэффициенты этого полинома могут быть получены из условий ортогонализации волновых функций $\Psi_{\ell}(z)$ и минимизации значения энергии. Отметим, что ТВ можно неоколько улучшить, разбивая множество полиномов $P_{\kappa}(z)$ на классы в соответствии с классификацией P. Тома и обобщениями В.И.Арнольда. Последнее позволит ускорить процес скодимости и заранее отделить карактерные физические области пруг от друга, так как известно, что пережод от одного типе квтаотрой к другому приводит , вообще говоря, к изменению опектра. В нашем случае мн будем иметь переходи типа $A_k \rightarrow A_{k-1}$ и т.д. Этносительно реализации уксранной процедурь в многомерьом случае элемует указать, что, по-видимому, ока может быть проведена, котя в этом

$$\mathcal{D}_{2}S = -\frac{1}{2}\chi(|z|^{2} - \alpha^{2}) = 0;$$

$$\mathcal{D}_{2}^{2}S = -\chi|z| = 0.$$

Вполне счавидным становится обобщение рассуждений на случай многочленов более высоких становий, чем та, чтот мы рассмотрели. В одномерном случае полином $W(\hat{x})$ станови \hat{k} по известной классификации
элементарных катастроф приводит нас к катастрофам типа $A_{\frac{1}{2}(\hat{k}-1)}$ ($A_{\frac{1}{2}} = A_{\frac{1}{2}}$, если \hat{k} — четное). В показатели экспоненти соответстеующей волновой функции. Таким образом, при вичислении матричных
элементов и построении ТВ (если потенциал не совпадает точно с
($\frac{1}{2}$ $\frac{1}{2}$

pure ement and $ik((p+1)^{-1}x^{p+1} + \sum_{i=1}^{p-1}a_ix^{i})$ dx, $k=2\pi/\lambda$,

точки дают малый вклад в значение интеграла; окрестности критические точки дают малый вклад в значение интеграла; окрестности критических ких морсовских точек вносят вклад, а вклад окрестностей вирожденной точки (критической) является сингулярным типа $(1/\lambda)^3$. Например, в случае особенности складки, рассмотренной внше, сингулярность подесна $(4/\lambda)^4$, что очевидно следует из рассмотрения формулы (9.49). Отмеченная сингулярность обично связывается с инстантон мым вкладом и ее относят к непертурбативным эффектам, которые не могут бить учтены посредством ТВ. До наотоящего времени, как правило, вполне удовлетворительной являнось модель, в которой классическое действие представлялось в виде квадратичной функции по δ . В соответствии о уномянутой классификацией такие функции не имеют вырожденних критических точек. Отсюда как следствие вепертурбативных эффектов.

Описанный выше метод позволяет позгроить ТЬ для любого полиноманального потенциала степени 2 к. (пишем соответствующю проледуру. Вначале строим некоммутирующие операторы

где $P_{\kappa}(\hat{z})$ — полином степени κ . Далее строим оператор Предингера и выписиваем урагнение

По нашему построению основное состояние энергии равно нулю, т.е.

 $E_0=0$, в мы можем написать волновую функцию в основном состоянии: $\Psi_0(z)=\exp\left(-\int\limits_{-\infty}^\infty P_n(z)\,dz\right)$. Пссле этого для исследуемого потенциала отепени 2° находим разность $\Delta U_{2n}=U_{2n}-P_n^{-2}$ (легко видеть, что коэффициентн у P_n всегда можно подобрать так, чтобы степень возмущения била меньше 2n-1). Используя затем обичную TB, можно вичислить для исследуемого потенциала $\Delta E_0'$. Волновая функция $\Psi_1(z)$, так же как и все последующие, может быть построена в виде произведения основного состояния на полином, степень которого ссотретствует номеру возбужденного состояния:

постоя пес необходимо для удовлетворения условия наличия соответствующего числа нулей. Коэффициенты этого полинома могут быть получены из условий ортогонализации волновых функций $\Psi_{\ell}(z)$ и минимизации значения энергии. Отметим, что ТВ можно несколько улучшить, разбивая множество полиномов $P_{\kappa}(z)$ на классы в соответствии с классификацией P. Тема и обобщениями В.И.Арнольда. Последнее позволит ускорить процес сходимости и заранее отделить характерные физические области пруг от друга, так как известно, что перекод от одного типе квтастройи к другсму приводит , вообще говоря, к изменению спектра. В нашем случае мн будем иметь переходи типа $A_{k} \rightarrow A_{k-1}$ и т.д. Относительно реализации указаньой процедурь в многомерьом случае элелует указать, что, по-видимому, ока может быть проведена, Котя в этом

олучае возникает ряд трудностей с определением предекспоненциальной функции. Кроме того, возникают затруднения, связаные с появлянием новых типов особенностей в показателе экспоненти-так назираемых резонансов.

9.6. Обобщение процедуры использования групповых методов на группы высших размерностей

Прежде чем провести соответствующую процедуру обобщения, сделаем некоторые замечания относительно изложенного метода построения уравнения Шредингера на основе использования генераторов группы SU(2). Впервые описаннал процедура была предложена в работах [96,97]; утверждение с возможности представления точно решаемых типсе УШ в виде квадратичных форм от генераторов различных групп, обсуждение построения ТБ., свойств суперсимметрии сделани в работах [98-400], в работе [101] на основе этого же подхода проведена классификация точно решеемых уравнений Шредингера, указаны потенциали и соответствующие им квадратичено формы в заданной системе координат. Последный результат может представлять определенный интерес при выполнении расчетов и его мы ныже приведём в таблице.

Пэрейдем теперь к постронию дийференциальных операторов, соответствующих матрицем в группе SU(3). Оченидно, таких генераторов будет 8. Выборем матрицу

Тогла получим

$$\begin{pmatrix} 1 & 0 & 0 & 1 & 0 & 0 & 0 \\ 2_1 & 1 & 0 & 0 & 0 & 0 & 0 \\ 2_2 & 2_2 & 1 & 0 & 0 & 0 & 0 & 0 \\ \end{pmatrix} = \begin{pmatrix} 1 & t & 0 & 0 & 0 & 0 \\ 2_1 & 2_2 & t + 1 & 0 & 0 & 0 \\ 2_2 & 2_2 & t + 2_2 & 1 & 0 & 0 \\ \end{pmatrix} = \begin{pmatrix} \lambda_1 & \alpha & 0 & 0 & 0 & 0 \\ 0 & \lambda_2 & 0 & 0 & 0 & 0 \\ 0 & 0 & \lambda_3 & 0 & 0 & 0 \\ 0 & 0 & \lambda_3 & 0 & 0 & 0 \\ \end{pmatrix} \begin{pmatrix} 1 & 0 & 0 & 0 & 0 \\ 2_1 & 1 & 0 & 0 & 0 \\ 2_2 & 1 & 1 & 0 & 0 \\ \end{pmatrix}$$

$$(9.53)$$

где
$$\varepsilon$$
 (9.55) $a = t$; $b = c = 0$; $\lambda_i = t z_i / (i + t z_i)$; $\lambda_2 = i + t z_i$; $\lambda_3 = 1$; $Z_i' = Z_i / (i + t z_i)$; $Z_2' = Z_2 + t z_3$; $Z_3' = Z_3$.

Используя определения предотавления группы

ном виде

$$[\mathcal{F}_{a}(g_{0})f]$$
 $\neq = a(2g_{0})f(2g_{0})$. (9.56)
Здесь $g_{0} \in SU(n)$; $\neq g_{0} = \tilde{Z}_{-}$; $a(2g_{0}) = \lambda_{1}^{k_{1}} \lambda_{2}^{k_{2}} \lambda_{3}^{k_{3}}$ — характер группы; $k_{1} - k_{2} \geqslant 0$, $k_{2} - k_{3} \geqslant 0$ или в яв-

 $\left(\frac{tz_{1}}{1+tz_{1}}\right)^{k}(1+tz_{1})^{k}\cdot 1 \cdot f\left(\frac{z_{1}}{1+tz_{1}};z_{2}+tz_{3};z_{3}\right), (9.57)$

после вичисления производной от (9.5%) по t в предело t = о найдем:

$$\chi_{+} = -\frac{2}{2} \partial_{1} + \frac{2}{2} \partial_{2} . \qquad (9.58)$$

Проводя описанную процедуру для оставшихоя семи линейно-независимых матриц, получим явное виражение для генераторов:

$$H_{1,2} = 2 \times_{1} \partial_{1} - 2 \times_{2} \partial_{2} + 2 \times_{3} \partial_{3} - k_{2};$$

$$H_{2,3} = k_{2} \partial_{2} + 2 \times_{3} \partial_{3} - 2 \times_{1} \partial_{1} + k_{2} - k_{3};$$

$$Y_{+} = -2 \times_{2}^{2} \partial_{2} - 2 \times_{1} \times_{3} \partial_{3} + (2 \times_{1} \times_{2} - 1) \partial_{1} + k_{3} \times_{2} - k_{2} \times_{3}; \qquad (9.59)$$

$$Z_{+} = -2 \times_{3}^{2} \partial_{3} - 2 \times_{1} \times_{3} \partial_{2} + (2 \times_{3} + 2 \times_{1} \times_{2} - 1) \partial_{1} + k_{3} \times_{3} - 2 \times_{1} \times_{2} k_{2};$$

$$Y_{-} = \partial_{1} + 2 \times_{1} \partial_{2} + 2 \times_{1} \partial_{2} + 2 \times_{1} \partial_{2} + 2 \times_{1} \partial_{3} + 2 \times_{1} \partial_{3}$$

Построзние соответствующих форм ва генераторов (9.58) в (9.59) с базисом из f призадет и задече, акалогичной рассмотренной в п.9.1-9.3, однако воеих типор УШ ,по сразчению с рассмотренными ранее.

не появлятелся. Таким образом, основываясь на описанной процедурс, мы бугом, по-видимому получать такие УП, которые уже были получены

Потенциали и квапратичны формы генераторов для уразнения Прёдынгера

DOO THISTONEY THE COUNTY OF THE PARTY OF THE	-4J+J-+2aJ-[4(2)+1)+28JJ	- 20cT	-47°7-247+247°-1 -[44+1)+26]J	- 4 J + J - (48+34)] J + - 20 J 0 - - 24 J	44 J+J- 44 J+J-+2[4(6)+1)+24]J+ -4[4(2,+1)+4-c]J+4cJ-	445+3-445-1-485++ +2[4(4)+841)+24+4675-4(2+26+24)5-
	200 200 1/2 6+2N+1 1 de 4 C(26 de) + C2 6 20 - 0 J+J + 2 a J - [a (2/+1) + 2 6] J	2=0-4x; p=1/4;	22-40x 22ad 6-30x [2+28(6+4+14)]e-24x -4JoJ-24J-2aJo- + (2a6+4a+2)e-6x ====x, p=ex/4; E=-6; -2ax, p=ex/, e.	420 40x 2ad cost 12 +2d(6-d))crax + (2a6-da+3) cux + (2a6-da+3) cux x=c^-ax p=c^-ax/a, E=-6-ak(a+26), y=-d cux a -ac x/a - 6x	=[a(a+4)+42(a2+4+2a)]ch-24x- -c(c>26-24)ch 2x + c26 4x x=ch 2x, p=1/4; y=-cch 2x/44-a mchax/4	-6"4" = x + 6 22 + 36 + 4/2 2 3 5/4" x - - [(2+36) x 2+6+4 x 3+2 2 4 - 3 x 3 x 3 x 3 x 4 x 3 x 4 x 4 x 5 x 5 = - (4+6) x, E = - (4+6) x, f = - (4+6) x 3 x 3 x 3 x 3 x 3 x 3 x 3 x 3 x 3 x
-		7 .	8	100	1 4	

-47°5-+4&3°+465° 2(2;+2-1)5-	-4307+427+463°- -8(2)+26+4-20)J-	-7°7 +267 +2a T°- - (26+d-1-2c+j)J-		44.7+7-4-7-7-+220, 5.+ +42(8;+3-24) J°-4 (82+40) J
6 = 224, pas 9= 10 11/4+622/10	2 1 6 4 2 2 6 2 4 1 8 2 - 2 (2 2 4 4 4 4 4 2 - 2) 7 2 2 2 (1 - 2 2 - 2 + 2) 2 - 2 2 2 2 2 3 4 + 6 2 2 2 + 6 - 2) 6 12	8 2 2 2 26 2 - [a(26+4-1-2c)+3]x-1+ + c(c-2e-d+2)x-2 8 = x	82 4 8 (20-26-4+3) 23+ [c(c-26-4+2) 28+3) 24 -2(2 4+2 + 6+4-1-20) 24 2=2, 1=22 3=2-16-16-10 fm 2	10 == and x; y= 8 8= and x; y= 8 8= am dx/d

и исследовани выше. Вместе с тем, несмотря на то, что построенние многомерные уравнения могут иметь весьма необичный вид и решить их без описанной процедуры затруднительно, мы знаем их решения так же, как это было ранее, при использовании генераторов группы SU(2).

Заключение

В данном поссоим мы не ставили себе целью дать полную классическую теорию калибровочных полей, а лишь на примере полей Янга-Миллса рассмотрели некоторые характерные для этих теорий математические задачи, кратко поясняя их физический смысл. Именно
математическим приемам уделялось нами основное внимание. Изложенные здесь математические методы являются тем минимумом, который необходим каждому теоретику, интересующемуся калибровочными теориями,
однако их следует рассматривать лишь как элементарное введение,
как первый шаг к изучению той изощренной и весьма красивой математики, на языке которой говорит современная теорил калибровочных
полей.

В заключение ми благодарим В.Ч. Туковского, Б.В. Магницкого, оказавших большую помощь в процессе работы над учебным пособием. Мы признательны всем нашим коллегам, совместная работа с которыми и общение не могут быть переоценены.

JINTEPATYPA

- I. De Witt B. Dynamical theory of groups and fields. N.Y.: Gordon and Breach, 1965.
- 2. Kaluza Th. On the Unity Problem of Physics Sitzungsber. Press. Acad. Wiss. Berlin, Math. und Phys., 1921, B24. S. 966-972; Klein O. Quaten theorie und fünfdimensionale Relativitätstheorie. Zc. Phys., 1926, B37. S. 895-906; Generalizations of Einstein's theory of gravitation considered from the point of view of quantum field theory// Helv. Phys. Acta. Suppl. 1956. V. 4. P. 58-71.
- Cho Y.M. Higher-dimensional unifications of gravitation and gauge theories// J. Math. Phys. 1975. V. 16. P. 2029-2035; Limensional reduction by isometry// Phys. Lett. 1987. V. 186, N I. P. 38-42;

Duff M.J., Nilsson B.E.W., Pope C.N., Warner N.P. On the consistency of the Kaluza-Klein ansatz.// Phys. Lett.,

1984. V. 149B, N 1-3. P. 90-94;

Mansouri R., Witten L. Dimensional Reduction in space-time admitting Killing vectors// Phys. Lett. 1983. V. 127B, N 5. P. 341-344:

Chomg L.N.; Macrae K.J., Mansouri F. Local gauge theories and supersymmetric strings// Phys. Rev. 1976. V. 13D, N 2. P. 235-249.

- 4. Логунов А.А. Лекции по теории относительности: Современный анализ проблемы. М.: Изд-во Мос. ун-та, 1984. 224c.
- 5.Понтрягин Л.С. Непрерывные группы. М.: Наука, 1973. 520с; Мажин Ю.И. Калибровочные поля и комплексная геометрия. М.: Наука, 1984. 336с;

- Дубровин Б.А., Новиков С.П., Фоменко А.Т. Современная геометрия: Методы и приложения. М.: Наука, 1986. 760с.
- Dirac P.A.M. Quantised singularities in electromagnetic field// Proc. Roy. Soc. 1931. V. Al33. P. 60-72.
- 7. Ikeda M., Miyachi Y. On the static and spherically symmetric solutions of the Yang-Mills fields// Progr. theor. Phys. 1962. V. 27. P. 474-482.
- Loos H.G. The range of gauge fields // Nucl. Phys. 1965.
 V. 72, N 3. P. 677-691.
- Wu T.T., Yang C.N. Some remarks about unquantized nonabelian gauge fields // Phys. Rev. 1975. V. 12D. P. 3843-3845;
 Concept of nonintegrable phase factors and global formulation of gauge fields. Ibid. P. 3845-3856.
- IO. Julia B., Zee A. Poles with both magnetic and electric charges in nonabelian gauge theory// Phys. Rev. 1975. V. IID,
 N 8. P. 2227-2232.
- II. Hsu J.P. Form of gauge fields and nonintegrable phase factors// Phys. Rev. Lett. 1976. V. 36, N 26. P. 1515-1518; Hsu J.P., Mac E. Symmetry and exact dyon solutions for the classical Yang-Mills field equations // J. Math. Phys. 1977. V. 18, N I. P. 100-103.
- 12. Matinyan S.G., Prokhorenko E.B., Savvidy G.K. Non-integrability of time-dependent spherically symmetric Yang-Mills equations. Preprint Acad. Sci. Arm. SSR, YPI-876 (27) 86, Jerevan, 1986.
- I3. Coleman S. Non-Abelian plane waves// Phys. Lett. 1977. V. B70, N I. P. 59-61.
- 14. Баселя Г.Э., Матинян С.Г., Саввиди Г.К. Нелинейные плоские возны в безмассовой теории Янга-Миллса//Письма в ЖЭТФ, 1979. Т. 29, вып.10. С. 641-644.

- 15. Матинян С.Г., Саввиди Г.К., Тер-Арутонян-Саввиди Н.Г. Классическая механика Янга-Миллаа. Нелинейные колебания цвета// ЖЭТФ, 1981. Т.80, вып.3. С. 830-838.
- 16. Actor A. Periodic solutions of massive and Yang-Wills theories// Lett. Math. Phys., 1978. V. 2, N 3, P. 275-280; Classical solutions of SU (2) Yang-Mills theories// Rev. of Modern Phys., 1979. V. 51, N 3. P. 461-525.
- 17. Захаров В.Е., Манаков С.В., Новикор С.Н., Питаевский Л.П. Теория салитонов: Метод обратной задачи. М.: Наука, 1980. 319c.
- 18. Никимов А.И., Ритус В.И. Квантовые процессы в поле плоской электромагнитной волны и в постоянном поле. Ч I,П// ЖЭТФ, 1964. Т.46. С.776-796; 1768-1781.
- 19. Проблемы квантовой электродинамики интенсивного поля. Труды ФИАН им. П.Н. Лебедева. Т. 168. М.: Наука, 1986. 262с.
- 20. Байер В.Н., Катков В.М., Фадин В.С. Излучение релятивистских электронов. М.: Атомиздат, 1973. 374c.
- 21. Бацула О.И., Гусинин В.П.Плосковолновие решения в рамках su(2) теории Янта-Миллса// УФЖ, 1981. Т.26, № 8. С. 1233-1238.
- Eovacs E. SU (3) wave solutions // J. Math. Phys., 1982.
 V. 23, N 5. P. 834-838.
- 23. Shifman M.A., Vainshtein A.I., Zakharov V.I. QCD and resonance physics: theoretical foundations // Nucl. Phys., 1979.

 7. 147B. P. 385-447; QCD and resonance physics: application.

 Ibid. P. 448-518.
 - п. Беляев В.М., Иоффе Б.Л. Определение масс барионов и барионных резонансов из правил сумм квантовой хромодинамики. Нейтронные барионы// ЖЭТФ, 1982. Т.83. С.87.—891.

- 25. Joffe B.L. Calculation of baryon masses in quantum chromodynamics // Nucl. Phys., 1981. V. 188B. P. 317-341.
- 26. Радюшкин А.В. Правила сумм и эксклюзивные процессы в квантовой хромодинамике. В кн.: Труды УІ международного семинара по проблемам физики высоких энергий и квантовой теории поля. 1983. Т.І. С.69-86.
- 27. Агаев Ш.С., Вшивцев А.С., Жуковский В.Ч. и др. Точные решения уравнений Янга-Миллса и проблема устойчивости постоянных потенциалов. Деп. в ВИНИТИ 17.12.84. № 8022-84. 21с.
- 28. Лифшиц Е.М., Питаевский Л.П. Статистическая физика. Ч.2. М.: Наука, 1978.
- 29. Вшивцев А.С., Перес-Фернандес В.К., Татаринцев А.В. Свойства точных решений массивного классического поля Янга-Миллса// Изв. вузов.Физика, 1986. № 5. С.96—100.
- 30. Вайнштейн А.И., Захаров В.И., Новиков В.А., Шийман М.А. Инстантонная авоука// УФН, 1982. Т.136, вып.4. С.553-592.
- 3I. Brown L.S., Weisberger W.I. Vacuum polarization in uniform non-abelian gauge fields // Nucl. Phys., 1979. V. BI57; N 2. P. 285-326.
- 32. Savvidy G.K. Toward the ground state in the Yang-Mills theory. Jerevan, 1979, - 13 p. (Prepr. Acad. Sci. Arm. SSR, YPI; YPI-350 (8) - 79).
- 33. Cabo A., Shabad A.E. Quantum theory of gauge field with external source. Prepr. Ac. de cience de Cuba, N 167, 1980, 61 p.
- 34. Фрадкин Е.С., Швариман Ш.М. Континуальный подход в теории Янга-Миллса во внешнем неабелевом поле. Препр. ФИАН СССР им. П.Н. Лебедева № 183. М., 1986. 47с.

- 35. Ландау Л.Д., Лифшиц Е.М. Теория поля. М.: Наука. 1988. 509с.
- 36.Багров В.Г., Гитман Д.М., Тернов И.М., Халилов В.Р., Шаповалов В.Н. Точные решения релятивистских волновых уравнений. Новосибирск: Н.ука, 1982. 144c.
- 37. Богомольный Е.Б. Устойчивость классических решений33 ЯФ, 1976. Т. 24. № 4. С.861-870.

Bogomolnyi E.B. Calculation of instanton-anti-instanton contributions in quantum mechanics // Phys. Lett. 1980.

V. 9IB. P. 43I-435; Prazad M.K., Sommerfield C.M. Exact classical solution for t'Hooft monopole and Julia-Zee dyon// Phys. Rev. Lett. 1975. V. 35. P. 760-762.

38.Поляков А.М. Спектр частиц в квантовой теории поля// Письма в ЖЭТФ, 1974. Т.20, вып.6. С.430-433.

t'Hooft magnetic monopoles in unified gauge theories. Nucl. Phys. 1974. V. 79B, N 2. P. 276-284.

- 39 Беллман Р. Теория устойчивости решений дифференциальных уравнений. М.: ИЛ, 1954.
- 40. Rubakov V.A. Adler-Bell-Jackiv anomaly and fermion-number breaking in the presence of magnetic monopole // Nucl. Phys., 1982. V. 203B. N 2. P. 3II-348.
- 4I. Fushchich W.I., Shtelen W.M. On some e:act solutions of the nonlinear equations of quantum electrodynamics // Phys. Lett., 1983. V. 128B, N I-3. P. 215-218.
- 42. Nielsen N.K., Olesen P. Vottex-line models for dual strings// Nucl. Phys. 1973. V. 638, N I. P. 45-61.
- 43. Раджараман Р. Солитоны и инстантоны в квантовой теории поля. М.: Мир, 1985. 414c;

Калоджеро Ф., Дегасперис А. Спектральные преобразования м солитоны. Методы решения и исследования эволюционных уравнений. М.: Мир, 1985. 472с;

- Тахталжян Л.А., Фацеев Л.Д. Гамильтонов подход в теории солытонов. М.: Наука, 1986. 528 с.
- 44. Вшивцев А.С., Татаринцев А.В. Точные волновые решения нелинейных уравнений теории поля //Вестник Мос. ун-та, физика, астрономия, 1987. Т.28, № 1. С.78-80; Самосогласованные решения классических уравнений движения калибровочных полей и полей Хиггса //УФЖ, 1988, Т.33, № 2. С.165-171.
- 45. Матикян С.Г., Саввиди Г.К., Тер-Арутонян-Саввиди Н.Г. Стохастичность классической механики Янга-Миллса и ее устране ние механизмом Хиггса //Письма в ЖЭТФ, 1981. Т.34, Вып. II. С. 613-616.
 - Матикян С.Г. Динамический хаос неабелевых калибровочных полей //ФЭЧАЯ, 1985. Т.16. Вып.3. С.522-550.
- 46. Чириков В.В., Шепелянский Д.Л. Стохастические колебания классических полей Янга-Миллса //Письма в ЖЭТФ, 1981. Т.34 Вып.4. С.171-175.
- 47. Берман Г.П., Маньков Ю.П., Садреев А.Ф. Стохастическая неустойчивость классических однородных $SU(2)\times U(1)$ полей со спонтанно нарушенной симметрией //ЖЭТФ, 1985. Т.88. Вып.4. С.705-714.
- 48. Вирченко Ю.П., Мазманишвили А.С. Плосковолновые решения уравнений Янга-Миллса. Численное исследование //УЖ., 1986 Т.ЗІ, № 2. С.168-171;

Вшивцев А.С., Перес-Фернандес В.К. Отсутствие стохастичности для системы полей Янга-Миллса, взаимодействующей с хиг-говским полем //Вестник Мос. ун-та,1988. Т.29, № 3. С.79-81.

- 49. Ковалевская С.В. Научные трудн. М.: Изд-во АН СССР, 1948; Аппель П. Теоретическая механика.Т.2. М.: ГИФМЛ, 1960. 487c.
- 50. Козлов В.В. Методи качественного анадиза в динамике твёрдого тела. М.: Изд-во Мос. ун-та, 1980. 231c.
- 5I. Polyakov A.M. Compact gauge fields and the infrared catastroph // Phys. Lett. 1975. V. 59B, N I. P. 82-84; Belavin A.A., Polyakov A.M., Schwartz A.S. Pseudoparticle solutions of the Yang-Mills equations // Phys. Lett. 1975. V. 59B, N I. P. 85-87;
 - t'Hooft G. Symmetry breaking through Bell-Jackiw anomalies// Phys. Rev. Lett. 1976. V. 37, N I. P. 8-II.
- 52. Wong S.K. Fields and particle equation for the classical Yang-Mills field and particles with isotropic spin // Nuovo Cim., 1970. V. A65, N 4. P. 689-694.
- 53. Bagrov V.G., Belov V.V., Ternov I.M. Quasiclassical trajectory-coherent states of a particle in an arbitrary electromagnetic field // J. Math. Phys. I983. V. 24, N I2. P. 2855-2859.
- 54. Багров В.Г., Белов В.В., Тернов И.М. Квазиклассические траекторно-когерентные состояния нерелятивистской частици в произвольном электромагнитном поле// ТМФ, 1982. Т.50. № 3. С.390-396.
 - Багров В.Г., Белов В.В. Квазиклассические траекторно-когерентные состояния бесспиновой релятивистской частицы в произвольном электромагнитном поле// Изв. вузов. Физика, 1982 № 4.С. 48-50. Багров В.Г., Белов В.В., Караваев А.Г. Квазиклассические траекторно-когерентные состояния нерелятивистской и релятивистской бесспиновой частицы в полях специальных конфигура-

- ций. Прыпр. № 36, Томск: Изд-е Том, филиала СО АН СССР, 1986. 21c.
- 55. Передомов А.М. Обобщённые когерентные состояния и их применение. М.: Наука, 1987. 272с;
 Малкин И.А., Манько В.И. Динамические симметрии и когерентные состояния квантовых систем! М.: Наука, 1979. 319с.
- 56. Arodz H. Colored, spinning classical partical in an external non-abelian gauge field. A remark on the classical of colored particles // Phys. Lett. 1982. V. BII6, N 4. P. 251-254; P. 255-258;

Агаев Ш.С., Вшивцев А.С., Жуковский В.Ч. Нестабильность вакуума в постоянных и однородных калибровочных полях (квазиклассическое описание)// ЯФ, 1982. Т.36 вып.4. С.1023-1029;

Неустойчивость трансляционно-инвариантных конфигураций калибровочных полей (квазиклассическое описание). В кн.:Трудк У междунарогного семинара по проблемам физики высоких энергий и квантовой теории поля. 1982, Т.2. С.262-277.

- 58. Браун У.Ф. Микромагнетизм. М.: Наука, 1981.
- 59. Ландау Л.Д., Лифииц Е.М. Механика. М.: Наука, 1988. 215с.
- 60. Багров В.Г., Вшивцев А.С. Движение частицы в цветовых полях. Препр. № 14. Томск: Изд-е Том, филиала СО АН СССР, 1987. 16с.
- 61. Savvidy G.K. Infrared instability of the vacuum state of gauge theories and asymptotic freedom // Phys. Lett. 1977. V. 71B, N I. P. 133-134;

Matinyan S.G., Savvidy G.K. Vacuum polarization induced by

- the intense gauge field // Nucl. Phys. 1978. V. BI34, N 3. P. 539-545.
- 62. Бейтмен Г., Эрдейн А. Высшие трансцендентные функции. М.: Наука, 1967. Т.З. 299с.
- 63. Алексеев А.И. Движение цветного заряда в поле хромоэлектрического"ежа". Препр. ИФВЭ 85-89. Серпухов, 1985. 15с.
 - Feber L. Bounded orbits for classical motion of colored test particles in the Prasad-Sommerfield monopole field // Acta Phys. Polonica, I984. V. BI5. P. 919-925; Wipf A. Non-relativistic Yang-Mills particles in a spherically symmetric monopole field // J. Phys. A. Math. Gen., I985. V. I8. P. 2379-2384.
- 64: Соколов А.А., Тернов И.М. Релятивистский электрон. М.:Наука, 1974. 391 с.
- 65. Вшивцев А.С., Перес-Фернандес В.К., Татаринцев А.В. Точные решения уравнений Дирака во внешних неабелевых калибровочных полях //Известия вузов. Физика, 1985. № 7. С.50-54.
- 66. Волков Д.М. Электрон в поле плоских неполяризованных электромагнитных волн с точки зрения уразнения дирака //жЭТФ, 1937. Т.7, № 11. С.1286-1289.
- 67. Вшивцев А.С., Луковский В.Ч., Мидодалвили П.Г., Татаринцев А.В. Точные решения уравнений Дирака в постоянных полях хромомагнитного типа //Известия вузов. Физика, 1986. 16 5. С.47-52.
- 68. Боголюбов Н.Н., Митропольский Ю.А. Асимптотические методы в теории нелинейных колебаний. М.: ГИФМЛ, 1958;
 - Павленко Ю.Г. Гамильтоновы методы в электродинамике и в квантовой механике. М.: Изд-во Мос. ун-та, 1985. 336 с.

- 69. Гриб А.А., Мамьев С.Г., Мостепаненис В.М. Квантовые эффекты в интенсивных внешних полях. М.: Атомиздат, 1980.295 с.
- 70. Обухов И.А., Перес-Фернандес В.К., Халилов В.Р. Точные решения уравнений движения кварков в неабелевом поле плоской цветовой волны //Иэвестия вузов.Физика, 1986, № 12. С. 76-78.
- 7I. Marciano W.J., Muzinich I.J. Exact solution of the Dirac equation in the field of a t'Hooft-Polyakov monopole //
 Phys. Rev. Lett., 1983. V. 50, N I4. P. 1035-1037.
- 72. Вшивцев А.С., Татаринцев А.В. О возможности удержания кварка монополем. М., 1987. ПО с. Деп. в ВИНИТИ 09.02.87, № 934—887.
- 73. Witten E. Dynamical breaking of supersymmetry // Nucl. Phys., I981. V. BI85. P. 513-554;
 Constants of supersymmetry breaking // Nucl. Phys., I982.
 V. B202. P. 253-317.
- 74. Генденштейн Л.Э., Криве И.В. Суперсимметрия в квантовой механике //УФН, 1985. Т.146. Вып.4. С. 553-590.
- 75. Введение в супергравитацию: Пер. с англ./Под.ред.Феррары С. Тейлора Дж. М.: Мир, 1985. 304 с.
- 76. Жуковский В.Ч. Суперсимметрия уравнения дирака в неабелевом хромомагнитном поле //ЖЭТФ, 1986. Т.90. Вып.4. С.1137-1140.
- 77. Соколов А.А., Тернов И.М., Жуковский В.Ч., Борисов А.В. Калибровочные поля. М.: Изд-во Мос. ун-та, 1986. 260 с.
- 78. Коноплева Н.П., Попов В.Н. Калибровочные поля. М.: Атомиздат, 1980. 239 с.
- 79. Славнов А.А., Фаддеев Л.Д. Введение в квантовую теортю калибровочных полей. М.: Наука, 1986. 272 с.; Гитман Д.М., Тютин И.Б. Каноническое квантование полей со

- связями. М. : Наука, 1986. 216 с.;
- Хуанг К. Кварки, митоны и калибровочные поля. М.: Мир, 1985. 382 с.:
- Ициксон К., Зибер Ж.Б. Квантовая теория поля. М.: Мир, 1984.
- 80. Желобенко Д.П., Штерн А.И. Представление групп Ли. М.: Наука, 1983. 360 с.
- 81. Виленкин Н.Я. Специальные функции и теория представлений групп. М.: Наука, 1965. 525 с.
- 82. Желобенко Д.П. Лекции по теории группы Ли. Дубна, 1965.
- 83 Ландау Л.д., Лившиц Е.М. Электродинамика сплошных сред. М.: Наука, 1982, 620 с.
- 84-Воеводин В.В., Кузнецов Ю.А. Матрицы и вычисления. М.: Наука, 1984. 320 с.
- 85 Гантмахер Ф.Р. Теория матриц. М. :Наука, 1967. 575 с.
- 86. Infeld L., Hull T.E. The factorization method // Rev. of Mod. Phys., 1951. V. 23, N I. P. 21-68.
- 87. Darboux G. Sur une proposition relative aux equations lineaires // Comp. Rend. I882. V. 94. P. I456-I459.
- 88. Crum M.M. Associated Sturm-Lionville systems // Quart. J. Math., Oxford, 1955. V. 6, N 22. P. 1"I-127.
- 89. Андриянов А.А., Борисов Н.В., Иоффе М.В. Метод факторивации и преобразование Дарбу многомерных гамильтонианов // ТМФ 1984. Т.61. Вып. 2. С.183-199
- 90. джеффрис Г., Свирлс Б. Методы математической физики. М.: Мир, 1970. Т.З. 343 с.
- 91. Турбинер А.В. Задача о спектре в квантовой механике и процедура "нелинеаризации" //УФН, 1984. Т.144. Вып.1. С.35-79.

- 92 Соколов А.А., Тернов И.М., Жуковский В.Ч. Квантовая механика М.: Наука, 1979. 528 с.
- 93 Ландау Л.Д., Лившиц Е.М. Квантовая механика. М.: ГИМФЛ, 1963. 702 с.
- 94 Гилмор Р. Прикладная теория катастроф. М.: Мир, 1985. Т.І. 350 с.; Т.П. 285 с.
- 95 Шредингер Э. Избранные труды по квантовой механике. М.: Наука, 1976.
- 96. Заславский О.Б. Ульянов Г.Р. Човые классы точных решений Уравнения Шойдингера и описание спиновых систем с помощью потенциальных полей// ЖЭГФ, 1984. Т.87, вип. 5. С.1724-1733.
- 97. Alhascid Y., Gursey F., Iachello F. Potential scattering, transfer matrix, and group theory // Phys. Rev. Lett. 1983.
 V. 50, N I2. P. 873-876.
- 98. Багров В.Г., Вшивцев А.С.Простейшие применения алтебраической симметрии к решению задач квантовой механики. Препр. № 31, Томск. Изд-е Том, филиала СО АН СССР, 1986. 29c.
- 99. Багров В.Г., Вшивцев А.С., Хорошкин С.М., Чекалин В.Н. Новне точные решения уравнения Шрёдингера для одномерного много-параметрического потенциала// Изв. вузов. Физика, 1988. № 2. С.102-108.
- 100. Выивцев А.С. ВКБ-приолижение для ангармонического осциллятора Сс. научно-метод. статей по физике Минвуза СССР, 1987. № 13. С.104-109;
 Выивцев А.С., Чекалин В.Н. Построение точнорешаемых дифференци альных уравнений на основе представлений группы SU(2).

Деп. ВИНИТИ 13.03.86. № 1764-В86.

IOI. Turbiner A.V. Quasi-exactly-solvable problems and SL (2) group Prepr. ITEF-197, 1987, Moscow-Atominform, 1987, II p.

ОГЛАВЛЕНИЕ

рведение	
Лагранжиан классической теории Янга-Миллса. Уравнения	
движения поля	. 5
Тензор энергии-импульса и инварианты поля Янга-Миллев	12
Топологическая классификация полей. Число Понтряги-	
на-Чженя-Саймонса	17
Калибровочные условия. Необходимость выбора калибров-	
RH	21
Решение уравнений движения классического поля Янга-Мил-	~1
	22
лса	
5.1. Орерически - симметричные решения	22
5.2. Плосковолновые решения уравнений Янга-Миллоа	26
5.3. Решения уравнений Янта-Миллоа с током	35
5.4. Решения уравнений Янга-Миллов в мнимом времени	43
5.5. Постоянные однородные поля как решения уравнений	
Янга-Миллса	45
5.6. Взаимодействие полей Янга-Миллса с полями Хитгса .	48
5.7. Самосогла сованные решения уравнений движения ка-	
либровочных полей и полей Хиггса	58
5.8. Инстантонные решения уравнений Янга-Милиса	70
Уравнения движения классической частицы с изоспином	73
Движение классической неабелевой частицы в цветовых	
NO. REAL OF THE PROPERTY OF TH	78
Решения уравнения Дирака и Клейна-Гордона-Фока в неабе-	
левих полях различной конфигурации	90
Использование алтебраических структур при построении	30
точно решаемых волновых уравнений	TOO
	100
9.1. Построение точно решаемых дифференциальных урав-	TOO
нений	TUZ
9.2. Построение многопараметрического одномерного урав-	*
нения Предингера и нахождение его решений	106
9.3 Уравнение Предингера для ангармонического осщилия-	100
тора	1000
9.4 Суперсимметрия	II6

9.5.	ВКБ-при	HOURS	SHN	RILL 9	антара	моническ	oro ecumu	втора	150
9.6.	Odonme	ние п	роц	епури	испол	ВВИНВЯ	групповы	MOTO-	
	дов на	груп	TH :	BHCHIAX	разм	ерностей			. I26
Закл	очение.								. I30
Лите	ратура		1.						IST.

Владислав Гаврилович Багров Александр Сергеевич Вшивцев Сергей Владимирович Кетов

ДОПОЛНИТЕЛЬНЫЕ ГЛАВЫ МАТЕМАТИЧЕСКОЙ ФИЗИКИ (калибровочные поля)

Учебное пособие

Редактор Н.С. Поддубная

ИБ 2276. Подписано к печати 17.01.90e. K3 07013 Формат 60х84 І/Іб. Бумага типографская № 3. Печать офсетная. Печ. л. 9. Усл. печ. л. 8,37. Уч.-изд. л. 6,5. Тиреж 1000 экз. 3aras N 92. Цена 20 к.

Издательство ТГУ, 634029, Томск, ул. Никитина, 4



Межвузовская типоградия ОмПИ

Digital Library (repository) of Tomsk State University http://vital.lib.tsu.ru

